

Vysoká škola občanské a sportovní výchovy

Kontrolní řízení průběhu

Průběžné hodnocení

Neplatné hodnocení výkonu

$\Delta \text{H} = \Delta T + \Delta \text{v} + \Delta \text{p}$ je výslednou hodnotou výkonu, když
průběžné hodnocení je výsledkem součtu hodnoty výkonu a výkonu

Výsledné hodnocení výkonu

Výsledné hodnocení výkonu

$\Delta \text{H} = \Delta T = 104$

Hodnocení výkonu

Terapeut: Ing. Jan Černý

Kontrolník: Ing. Robert Vojtěch, CSc., vyučující výkonu

Ing. Lukáš Krajíček - vyučující výkonu

Počet hodnocení: 70

Počet řešenek: 12

Počet správných: 12

Počet nesprávných: 22

1. červenec 2011, 10:00

Vysoká škola: strojní a textilní Fakulta: strojní
Katedra: obrábění a montáže Školní rok: 1986/87

ZADÁNÍ DIPLOMOVÉ PRÁCE

(PROJEKTU, UMĚLECKÉHO DILA, UMĚLECKÉHO VÝKONU)

pro Hana Tomášková
obor 23-07-8 strojírenská technologie

Vedoucí katedry Vám ve smyslu nařízení vlády ČSSR č. 90/1980 Sb., o státních závěrečných zkouškách a státních rigorózních zkouškách, určuje tuto diplomovou práci:

Název tématu: Válcové frézování slitin hliníku a vyhodnocování
morfologie povrchu

Zásady pro vypracování:

1. Průzkum současného stavu řešené problematiky
2. Obrobiteľnosť hliníkových slitin
3. Určení metodiky zkoušek pro zkoumání povrchových vrstev obrobků ze slitin hliníku
4. Vyhodnocování morfologie povrchu
5. Závěr

V 346 / 87 S

VYSOKÁ ŠKOLA STROJNÍ A TEXTILNÍ
Ústřední knihovna
LIBEREC 1, STUDENTSKÁ 8
PSČ 461 17

KDM/OM

Rozsah grafických prací: dle potřeby

Rozsah průvodní zprávy: 50 stran

Seznam odborné literatury:

Neckář, F.: Měření zbytkového pnutí v povrchové vrstvě kalené oceli po broušení. Strojírenství, 13, 1963, č. 12, s. 934

Mašín, I.: Obrábění Al-slitin válcovým frézováním /Diplomová práce/ Liberec 1986 - VŠST Liberec. Fakulta strojní.

Štěpán, J.: Vliv řezných podmínek při frézování na kvalitu povrchové vrstvy. /Diplomová práce. Praha 1971, ČVUT

Vedoucí diplomové práce: Ing. Jan Jersák

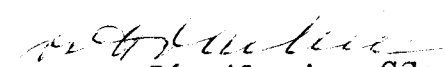
Konzultant: Ing. Robert Kvapil, CSc. - VŠST Liberec
Ing. Aleš Průšek - VŠST Liberec

Datum zadání diplomové práce: 6. 10. 1986

Termín odevzdání diplomové práce: 11. 5. 1987

L.S.


Doc. Ing. Jaromír Gazda, CSc.
Vedoucí katedry


Doc. Ing. Ján Alaxin, CSc.
Děkan

v Liberci dne 30. 9. 19. 86

Vysoká škola strojní a kontinentální
průmyslového řízení průmyslu

Paralelní strojíř

Konstrukční technika strojů

číslo 15 - 01 - 3 - čtrnáctým je označení
zlepšení výkonu sítě výroby výrobků

Výkonný strojíř a konstruktér

a výkonnostní výrobkový katalog

NOV - 01 - 494

depo - 1980 - 10 - 10 - 1

Vedení průmyslu: Ing. Čeněk Jevnáček

Konzultant: Ing. Bohumil Kaválka, CSc. a Mgr. Ing. Vojtěch

Ing. Alena Špánková a Mgr. Zdeněk Šimáček

Počet stran: 76

Počet tabulek: 12

Počet obrázků: 32

Počet příloh: 22

V Liberec 12. 10. 1980

Vysoká škola strojní a textilní Liberec
nositelka Řádu práce

Fakulta strojní

Katedra obrábění a montáže

obor 93 - 07 - 3 - strojírenská technologie
zaměření obrábění a montáž

VÁLCOVÁ FRÉZOVÁNÍ SLITIN ALMÍKU
A VÝHODNOVÁNÍ MORFOLOGIE POVRCHU

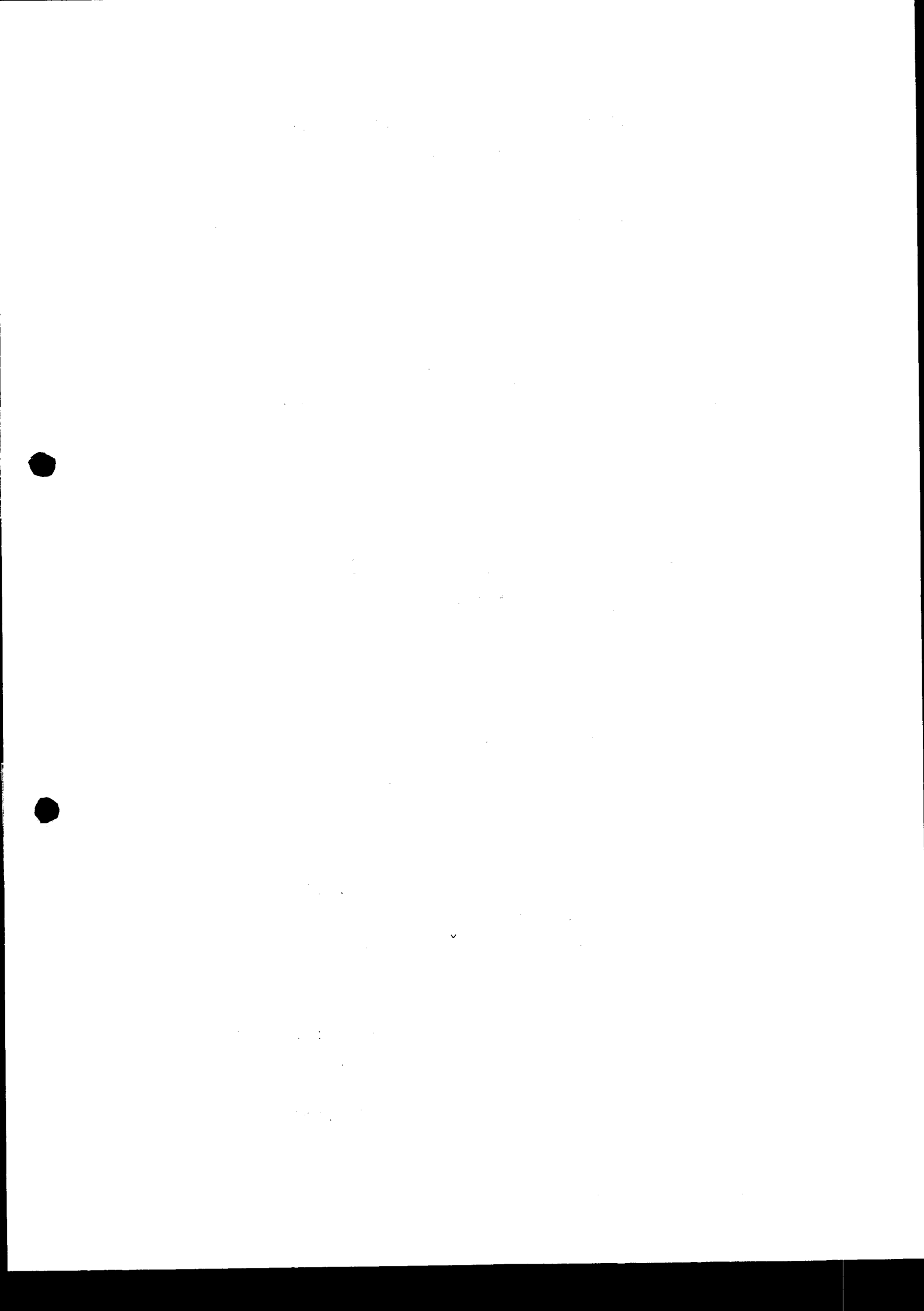
KOM - OK - 494

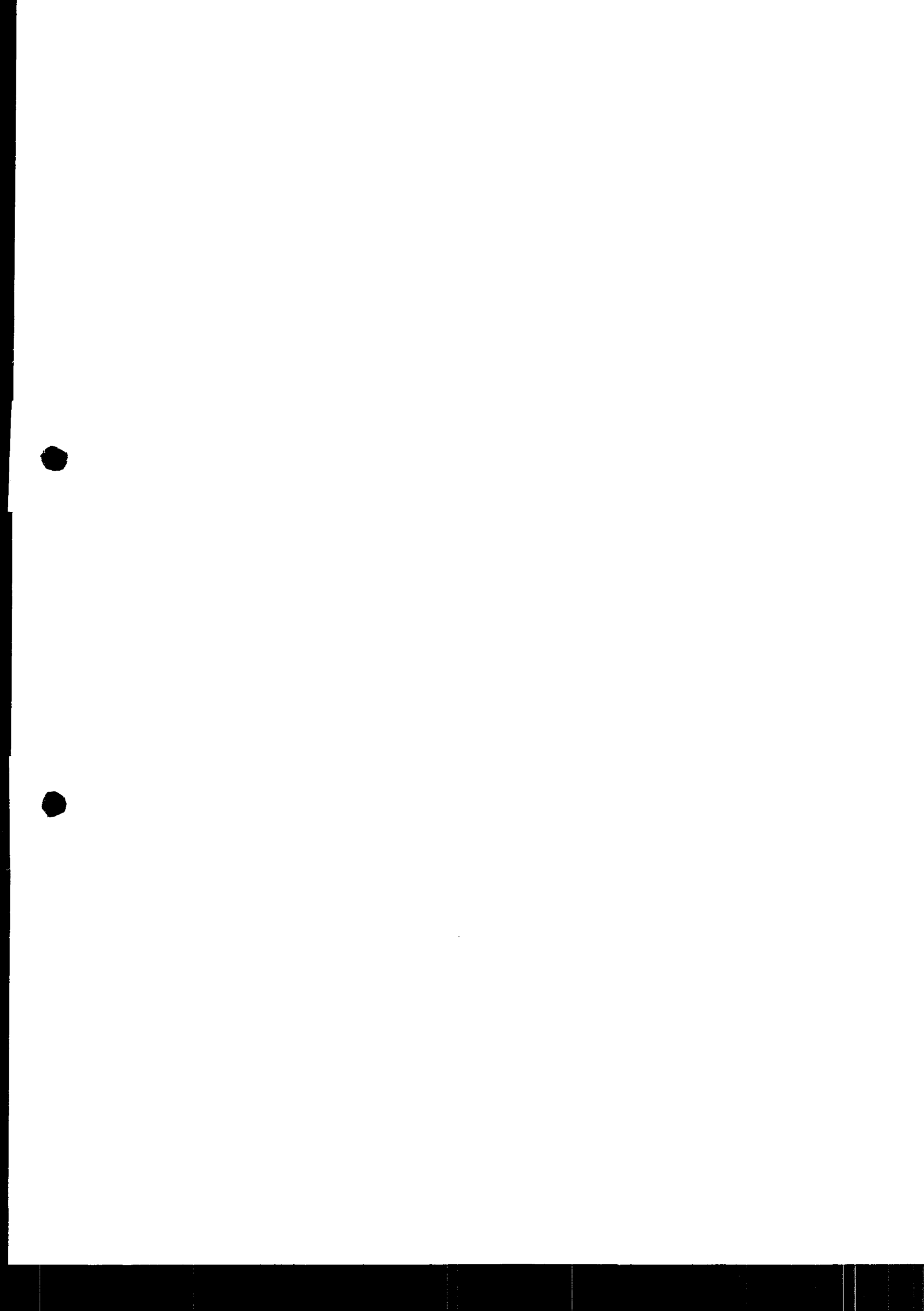
Mena Tomášeková

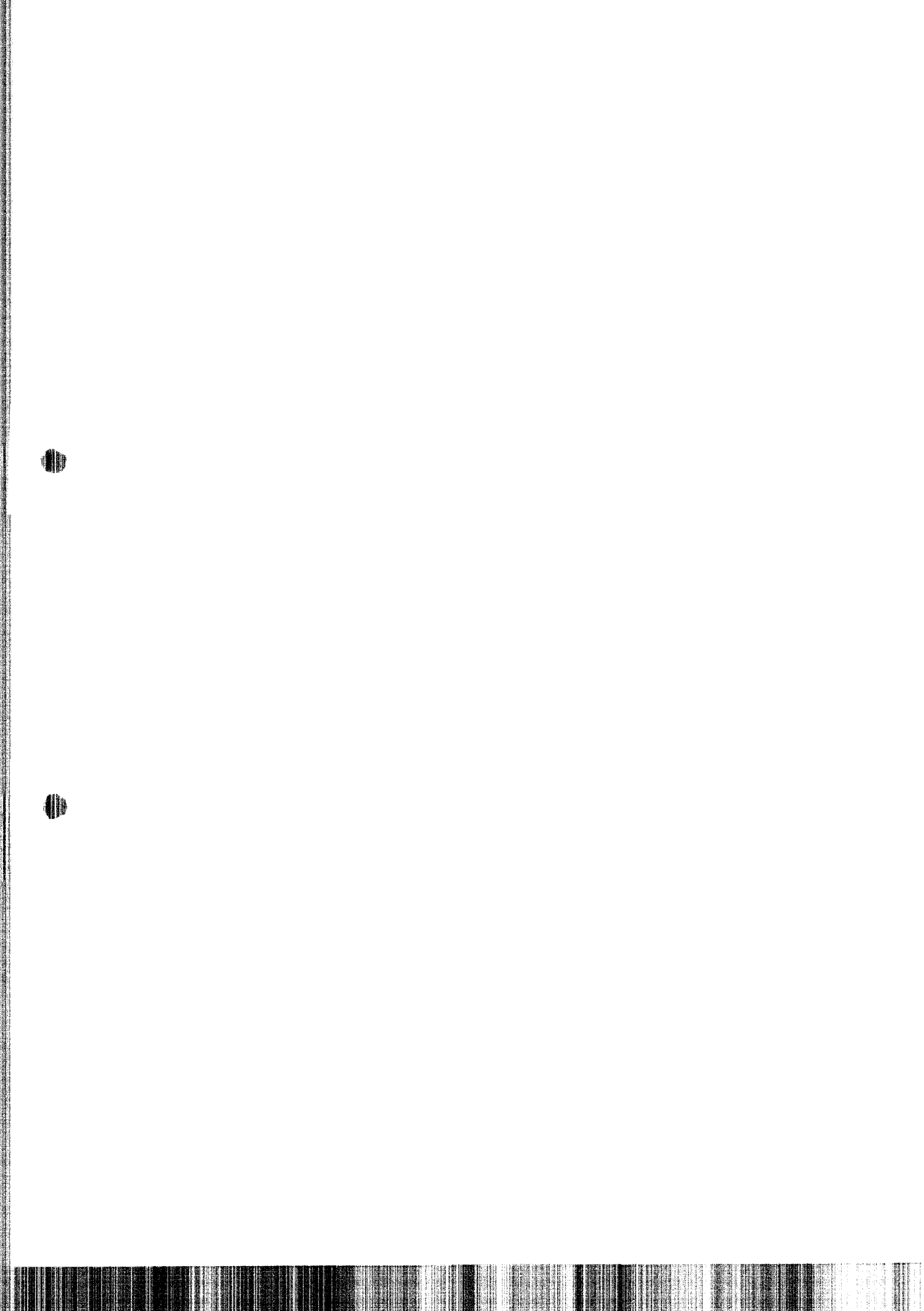
Vedoucí práce: Ing. Jan Jersák
Konzultant: Ing. Robert Kveček, CSc. - VŠB Liberec
Ing. Aleš Průšek - VŠB Liberec

Počet stran: 76
Počet tabulek: 13
Počet obrázků: 22
Počet příloh: 13

v Liberci 11. 9. 1997







Vysoká škola strojní a textilní Liberec
nositelka Řádu práce

Fakulta strojní

Katedra obrábění a montáže

obor 23 - 07 - 8 - strojírenské technologie
zaměření obrábění a montáže

VÁLCOVÉ FRÉZOVÁNÍ SLITIN HLINÍKU
A VYHODNOCOVÁNÍ MORFOLOGIE POVRCHU

KOM - OM - 494

Hana Tomášková

Vedoucí práce: Ing. Jan Jersák

Konzultant: Ing. Robert Kvapil, CSc - VŠST Liberec

Ing. Aleš Průšek - VŠST Liberec

Počet stran: 76

Počet tabulek: 13

Počet obrázků: 22

Počet příloh: 13

V Liberci 11. 5. 1987

Místopřísežně prohlašuji, že jsem diplomovou práci vypracovala samostatně s použitím uvedené literatury.

V Liberci dne 11. 5. 1987

Tomášková Hana
Tomášková Hana

O B S A H

Seznam příloh	7
Seznam použitých zkrátek a symbolů	8
1. Úvod	9
2. Obrobitevnost hliníkových slitin	11
2.1. Vlastnosti hliníku	11
2.2. Obrobitevnost hliníkových slitin	12
3. Řezné podmínky při obrábění Al - slitin	13
3.1. Optimální řezné úhly	13
3.1.2. Požadavky na nástroje	13
3.2. Řezná rychlosť	14
3.3. Posuv a hloubka řezu	15
3.4. Řezné kapaliny	15
3.5. Obráběcí stroje	16
4. Způsoby obrábění	18
4.1. Soustružení	18
4.2. Hoblování a obrážení	19
4.3. Frézování	19
4.3.1. Frézování běžnými rychlosťmi	19
4.3.2. Vysokorychlostní frézování	22
4.4. Dělení materiálu na kotoučových nebo rámcových pilách	24
4.5. Protahování	25
4.6. Vrtání	25
4.7. Vyhrubování a vystružování	26
4.8. Řezání závitů	27
4.9. Broušení	28
4.10. Leštění	28

5. Kvalitativní hodnocení obrábění	29
5.1. Drsnost povrchu	29
5.1.1. Úchylky drsnosti povrchu	29
5.1.2. Parametry určující drsnost povrchu	30
5.1.3. Způsoby měření drsnosti obroběného povrchu	32
5.2. Mechanismus vzniku zbytkového pnutí	32
5.2.1. Povrchová vrstva	32
5.2.2. Klasifikace napětí v uzavřených kovových polykrystalických materiálech	32
5.2.3. Příčiny vzniku zbytkového pnutí	34
5.2.4. Účinek zbytkových pnutí	35
5.2.5. Metodika zjišťování zbytkových pnutí	36
5.3. Měření mikrotvrdosti	38
 6. Metodika zkoušek a kvalitativní hodnocení obrábění hliníkových slitin po válcovém frézování	39
6.1. Obráběcí stroj	40
6.2. Řezný nástroj	41
6.3. Zkušební materiál	42
6.3.1. Výňatek ze zprávy VÚK - 22/84	42
6.3.2. Vzorek pro metalurgický výbrus	44
6.3.3. Měření mikrotvrdosti	46
6.4. Řezné podmínky	49
6.5. Upnutí polotovaru	49
6.6. Vlastní frézování	50
6.7. Příprava vzorků	51
6.8. Měření drsnosti povrchu	52
6.9. Měření morfologie povrchu	53

7.	Výsledky a vyhodnocení měření	56
7.1.	Drsnost povrchu	56
7.2.	Morfologie povrchu	55
7.3.	Zpevnění povrchové vrstvy a závětkové pnutí	70
8.	Závěr	71
9.	Použitá literatura	75

S E Z N A M P Ř Í L O H

- 1 výkres: upínací přípravek /1-KOM-OM-475-01/
- 2 výkres: vrtací přípravek /3-KOM-OM-475-02/
- 3 výkres: fréza 50 x 50 PNL 2355 /3-KOM-OM-475-03/
- 4 výkres: šroub /4-KOM-OM-475-04/
- 5 výkres: krátký vzorek /4-KOM-OM-475-05/
- 6 výkres: dlouhý vzorek /4-KOM-OM-475-06/
- 7 výkres: tvarový vzorek /4-KOM-OM-475-07/
- 8 výkres: tvarový přípravek /2-KOM-OM-475-08/
- 9 odběrový plán /7 listů/
- 10 tabulka přiřazení řezných podmínek k vzorkům
- 11 naměřené hodnoty drsnosti Ra, Rm /11.a/, 11.b//
- 12 fotografie zhotovené na mikroskopu NEOPHOT /9 listů/
- 13 fotografie zhotovené na REM /8 listů/

SEZNAM POUŽITÝCH ZKRATEK A SYMBOLŮ

- α_0 - úhel hřbetu
 β_0 - úhel břitu $[\beta_0 = 90^\circ - (\alpha_0 + \gamma_0)]$
 γ_0 - úhel čela
 χ_r - hlavní úhel nastavení
 χ_v - vedlejší úhel nastavení
 λ_s - úhel sklonu ostří¹
 ε_r - úhel špičky
 r_ε - poloměr špičky
R0 - rychlořezná ocel
SK - slinutý karbid
NO - nástrojová ocel
h - hloubka řezu
s - posuv
 s_Z - posuv na zub
Rm - mez pevnosti v tahu
Rp - mez pevnosti v kluzu
HV 0,02 - mikrotvrdoost při zatížení 0,1962 N
REM - rastrovací elektronový mikroskop
TL - zesilovač nosné frekvence
Ra - střední aritmetická úchylka
Rz - výška nerovnosti
Rm - maximální výška nerovnosti

1. ÚVOD

Uspokojování rostoucích potřeb národního hospodářství i obyvatelstva a zvyšování efektivnosti v 8. pětiletce bude rozhodujícím způsobem určováno rozvojem průmyslové výroby, která se má do roku 1990 zvýšit o 15 - 18 percent.

V současné době je ve světě věnována stále větší pozornost efektivnímu využití energií a surovin. Je to jednak dán určitou vyčerpatelností jejich zdrojů na zemi, jednak úspornými opatřeními v důsledku dobrodružné válečné výroby určité části lidstva.

Jednou ze surovin, která se dostává stále více do popředí všeobecného zájmu, je hliník. Hliník je kov, který je lidstvu znám poměrně krátkou dobu. V kovové podobě byl hliník poprvé připraven v roce 1854, avšak o průmyslové výrobě hliníku lze mluvit až na přelomu 19. a 20. století. Výroba i použití hliníku a jeho slitin vykazovalo stále narůstající tendenci. V roce 1888 bylo např. vyrobeno 14 tun Al, v roce 1940 již 793 000 tun a v roce 1980 bylo vyrobeno 15 mil. tun hliníku /20/.

Veliký význam hliníku pro rozvoj techniky vedl k tomu, že se v roce 1953 začal vyrábět i u nás. Objem výroby jsme v současné době již předstihli nejstarší výrobce tohoto kovu v Evropě /Belgii, Anglii/.

Přestože výroba hliníku je u nás vysoká, celkové prozkoumání chování hliníku za určitých řezných podmínek chybí. Tento jev se vysvětluje tím, že pro obrábění hliníku z jeho slitin jsou nutné vysoké řezné rychlosti, které na strojích pro ocel nelze dosáhnout. Se vzrůstající úrovní nové techniky se nám otvírají nové možnosti a tím i potřeba prozkoumání nejoptimálnějších řezných podmínek pro dosažení spolehlivosti a dobré kvality výrobků z hliníku a jeho slitin. Z těchto důvodů byl zadán státní úkol katedře obrábění a montáže VŠST v Liberci. Vyřešení tohoto úkolu má přivést souhrnnou zprávu o vlivu čelního a válcového frézování slitin hliníku na obroběnou povrchovou vrstvu.

Státní úkol byl rozdělen na dva samostatné bloky :

- a/ čelní frézování,
- b/ válcové frézování.

Kvalitativní vyhodnocení válcového frézování je příliš obsáhlá práce, a proto byla rozdělena mezi dva diplomanty: mě /válcové frézování slitin hliníku a vyhodnocování morfologie povrchu/ a Pavla Sládkovského /vliv řezných podmínek při válcovém frézování Al - slitin na napjatost a zpevnění povrchové vrstvy po obrábění/.

Oba jsme měli společnou přípravu vzorků, kterou jsme si rozdělili tak, že P. Sládkovský provedl návrh a výkresovou dokumentaci přípravku /pro upínání a vrtání vzorků/, vzorků /tvarového, dlouhého a krátkého/ a upravil výkres frézy 50 x 50 PN1 2350 /13/. A já jsem provedla praktickou přípravu vzorků a návrh a výkresovou dokumentaci odběrového plánu.

2. OBROBITELNOST HLINÍKOVÝCH SLITIN

2.1. Vlastnosti hliníku a jeho slitin

Hliník patří mezi nejběžnější technické kovy, je nepolymorfní kov, bílé barvy, o měrné hmotnosti $2,69 \cdot 10^3 \text{ kg.m}^{-3}$. Krystalizuje v soustavě krychlové, plošně středěné. Tavící teplota hliníku je 660° C , bod varu $2\ 060^\circ \text{ C}$. Elektrická vodivost se pohybuje v rozmezí $/30 - 36/ \cdot 10^6 \text{ Sm}^{-1}$. Tepelná vodivost za teploty 20° C je $222 \text{ J.m}^{-1} \cdot \text{s}^{-1} \cdot \text{K}^{-1}$. Mechanické vlastnosti hliníku závisí na jeho čistotě a zpracování. Ve stavu vyžíhaném /měkkém/ má hliník pevnost v tahu 60 MPa a tažnost 25% . Tvářením za studena lze čistý hliník zpevnit na 160 až 200 MPa . Modul pružnosti v tahu G_p je $72\ 000$ až $75\ 000 \text{ MPa}$, ve smyku τ $27\ 000 \text{ MPa}$.

Na vzduchu je hliník stálý: povléká se vrstvičkou Al_2O_3 , která jej chrání před další oxidací. Odolává poměrně dobře mořské vodě a slabším kyselinám /i koncentrované kyselině dusičné/. Koroduje však ve styku s louhy a špavkem. Čistý hliník je velmi špatně slévatelný, avšak velmi dobře tvárný za tepla i za studena.

Použití hliníku v různých průmyslových odvětvích je dáno především jeho dobrou elektrickou vodivostí, která činí asi 60% vodivosti mědi, dále dobrou tepelnou vodivostí, malou měrnou hmotností, dobrou chemickou odolností, tvárností a možností rozmanité úpravy povrchu.

Slitiny Al - Cu - Mg jsou používány nejčastěji a jsou známé pod obchodním označením dural nebo duraluminium. Tepelné zpracování slitin Al - Cu - Mg spočívá v ohřevu na teplotu v rozmezí $480 - 520^\circ \text{ C}$ /nad křivku změny rozpustnosti/, prodlevě na této teplotě 20 až 60 minut, zamočení do vody 20° C a přirozeného vytvrzování po dobu 5 až 7 dnů.

Dosažená pevnost v tahu σ_{pt} je 430 MPa. Vytvrzuji-li se slitiny za teploty $150^{\circ} C$, dosáhne se maximální pevnosti již za několik hodin; dosažená pevnost je však nižší /420 MPa/.

Slitiny Al - Cu - Mg se používají do pracovních teplot $\sim 50^{\circ} C$ na konstrukční části letadel, automobilů a všude tam, kde je požadována při dostatečné pevnosti malá měrná hmotnost. Jejich nevýhodou je snížená chemická odolnost a to i proti atmosferickým vlivům. Proto se vývalky, zejména plechy, plátují čistým hliníkem nebo slitinou Al - Mg - Mn.

2.2. Obrobitevnost hliníkových slitin /1/

Obrobitevnost hliníkových slitin závisí na složení slitiny, její struktuře a technologickém zpracování. U hliníkových slitin má velký vliv na obrobitevnost obsah křemíku; se vzrůstajícím obsahem Si se snižuje obrobitevnost. Přítomnost Cu ve slitině hliníku eliminuje nepříznivý vliv Si na obrobitevnost, poněvadž vytváří fázi $CuAl_2$, která je měkká a snadno obrobitevná.

Podle obrobitevnosti dělíme hliníkové slitiny na:

- I. Tvárné slitiny - obrobitevnost těchto slitin je poměrně dobrá, pokud nejsou ve stavu tepelně zušlechtěném, kdy mají sklon k nalepování třísky. Tříска je dlouhá, proto se nehodí běžné slitiny pro práci na automatech. Krátkou lámovou třísku mají jen slitiny s přídavkem olova.
- II. Slévárenské slitiny - jsou dobře obrobitevné, nevytvrzene slitiny mají sklon k nalepování. Tříска je krátká, takže lze tyto slitiny obrábět na automatech.
- III. Slévárenské slitiny s vyšším obsahem křemíku /nad 6 %/ - nejhůře obrobitevné slitiny. Čím vyšší je obsah křemíku, tím je obrobitevnost horší. Hospodárně lze tyto slitiny obrábět jen nástroji ze slinutých karbidů.

3. ŘEZNÉ PODMÍNKY PŘI OBRÁBĚNÍ Al - SLITIN

3.1. Optimální řezné úhly

Volba optimálních řezných úhlů je jedna z cest vedoucích ke zvýšení trvanlivosti nástrojů. Pro kusovou výrobu lze používat nástroje, které jsou dodány s normalizovanou geometrií břitu.

Optimální řezné úhly /úhly pro soustružnické nože/ /2/:

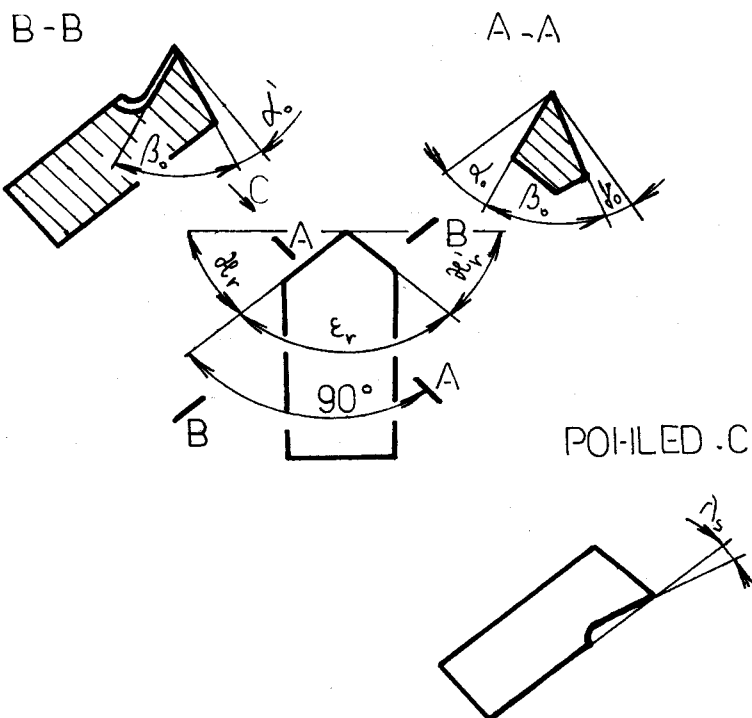
a/ silumin - $\alpha_o = 8^\circ$, $\gamma_o = 10^\circ$ pro obrábění RO
 $\alpha_o = 6^\circ$, $\gamma_o = 6^\circ$ pro obrábění SK

b/ ostatní Al - slitiny - $\alpha_o = 15^\circ$, $\gamma_o = 25^\circ$ pro obrábění RO
 $\alpha_o = 10^\circ$, $\gamma_o = 20^\circ$ pro obrábění SK

3.1.2. Požadavky na nástroje

Běžné nástroje pro obrábění ocelí jsou pro hliníkové slitiny nevhodné. Na tvar pro obrábění lehkých kovů jsou kladený tyto požadavky:

- a/ musí mít velký úhel špičky nože ξ_r , takže vedlejší úhel nastavení α'_r bývá jen $1^\circ - 2^\circ$. /1/.
- b/ u vícebřitých nástrojů musí být mezery mezi břity leštěny a dostatečně dimensovány pro odvod velkého množství třísek.
- c/ k dosažení trvanlivosti, dobrého odvodu třísek, požadované jakosti povrchu má být ostří lapováno.



Obr. 1 - Geometrie soustružnického nože

3.2. Řezná rychlosť

Všechny slitiny hliníku jsou způsobilé pro obrábění za vysokých řezných rychlostí, jestliže se bere v úvahu jen proces řezání a odcházení třísky. Avšak pro některé slitiny platí, že při vysokých rychlostech dochází k velkému opotřebení nástrojů. Toto opotřebení je neslučitelné s optimální ekonomickou účinností obrábění.

Zkušenosti a pokusy ukazují, že obsah křemíku u hliníkových slitin je určujícím faktorem opotřebení nástroje.

Řezná rychlosť se určuje na základě požadované hodnoty hospodárné trvanlivosti /2/:

$$v_T = \frac{K}{\frac{1}{T} \cdot \frac{x_v}{h} \cdot \frac{y_v}{s}} \cdot k_m \cdot k_n \cdot k_{w_r} \cdot k_{w_r'} \cdot k_{\epsilon_r} \cdot k_{ch} \cdot k_h \quad (1)$$

Ttrvanlivost břitu

v_T je taková řezná rychlosť, při níž trvanlivost břitu T_{min} je celková práce nástroje

K konstanta, která určuje vliv způsobu práce
k_m vliv materiálu obrubku
k_n vliv materiálu nástroje
k_{x_r} ... vliv úhlu nastavení hlavního ostří
k_{x_v} ... vliv úhlu nastavení vedlejšího ostří
k_{t_r} ... vliv poloměru zaoblení špičky nože
k_{ch} ... vliv řezné kapaliny
k_h ... vliv velikosti opotřebení břitu
h hloubka řezu
s posuv

Pro zjednodušení se všechny konstanty sloučují do jedné C_v . Hodnoty konstant C_v , X_v , Y_v , $\frac{1}{m}$ se hledají v tabulkách pro různé druhy obrábění.

3.3. Posuv a hloubka řezu

Hrubování - jde o odstranění co největšího množství kovu v co nejkratším čase. Malá průměrná mez elasticity hliníkových slitin nepovoluje používání velkých posuvů. Je vhodné zvýšit řeznou rychlosť a hloubku řezu při hrubování, avšak nepřekročit posuv 0,3 mm/ot. /3/

Opracování na čisto - posuv je především závislý na drsnosti předepsané konečnému stavu výrobku. Hloubka řezu se mění v závislosti na přesnosti požadované práce.

3.4. Řezné kapaliny

Volba řezné kapaliny je velmi důležitá. Úkolem řezné kapaliny je chladit nástroj a obráběný předmět, zmenšit tření, mazat nástroj, zabránit nalepování materiálu na ostří nástroje a napomáhat odstraňování třísky z místa řezu.

Při vysokých řezných rychlostech činí přívod řezné kapaliny potíže. Proto se řezná kapalina přivádí obvykle rozprašováním pomocí stlačeného vzduchu.

Jako řezné kapaliny se používá vodních emulzí /z vrtacích olejů, nebo emulgačního tuku v poměru 1 : 10; pro soustružení při velkých rychlostech/. Pro obrábění na automatech se používá speciálních vrtacích olejů o nízké viskozitě. /3/

3.5. Obráběcí stroje

Na běžných obráběcích strojích je obrábění hliníkových slitin neekonomické. Zejména u malých součástí není možno dosáhnout optimálních řezných rychlostí.

Stroje pro obrábění Al - slitin můžeme získat upravením obráběcích strojů pro obrábění ocelí. Úpravu provedeme tak, že je doplníme výkonnějšími motory s velkým výkonem při vysokých otáčkách vřetene. V tabulce 1. jsou uvedeny doporučené hodnoty výkonu pro obrábění některých Al - slitin. Z tabulky vidíme, že výkon klesá s růstem úhlu čela. Výkon pro odebírání 1 000 cm³ materiálu se pohybuje v intervalu 9 - 45 kW.

Snaha pro zvýšení produktivity práce vede jednoznačně k vysokorychlostním způsobům obrábění s řeznými rychlostmi okolo 5 000 m . min⁻¹ a posuvovou rychlosťí do 10 m . min⁻¹.

Jedním z hlavních úkolů pro vysokorychlostní obrábění je vývoj a stavba vysokorychlostního stroje. Předpokladem vysokých řezných rychlostí jsou systémy vřeten s počtem otáček až do 30 000 min⁻¹. Předním výrobcem současných vřeten je firma IBAG AG, která je dodává v osmi velikostech s maximálními otáčkami 2 400 min⁻¹ a výkonem P = 0,1 - 16 kW. Těmito vřeteny jsou modernizovány starší stroje, avšak nacházejí uplatnění i u pokrokových strojů s CNC řízením z obráběcích center.

Vřetena se vyznačují tím, že se na nich používá nástrojů s průměry c rozsahu 3 - 16 mm, které poskytují optimální otáčky s minimální radiaální házivostí. Tuhá konstrukce dovoluje použití pracovních posuvů až do hodnoty $7,5 \text{ m} \cdot \text{min}^{-1}$ a umožňuje řezný výkon úběru až $1\,000 \text{ cm}^{-3} \cdot \text{min}^{-1}$. Taktéž lze proti konvenčnímu způsobu frézování dosáhnout vyšší produktivity práce o 300 %. /13/

Racionální obrábění hliníkových slitin vyžaduje používání rychlých a výkonných strojů. Tato zařízení musí dovolovat odstraňování třísek, jejichž odchod musí být značně rychlý, to je usnadněno při použití řezných kapalin /viz kap. 3.4./. Nízké řezné rychlosti se používají pouze v maloseriové nebo kusové výrobě u strojů, které neslouží pouze pro obrábění Al - slitin.

TABULKA 1.: Doporučené hodnoty výkonu pro obrábění některých Al - slitin

Slitina	Výkon / $\text{kW} \cdot \text{cm}^{-3} \cdot \text{min}^{-1}$ / pro úhel řeza	
	$\gamma = 0^\circ$	$\gamma = 20^\circ$
Al - Si 5,5	0,009 - 0,022	0,009 - 0,018
Al - Si 7	0,013 - 0,045	0,011 - 0,020
Al - Cu - Mg	0,013 - 0,022	0,009 - 0,018
Al - Cu	0,009 - 0,013	0,007 - 0,011
Al - Mg - Si	0,013 - 0,022	0,011 - 0,016

4. ZPŮSOBY OBRÁBĚNÍ

Celkové srovnání téměř všech způsobů obrábění jsem získala z literatury z roku 1969. Ta je však v současné době již zastaralá, a proto některé hodnoty v této kapitole slouží jen pro získání přibližné představy.

4.1. Soustružení

Obvyklé rychloběžné soustruhy jsou vhodné pro soustružení hliníkových slitin, pokud je možno dosáhnout na nich požadovaných řezných rychlostí. Řezná rychlosť se volí nad $90 \text{ m} \cdot \text{min}^{-1}$, protože při nižších rychlostech vzniká na soustružnickém noži nárůstek.

Řezné podmínky pro vznik nárůstku jsou pro:
a/ silumín v = $80 \text{ m} \cdot \text{min}^{-1}$ h = 5 mm

b/ tvářené slitiny

$$v = 40 \text{ m} \cdot \text{min}^{-1} \quad h = 0,4 \text{ mm}$$

TABULKA 2.: Doporučené úhly α_s , γ_s pro: $\alpha_r = 45^\circ$, $\lambda_s = 0^\circ$ /1/

Skupina materiálů	Materiál nástroje	Doporučené úhly nástroje $\alpha_s [^\circ]$	Doporučené úhly nástroje $\gamma_s [^\circ]$
I.	RO	8 - 10	30 - 40
	SK G 1	8 - 10	20 - 35
	SK H 1	8 - 10	15 - 30
II.	RO	7 - 12	30 - 40
	SK G 1	6 - 8	12 - 20
	SK H 1	6 - 8	10 - 12
III.	RO	10 - 12	12 - 16
	SK G 1	6 - 8	8 - 15
	SK H 2	6 - 8	8 - 12

TABULKA 3.: Řezné podmínky

Skupina materiálů	Materiál nástroje	Obrábění	Rychlosť řezu /m . min ⁻¹ /	Posuv /mm/ot/
I.	RO	hrubování na čisto	200 - 300 400 - 700	až 1 0,1 - 0,2
		hrubování na čisto	600 - 1 000 1 000 - 1 200	až 1,5 0,1 - 0,2
	SK	hrubování na čisto	100 - 150 200 - 400	až 0,5 0,05 - 0,2
		hrubování na čisto	150 - 300 250 - 600	až 0,3 0,05 - 0,2
II.	RO	hrubování na čisto	60 - 90 100 - 150	až 0,4 0,05 - 0,1
		hrubování na čisto	100 - 200 200 - 250	až 0,2 0,05 - 0,1
	SK	hrubování na čisto	100 - 200 200 - 250	až 0,2 0,05 - 0,1
		hrubování na čisto	100 - 200 200 - 250	až 0,2 0,05 - 0,1

U materiálů, které dodávají dlouhou třísku, bývá na noži vybroušen výstupek pro lámání třísky.

Při soustružení hliníkových slitin je třeba více dodržovat doporučenou geometrii a rychlosti řeznou a posuvovou.

4.2. Hoblování a obrážení

Jelikož na hoblovacích a obrážecích strojích není možné dosáhnout vysokých řezných rychlostí, je obrábění hliníkových slitin těmito způsoby nehostopodárné. Pokud je nutné použít obrážení nebo hoblování, používá se nožů stejné geometrie jako při soustružení.

4.3. Frézování

4.3.1. Frézování běžnými rychlostmi

a/ obvodové frézování - pracujeme s válcovými a kotoučovými frézami se šikmými zuby. Používá se fréz s velkou roztečí zubů, které mají velkou mezeru pro odvádění třísek

a s optimálním počtem zubů, což jsou maximálně dva zuby v záběru.

TABULKA 4.: Doporučené úhly pro válcové frézy /1/

Skupina materiálu	Materiál nástroje	Doporučené úhly nástroje	
		α [°]	β [°]
I.	RO SK	3 - 10	20 - 35
		3 - 8	110 - 25
II.	RO SK	3 - 10	20 - 35
		3 - 8	10 - 20
III.	RO SK	3 - 10	20 - 35
		3 - 8	10 - 20

Pro frézování Al - slitin je výhodnější frézovat sousledně. Doporučené rychlosti frézování jsou tak vysoké, že na běžných frézovacích strojích pro ocel jich obvykle nelze dosáhnout.

TABULKA 5.: Doporučené řezné podmínky pro válcové frézování Al - slitin /8/

Parametr	Mat. nástr.	Obrobitevnost			Pozn.
		I.	II.	III.	
Řezná rychlosť /m.min ⁻¹ /	RO hrč	300- 600 do 1200	150- 300 250- 800	90-100 100-150	při obsahu Si vyšším jak 10 % nutno použít SK
	SK hrč	do 2500 nad 3000	300- 800 500-1000	100-300 150-400	
Posuv na zub frézy /mm/	RO hrč	0,1 -0,5 0,03-0,1	0,1 -0,5 0,03-0,1	0,1 -0,5 0,03-0,1	
	SK hrč	0,1 -0,6 0,03-0,1	0,1 -0,6 0,03-0,1	0,1 -0,6 0,03-0,1	
Hloubka řezu /mm/	RO hrč	do 6 nad 0,5	do 6 nad 0,5	do 6 nad 0,5	
	SK hrč	do 7 nad 0,5	do 7 nad 0,5	do 7 nad 0,5	
Řezné kapaliny	RO hrč	bez emulse	emulse em+olej	emulse em+olej	
	SK hrč	bez emulse	bez em+olej	bez em+olej	

Místo emulsí možno použít syntetický olej rozpuštěný ve vodě.

b/ čelní frézování - využívá se k obrábění roviných ploch místo hoblování nebo frézování válcovými frézami. U klasických strojů lze vhodnou volbou průměru frézovací hlavy při poměrně malém počtu otáček dosáhnout velkých řezných rychlostí, takže lze na frézovacích hlavách používat břitů ze slinutých karbidů.

Počet břitů frézovací hlavy závisí na jejím průměru - nemá být menší než tři.

Aby se dosáhlo jakostních povrchů, musí být frézka pro čelní frézování masivní konstrukce, upevnění nástroje a obráběné součásti tuhé. Pro dosažení vysokých řezných rychlostí na malých frézách se používá rychlořezných strojů, které dosahují rychlosti až $20\ 000\ \text{ot} \cdot \text{min}^{-1}$.

TABULKA 6.: Řezné podmínky pro frézování frézovací hlavou /1/

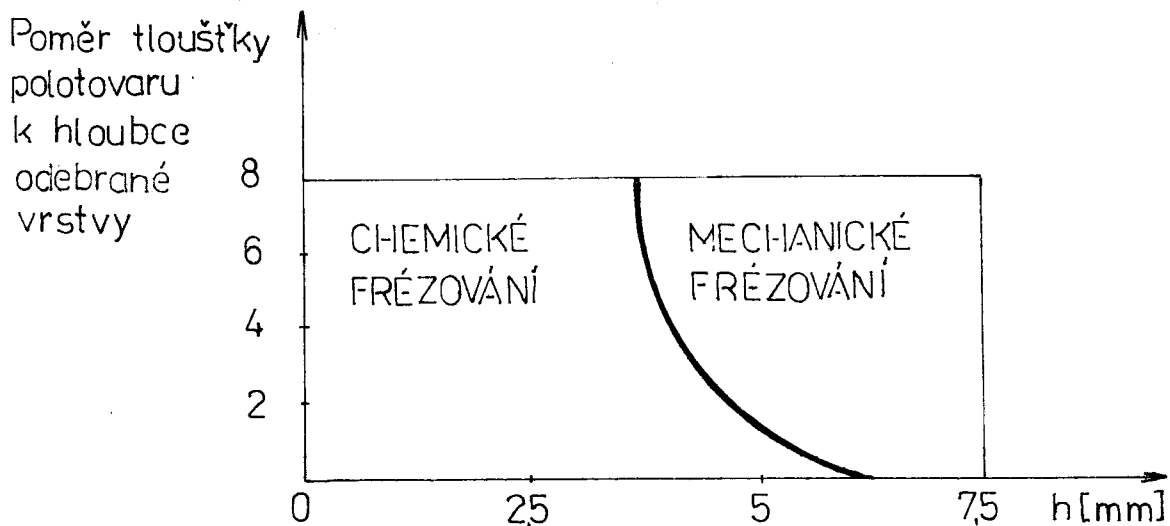
Skupiny mat.	Materiál nástroje	Obrábění	Rychlosť řezu $/m \cdot min^{-1}/$	Posuv na zub/mm/
I.	RO	hrubování na čisto	300	0,2
			400	0,1
	SK	hrubování na čisto	600	0,1
			800	0,07
II.	RO	hrubování na čisto	200	0,1
			300	0,07
	SK	hrubování na čisto	300	0,1
			400	0,06
III.	RO	hrubování na čisto	100	0,1
			150	0,05
	SK	hrubování na čisto	200	0,1
			250	0,05

c/ chemické frézování Al - slitin hluboké leptání.

Použití této metody je pouze v těch případech, kdy mechanické frézování by bylo příliš drahé. Jako leptadlo se používá 5 % roztok NaOH při teplotách 80 - 88° C.

Tato metoda je patentována v USA pod číslem 24 99 047 /9/.

Na obr. 2. je křivka rozdělující oblasti použití chemického a mechanického frézování v závislosti na hloubce řezu a tloušťce polotovaru. Z obr. 2. je vidět, že chemické frézování je výhodné použít tam, kde je třeba odstranit kov z velké plochy složitého tvaru s přídavkem na opracování do 3,2 mm.



Obr. 2 - Použití chemického a mechanického frézování v závislosti na hloubce řezu

4.3.2. Vysokorychlostní frézování

Počátky vysokorychlostního frézování spadají do dvacátých let našeho století. Během dalšího období se snažily firmy řeznou rychlosť co nejvíce zvýšit. Dosažené výsledky byly velice příznivé, a proto došlo k rozsáhlejším výzkumům v NSR firmou Heyligenstaed spolu s vysokou školou v Darmstadtě v osmdesátých letech.

Tento výzkum měl odpovědět na otázky:

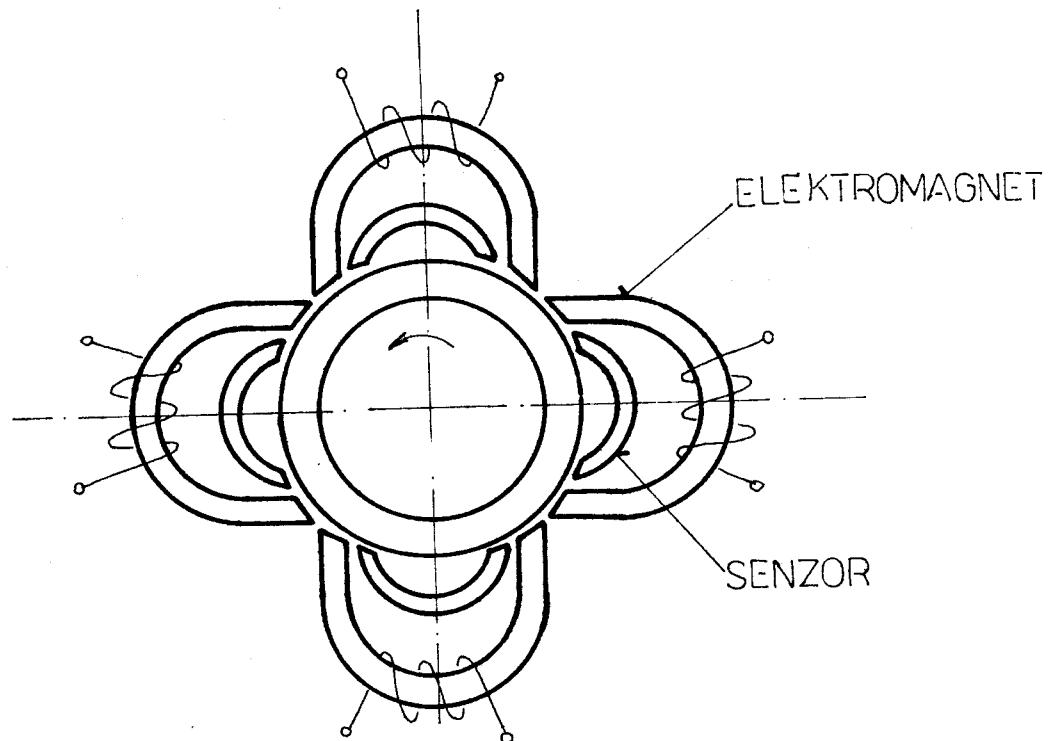
1. Jakou cestou může být řezná rychlosť dále zvyšována?
2. Jaké jsou optimální úhly čela γ v rozmezí $-30^\circ - +40^\circ$ při různých
 - řezných rychlostech $v = 2400 - 4600 \text{ m} \cdot \text{min}^{-1}$
 - posuvových rychlostech $l = 10 \text{ m} \cdot \text{min}^{-1}$
 - hloubkách řezu $h = 0,5 - 8 \text{ mm}$

Výsledky výzkumu:

1. Zvyšování řezné rychlosti se bude provádět pomocí zvýšení otáček vřetene. Hřídel bude uložen v aktivním magnetickém uložení /obr.3/, které ve spojení s asynchronním integrovaným motorem výkazuje tyto přednosti:
 - a/ vysokou frekvenci otáček /až $30\ 000 \text{ min}^{-1}$ /,
 - b/ velmi malé tření, které zajišťuje nízké spotřebení,
 - c/ není potřeba mazání a tudíž i těsnění,
 - d/ vřeteno může vybočit při silovém impulsu.
2. Závěrem lze říci, že vysokorychlostní frézování Al - slitin není jednoznačně omezeno hodnotami řezných rychlostí. Pro frézování Al - slitin jsou dle ménějšího autorů /5/ v nejbližší době prakticky realizovatelné řezné rychlosti až $6\ 000 \text{ m} \cdot \text{min}^{-1}$ při hodnotách posuvové rychlosti $4 - 10 \text{ m} \cdot \text{min}^{-1}$.

V dalším výzkumu by se měly řezné podmínky optimalizovat tak, aby objem obrábění za časovou jednotku vzrostl až pětinásobně. Je však nutné podotknout, že bude třeba provést ještě celou řadu experimentů, které by měly především vyřešit účinek vysokých řezných rychlostí na trvanlivost nástrojů.

Jednou z prvních oblastí pro využití výhod vysokorychlostního frézování by mělo být opracování čísel pro letecký průmysl.



Obr. 3 - Aktivní magnetické uložení hřídele

4.4. Dělení materiálu na kotoučových nebo pásových pilách

Při řezání hliníkových slitin se často používá kotoučových nebo pásových pil.

Aby se mezery mezi zuby nezalepovaly obrobeným materiálem, je rozteč zubů u nástroje pro řezání Al - slitin velká. Při neúměrně velké rozteči se může však zub zaseknout, proto kotoučové pily mívají často usazené zuby z rychlořezné oceli nebo ze slinutého karbidu.

TABULKA 7.: Řezné podmínky pro řezání kotoučovými pilami /1/

Skupina materiálů	Materiál nástroje	Rychlosť řezu /m . min ⁻¹ /	Posuv na zub/mm/
I.	RO	600 - 800	0,02
	SK	až 2000	0,09
II.	RO	200 - 350	0,02
	SK	až 1500	0,03
III.	RO	80 - 120	0,02
	SK	až 1000	0,03

U pásových pil se s ohledem na velkou řeznou rychlosť /i velká zatížení/ nesmí používat pásů pájených, ale jen svařovaných. Řezná rychlosť pro Al slitiny

$$\text{skupiny I.} = 2\ 000 \text{ m . min}^{-1}$$

$$\text{II.} = 1\ 500 \text{ m . min}^{-1}$$

$$\text{III.} = 1\ 000 \text{ m . min}^{-1}$$

Velikost posuvu na zub je ve všech případech 0,2 mm.

4.5. Protahování

Vzhledem k nákladnosti nástroje je tento způsob vhodný jen pro velké serie obráběných součástí. Řezná rychlosť bývá od 8 do 15 m . min⁻¹. Posuv na zub je při hrubování 0,025 až 1 mm, při práci na čisto 0,004 až 0,015 mm. Konstrukci protahovacích nástrojů je nutno přizpůsobit pro lehké kovy, tj. přizpůsobit hlavně úhly / α_0 = 15 - 25°, γ_0 = 5°/ a velkou mezeru mezi zuby /1/.

4.6. Vrtání

Šroubovitých vrtáků pro běžné obrábění ccelí se při obrábění hliníkových slitin používá jen pro odlitky, které mají vyšší obsah křemíku a tam, kde se vrtá jen malý počet součástí. Vrták pro obrábění Al - slitin se liší zřetelně od běžného velkým úhlem sklonu šroubovice /40 - 45°/. U tohoto vrtáku je zvětšena též drážka pro lepší odvod třísek. Vrcholový úhel je 130 - 140° /1/.

TABULKA 8.: Řezné podmínky pro vrtání šroubovitými vrtáky /1/

Průměr vrtáku /mm/	Rychlosť řezu /m . min ⁻¹ /	Posuv /mm/ot/	Poznámka
5	40 - 60	0,15	U slitin skupiny III.
5 - 10	60 - 80	0,16 - 0,2	je nutno podle
10 - 20	80 - 100	0,2 - 0,3	obsahu křemíku
20 - 50	100 - 150	0,3 - 0,5	hodnoty příslušně
50	150	0,5	snížit

Při vrtání Al - slitin dochází ke vzniku díry o větším průměru, než má vrták. Například u vrtáku \varnothing 25 mm může být tento rozdíl až 1 mm. Proto přesné díry je nutno předvrtat a potom vyhrubovat nebo vystružit.

4.7. Vyhrubování a vystružování

Vyhrubováním se upravují předlisované díry, protože šroubovitý vrták by mohl v těchto případech uhnut. Vyhrubování se používá též pro vyrovnání předvrstaných děr, které u hliníkových slitin často nejsou kruhové. Vyhrubováním se tedy dosáhne hladkého povrchu, přesnějších rozměrů a správnějšího geomatrického tvaru.

U výhrubníků z RO bývá řezná rychlosť $v = 20 - 50 \text{ m} \cdot \text{min}^{-1}$, u výhrubníků s břity ze SK $v = 50 - 80 \text{ m} \cdot \text{min}^{-1}$. Velikost posuvu $s = 0,1 - 0,5 \text{ mm/ot.}$

TABULKA 9.: Řezné podmínky pro vystružování /1/

Skupina materiálu	Materiál nástroje	Rychlosť řezu $/\text{m} \cdot \text{min}^{-1}/$	Posuv $/\text{mm/ot.}/$
I.	NO RO SK	30 40 50	
II.	NO RO SK	20 30 40	$0,1 - 1,0$ podle průměru
III.	RO SK	20 30	výstružníku

TABULKA 10.: Požadavky na vystružování /1/

Průměr vystružovaného otvoru $/\text{mm.}/$	Přídavek na vystružování $/\text{mm.}/$
do 5	0,2
5 - 20	0,2 - 0,3
20 - 50	0,3 - 0,5
přes 50	0,5 - 0,8

Pro dosažení větší přesnosti se předhrubované díry ještě vystružují. Výstružník má více břitů. Pro menší díry vystačí výstružník se šroubovitými zuby a pro díry s drážkami výstružník se spirálovými zuby.

Před vystružováním se díra předhrubovává proto, aby množství materiálu odebíraného při vystružování odpovídalo dané toleranci.

Vystružovat lze nejen ručně, ale i strojně.

4.8. Řezání závitů

a/ vnějších - krátké závity se řežou závitovými očky nebo závitovými čelistmi buď ručně nebo strojně.

K zhotovování závitů se používá i frézování. Všeobecné směrnice pro geometrii nástrojů, řezné rychlosti a pod. není možno podat, ale optimální podmínky je nutno získat praktickými zkouškami. Protože se velmi špatně dosahuje jakosti povrchu, závity se též zhotovují tvářením;

b/ vnitřních - převážná část se řeže závitníky. K řezání závitů malých průměrů a pro odlitky s nižším obsahem křemíku se používá běžných závitníků pro ocel, k řezání závitů s větším průměrem se používá závitníků s $\gamma_0 = 45 - 50$, $\lambda_s = 28 - 40$ a $\alpha_0 = 0$. Pro dobrý odvod třísek musí být drážka dostatečně široká/1/.

Při řezání závitů je nutné dávat pozor na správné odvádění třísek, aby se neucpala drážka, protože se obvykle závitník zlomí. Správné podmínky řezání závitů je možno zjistit pouze na základě zkoušek. Pro dosažení správné jakosti povrchu se doporučuje používat mazací emulze nebo vrtací oleje.

4.9. Broušení

Hliníkové slitiny se brousí jen zřídka, protože obroběné součásti s požadovanou jakostí povrchu je možno dosáhnout hospodárnějším obráběním /pomocí nástrojů diamantových nebo ze SK/.

Rovinné plochy se brousí pomocí brousicích pásek, profilované součásti plstěnými nebo látkovými kotouči opatřenými brousicím materiélem. Pro hrubé broušení se používá brusiva o zrnitosti 50 - 120, pro jemné o zrnitosti 100 - 400. Při broušení je nutné používat brousicích tuků, které jednak snižují opotřebení kotoučů, jednak částečně zachytávají i brousicí prach. Zachytávání prachu u lehkých slitin je velmi důležité, protože vdechování hliníkového prachu o velikosti pod 5 μm je zdraví škodlivé.

Rychlosť broušení je $v = 30 - 50 \text{ m.s}^{-1}$. Při hrubém broušení je možno dosáhnout drsnosti povrchu $4 - 10 \mu\text{m}$ a při jemném broušení $2 - 4 \mu\text{m}$ /1/.

4.10. Leštění

K dosažení kvalitně vyleštěného povrchu je nutné, aby již předcházející broušení bylo co nejčekonalejší, jelikož chyby od broušení, pokud se na ně přijde při leštění, nelze již obvykle opravit. Před leštěním je též nutno látkovými kotouči součásti dokonale odmastit. Leští se plstěnými nebo látkovými kotouči, na které na nanášeji leštící pasty. Obvodová rychlosť leštících kotoučů je $v = 50 - 60 \text{ m.s}^{-1}$. Při jemnějším zrnu se pracuje s vyššími rychlosťmi a naopak. /1/

5. KVALITATIVNÍ HODNOCENÍ OBRÁBĚNÍ

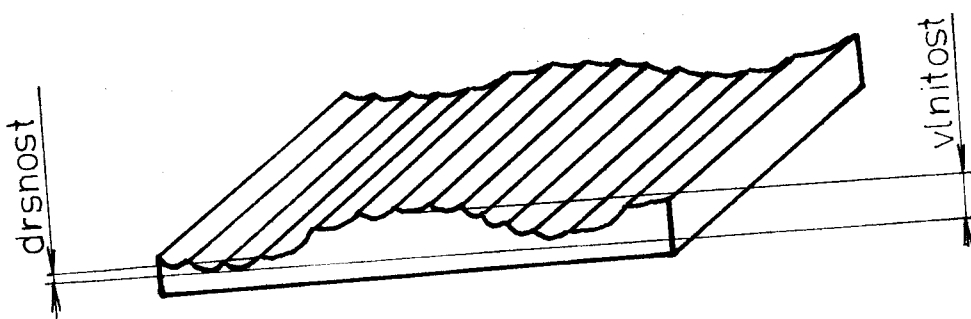
Zvyšování výkonnosti spolehlivosti a životnosti součástí klade zvýšené požadavky na kvalitu výroby a to jak z hlediska rozměrové přesnosti, tak z hlediska kvality obrobení plochy, která se týká povrchových prutí, drsnosti povrchu, morfologie povrchu a zpevnění, zejména u součástí dynamicky namáhaných.

5.1. Drsnost povrchu

5.1.1. Úchylky drsnosti povrchu

Úchylky drsnosti povrchu jsou dané normou ČSN 014450. Zkoumáme-li obrobenou plochu, vidíme, že je tvořena jako obalová dráha bodů řezné části nástroje při pracovním pohybu. Z obrázku 4. je zřejmé, že plocha má jednak příčnou drsnost ve směru kolmém na hlavní řezný pohyb a podélnou drsnost ve směru hlavního řezného pohybu.

Kromě toho zejména vlivem nepřesnosti stroje a nedostatečnou tuhostí soustavy stroj - obrotok - nástroj vzniká vlnitost, která má obyčejně pravidelný tvar a přibližně stejnou délku vln. Do vlnitosti zahrnujeme všechny pravidelné nebo se opakující nerovnosti povrchu, které mají délku vlny větší než mezní rozteč nerovnosti. /14/



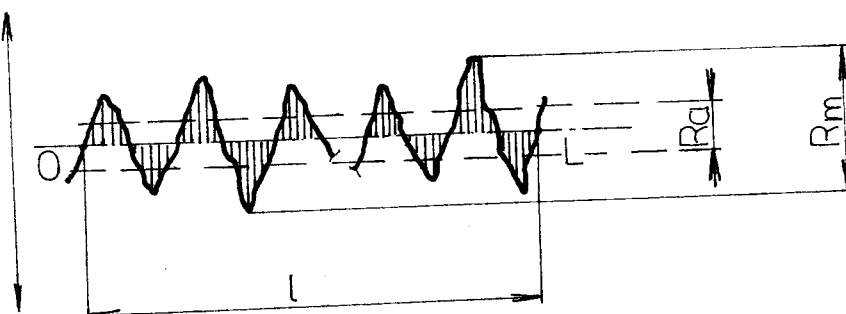
Obr. 4 - Podélná a příčná drsnost

5.1.2. Parametry určující drsnost povrchu

1. Střední aritmetická odchylka od střední čáry profilu /Ra/.
- Je to střední hodnota vzdálenosti bodů zkoumaného profilu $y_1, y_2, y_3, \dots, y_n$ od střední čáry, která dílí profil tak, že plocha mezi profilem a čárou je stejná nad i pod čarou /viz obr. 5/.

Výpočet Ra /14/:

$$Ra = \frac{1}{L} \int_0^L |y| dx \quad \text{nebo přibližně } Ra = \frac{1}{h} \sum_{i=1}^n y_i$$



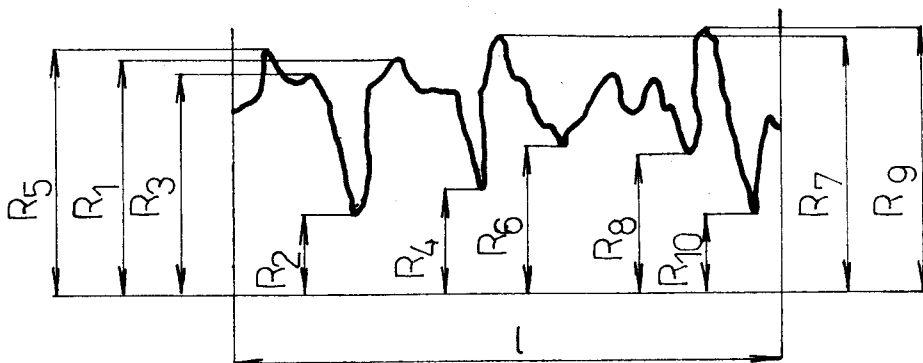
Obr. 5 - Střední aritmetické odchylka /Ra/ a maximální výška nerovnosti /R z/

2. Výška nerovnosti Rz je určena jako střední hodnota vzdáleností mezi pěti nejvyššími a pěti nejnižšími body profilu v délce měřeného profilu od čáry rovnoběžné se střední čarou profilu /viz obr. 6/.

Výpočet Rz /14/:

$$R_z = \frac{|R_1 + R_3 + R_5 + R_7 + R_9| - |R_2 + R_4 + R_6 + R_8 + R_{10}|}{5}$$

Vztah mezi Ra a Rz je dán přibližně vztahem: $R_z : R_a = 4$.



Obr. 6 - Výška nerovností

3. Maximální výška nerovnosti R_m je vzdálenost mezi dvěma čarami rovnoběžnými se střední čarou, z níž jedna prochází nejvyšším a druhá nejnižším bodem profilu v délce určeného úseku. R_m závisí především na druhu a tvaru nástroje.

Hodnota R_m pro soustružený povrch:

a/ nožem s poloměrem špičky R

$$R_m = \frac{s^2}{8R}$$

b/ nožem s ostrou špičkou

$$R_m = \frac{\tan \alpha_r + \tan \alpha'_r}{\tan \alpha_r - \tan \alpha'_r}$$

Hodnota R_m pro frézování, kde dráhy jednotlivých zubů jsou prodloužené cykloidy:

$$R_m = \frac{s_z^2}{8 \cdot R_c}$$

R_c ... poloměr křivosti cykloidy
 s_z ... posuv na zub

5.1.3. Způsoby měření drsnosti obrobeného povrchu

Stanovení drsnosti povrchu můžeme provést různými způsoby. V zásadě se tyto způsoby dělí na:

- a/ kvalitativní metody - kdy hodnotíme obrobenou plochu srovnáním se vzorkem bez číselného vyhodnocení velikosti drsnosti,
- b/ kvantitativní metody, kdy hodnotíme obrobenou plochu tak, že stanovíme velikost normou předepsaného kriteria, např. Ra, Rz, Rm, případně jiné veličiny charakterizující jakost obrobené plochy.

5.2. Mechanismus vzniku zbytkového prutí

Výchozí materiál mění v procesu výroby své mechanické vlastnosti a strukturu. Je to důsledek mechanického a zejména tepelného zatěžování povrchové vrstvy, v níž také dochází k nejpodstatnějším změnám. Souhrnně lze právě zde hledat podstatu vzniku zbytkového prutí.

5.2.1. Povrchová vrstva

Nejvíce namáhaná povrchová vrstva má tloušťku asi 0,1 - 0,2 mm. Její stav musí být co nejdokonalejší z hlediska strukturální homogenity a stability mechanických vlastností, zbytkové napjatosti a drsnosti. Rozhodující význam má jakost materiálu, tepelné zpracování a technologie obrábění funkčních ploch - hlavní podíl má broušení a dokončovací operace, zanedbatelný není ani podíl předchozích operací.

Při optimalizaci výrobních procesů s cílem dosáhnutí požadované přesnosti, drsnosti a jakosti opracovaného povrchu se vychází z teoretických a experimentálních výzkumů procesu obrábění.

5.2.2. Klasifikace napětí v uzavřených kovových polykrystallických materiálech

Rozlišení napětí v uzavřených systémech lze provést podle několika hledisek:

A. Podle příčiny, která vyvolala napětí:

Působí-li na systém vnější síly, vznikají v něm napětí označovaná jako "vložená". Napětí "vnitřní" v systému nevzniká od vnějších zátěžných sil. Toto vnitřní napětí musí být v uzavřeném systému v rovnováze. Porušením celistvosti systému dochází obvykle k přestavbě vnitřních sil a momentů, což se projeví deformací soustavy.

B. Zhodnocením doby, po kterou napětí působí:

rozlišujeme napětí vnitřní

1. okamžitá - zanikají po odstranění příčin, které je vyvolaly /hranici tvoří mez kluzu/. Například napětí vzniká rozdílem teplot a vznikajícím vyrovnáním teplot.

2. zbytková - zůstávají i po odstranění příčin, které je vyvolaly - podmínkou vzniku je přesáhnutí meze kluzu materiálu.

C. Podle relativní velikosti objemu, ve kterém dosahuje rovnováhy:

1. zbytkové napětí 1. druhu - dosahuje rovnováhy v makroobjemu součástí, tj. jeho velikost se podstatně nění v makroskopických oblastech. Podstatné je, že porušením silové a momentové rovnováhy /rozříznutí/ dochází ke změně makroskopických rozměrů tělesa.

2. zbytkové napětí 2. druhu - vyrovnává se v oblasti několika zrn, tato napětí jsou podmíněna anizotropií mechanických vlastností zrn a jsou přibližně homogenní jen v malých oblastech. U polykrystalických kovů v objemech jednotlivých zrn porušení rovnováhy nemusí vyvolat změny makroskopických rozměrů tělesa.

3. zbytkové napětí 3. druhu - projevuje se v objemu několika atomových vzdáleností a je nehomogenní i v nejmenších oblastech materiálu. Tato napětí dosahuje rovnováhy teprve v dostatečně velké části zrna. Porušením této rovnováhy nedojde nikdy ke změnám v makroskopických rozměrech tělesa.

Zbytková pnutí všech tří druhů se vyskytuje zpravidla současně. V technické praxi se pod pojmem technické pnutí rozumí obvykle pouze napětí 1. druhu.

5.2.3. Příčiny vzniku zbytkového pnutí

Všeobecně lze říci, že zbytková pnutí mohou být způsobena plastickou deformací některé části materiálu součásti. Z možností vzniku plastické deformace vyplývá, že nejčastěji k ní dochází v povrchových vrstvách součásti.

Technologie výroby součásti umožňuje vznik plastické deformace povrchové vrstvy trojím způsobem - nerovnoměrnou plastickou deformací, nerovnoměrným ohřevem nebo ochlazením a strukturním pnutím.

1. Nerovnoměrná plastická deformace

Zbytková pnutí způsobena silovým účinkem vzniknou podle následujícího - jestliže zatížení zasáne mezi kluzu a smykové napětí v rovině a směru kluzu dosáhne kritické hodnoty a po odlehčení se zabrání změně rozměrů.

Při většině výrobních způsobů, kde se uplatňuje silový účinek, se působí na povrchovou vrstvu tak, že má tendenci zaujmout větší rozměr /je plasticky prodloužena/, čemuž brání jádro vzorku. V povrchové vrstvě budou tedy pnutí tlaková, uvnitř vzorku pnutí tahová.

Velikost a rozložení těchto pnutí bude záviset na stupni a hloubce přetvoření této vrstvy, na poměru mezi kluzu k pevnosti materiálu, na sklonu materiálu ke zpevnění a dalších faktorech.

2. Nerovnoměrný ohřev

Zbytková pnutí jsou vyvolána nestejnou rychlosťí ohřevu, nebo ochlazování povrchových vrstev a jádra v průběhu výroby součástí. V první fázi cyklu tepelného zpracování dochází k plastickému stlačení povrchových vrstev. Po konečném vyrovnání teplot je na povrchu tahové a uvnitř tlakové pnutí.

3. Strukturní pnutí

Strukturní pnutí vzniká v důsledku různých měrných objemů jednotlivých struktur. V důsledku silových a tepelných účinků při zpracování kovů může se kromě příčin vzniku dříve zmíněných druhů zbytkových prutí uplatnit další napětí, vyvolané vytvářením nových strukturních složek za předpokladu, že nají jiný měrný objem než původní fáze.

5.2.4. Účinek zbytkových pnutí

Všeobecně je přijímán názor, že zbytková pnutí v tahu jsou považována za nežádoucí, poněvadž jsou-li na ně superponována vlivem působícího namáhání napětí v tahu, predstavují snížení teoretické pevnosti součásti.

Vliv zbytkového pnutí je nejvýraznější právě u materiálů, jejíž meze kluzu se blíží mezi pevností, takže porušení nepředchází rozsáhlejší plastické deformace. Experimentálně bylo dokázáno, že tahová zbytková pnutí snižují podstatně životnost součástí. Tlaková zbytková pnutí naopak zvyšují životnost součástí.

Zdroje poruch jsou nejčastěji definovány jako tzv. koncentrátorы napětí /velké křehké vmeštky, mikrotrhliny apod./. Současné názory na vznik únavového poskození lze shrnout takto:

a/ povrchový původ poruchy

- povrchové mikrotrhliny
- existence velkých křehkých vmeštak
- shluky vmeštak
- nízká kvalita materiálu
- nevhodná zbytková pnutí
- vysoká drsnost povrchu
- klasická únava materiálu v povrchových vrstvách

- b/ pod povrchový původ poruchy
- přítomnost koncentrátorů napětí
 - nevhodná zbytková pnutí
 - klasická únava materiálu.

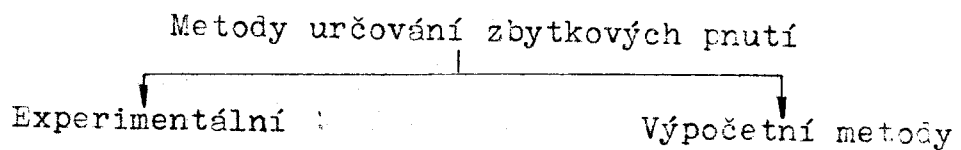
5.2.5. Metodika zjištování zbytkových pnutí

V současné době existuje řada prací věnovaných určování zbytkových pnutí. Všechny používané metody jsou buď zdlouhavé nebo náročné na zařízení a techniku měření, nebo nepřesné.

Níže uvedené schema uvádí základní metody určování zbytkových pnutí /schema I/.

V dnešní době jsou k dispozici vedle experimentálních metod též teoretické výpočetní metody. Vzhledem k nadmerné výpočetní náročnosti u jednotlivých případů a nahodilosti vstupních veličin do modelu je však praktická použitelnost výpočetních metod značně omezena. V mnoha konkrétních případech je rychlejší, přesnější a lacinější používat ke zjištění zbytkových pnutí některý ze známých experimentálních způsobů.

Ke zjištování zbytkových pnutí v makropřůřezu slouží zejména metody mechanické, pro přibližné určení lze též použít metody využívající změny některé vlastnosti materiálu, metodu ultrazvukovou a fotoelasticimetrii.



1. Mechanické metody:

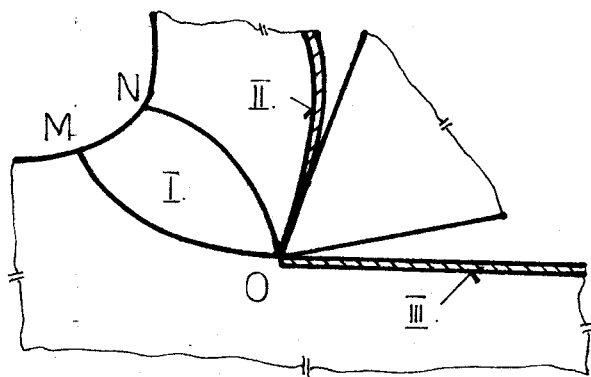
- Měření deformace válce při mechanickém odstraňování vnitřních vrstev nebo vnějších vrstev
- Měření deformace rozřezáním dutých válců nebo kroužků
- Metoda otvoru
- Metoda zastavení procesu řezání
- Nátěry z křehkých lakuů
- Metoda sítí

2. Fyzikální metody:

- Ultrazvuková metoda
- Měření rentgenovými paprsky
- Fotoelasticimetrie - optická metoda určování napjatosti
- Holografická interferometrie

3. Chemické metody

- Difuze vodíku



Obr. 7 - Oblasti plastických deformací

5.3. Měření mikrotvrdosti

Na charakter a intenzitu plastických deformací v oblasti primární /I./, sekundární /II./ a terciální /III./ (obr. 7) a na velikost těchto oblastí lze usuzovat též na základě proměřování mikrotvrdosti - zpevnění v různých částech těchto oblastí. Měření se provádí na mikrotvrdoměrech různé konstrukce /15/.

Jedna z možností proměřování mikrotvrdosti na povrchu obrobene plochy je metoda šikmeho řezu /pod úhlem asi 10° /, kterou se dá stanovit intenzita zpevnění a hloubka zpevněné vrstvy obrobeneho povrchu.

Aby deformace při zhotovení šikmeho řezu podstatně neovlivňovaly výsledné zpevnění proměřovaného povrchu, upravuje se povrch zpravidla metalografickým výbrusem.

6. METODIKA ZKOUŠEK A KVALITATIVNÍ HODNOCENÍ OBRÁBĚNÍ HLINÍKOVÝCH SLITIN PO VÁLCOVÉM FRÉZOVÁNÍ

Kvalitativní hodnocení obrábění Al - slitin se sice v literatuře objevuje, ale jedná se vždy o konkrétní případy, které jsou nedostatečné. Z těchto důvodů byl zadán státní úkol katedře obrábění a montáže na VŠST v Liberci.

Experimenty v rámci uvedeného úkolu mají ukázat jakost a stav povrchové vrstvy pro frézování hliníkových slitin. Jako zkušební materiál byla vybrána slitina AlCu4Mg1, které se používá jako progresivní typ hliníkové slitiny pro výrobu leteckých konstrukčních dílů.

Výběr stroje, nástroje a řezných podmínek byl proveden v loňském roce v diplomové práci Ivana Mašína.

Novým úkolem pro vybraný stroj /FNL 08 NC/ bylo navrhnut a vyrobit přípravek pro upnutí polotovaru /krátkých a tvarových vzorků viz příloha č. 5 a 8/.

Před vlastním obráběním zkušebních tyčí byly navrženy rozměry vzorků a plán jejich odběru. Po tomto zpřesnění byl sestaven program pro řídící systém stroje FNL 08 NC.

Na vypracovaných vzorcích byly měřeny tyto charakteristiky povrchové vrstvy:

- drsnost povrchu
- morfologie povrchu
- hloubka a stupeň zpevnění
- zbytkové napětí v povrchové vrstvě.

V dalším kroku řešení úkolu bylo tedy nutné navrhnut metody, kterými je možné výše uvedené charakteristiky určit.

Způsob měření drsnosti povrchu musel zajistit určení skutečných parametrů dle ČSN O1 4451.

Pro určení morfologie povrchu byl použit mikroskop NEOPHOT a elektronový rastrovací mikroskop.

Pro určení hloubky a stupně zpevnění byla vybrána a metodicky rozpracována metoda měření mikrotvrdoosti v povrchové vrstvě.

Měření zbytkových napětí bylo realizováno v zařízeních katedry obrábění a montáž VŠST Liberec.

6.1. Obráběcí stroj

Destičky byly obrobeny na frézce FNL 08 NC, která se v n. p. Rudý Letov používá pro frézování hliníkových slitin vysokými řeznými rychlostmi.

Tuto číslicově řízenou portálovou frézku používal n. p. Rudý Letov jako jednoučelový stroj pro obrábění "vodítek vztlakových klapek". Nástroj byl přímo upnut do vertikálního vřetena rychloběžného motoru Forest /maximální otáčky $9\ 000\ min^{-1}$ /. Chlazení se provádělo směsí chladicí kapaliny s tlakovým vzduchem /tzv. mlha/. Obrobky se upínaly do připravku /příloha č. 1, obr. 13/, jež byly upevněny na stole stroje. Portál pojížděl v podélné ose stolu po oboustranně umístěných vodicích tyčích. Posuv byl zajištován pohybem vřetenu po příčníku. Posuvová rychlosť byla plynule regulační.

Základní údaje:

1. příkon	7,5 kW
2. řídící systém	SINUMERIK 550 /NSR/
3. rotační měnič	TENECEM /Francie/
4. rozsah otáček	$1500, 3000, 4500, 9000\ min^{-1}$

6.2. Řezný nástroj

Vzorečky byly obrobeny dvoubřitou hrubovací frézou označenou 50 x 50 PNL 2350.

Základní údaje frézy:

- průměr	50 mm
- břitové destičky	K 40
- dovoluje maximální řeznou rychlosť	1 413 m·min ⁻¹
- otáčky	9 000 min ⁻¹
- délka ostří	50 mm

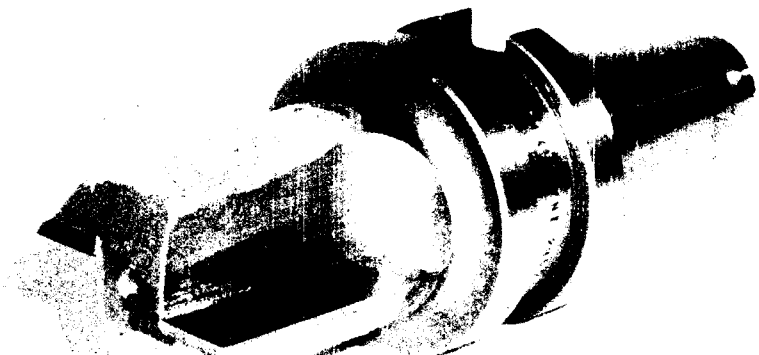
Nástroj je znázorněn na obr. 8 a 9.

Před vlastním frézováním byl naostřený nástroj proměřen na universálním mikroskopu. Byly zjištěny tyto hodnoty:

- průměr	49,017
- úhel čela	7° 58'
- úhel hřbetu	19° 8'
- sklon ostří	1° 40'
- drsnost na čele Ra	0,05 μm
- drsnost na hřbetu Ra	0,45 μm



Obr. 8 - Fréza 50 x 50 PNL 2355



Obr. 9 - Fréza 50 x 50 PNL 2355

6.3. Zkušební materiál

Zjištění druhu materiálu a jeho vlastností je důležité pro další použití materiálu v praxi. Z tohoto důvodu byl materiál před obrobením opatřen výňatkem ze zprávy VÚK - 22/84 o jeho složení a výrobě /viz článek 1/. Dále byl proveden metalografický výbrus a naleptání vzorku, pro zjištění struktury hliníkové slitiny AlCu4Mg1 /viz článek 2/. Nakonec byla změřena mikrotvrďost, aby se získal celkový přehled o zkoumaném materiálu /článek 3/.

6.3.1. Výňatek ze zprávy VÚK - 22/84

- a/ technologická schúdnost zařízení rafinace a filtrace taveniny do technologického pochodu v KO Děčín i vyjádření sovětských odborníků o přednosti taveb z elektrických pecí vedl k podrobnému pokusu ověřit vlastnosti materiálu připraveného na indukčním tavicím souboru.

TABULKA 11.: Druh vsázky

Vsázka	Tavba /tyč označena R/
Cu čistá	100 kg
AlCu40	255 kg
Mg	70 kg
AlMn10	305 kg
Al 99,7 bloky	3 970 kg
Tilate	0,5 kg
CELKEM	4 700,5 kg

Technologické podmínky výroby slitiny AlCu4Mg1:

- tavení 21.35 - 2.20 hod.
- tavící teplota 730° C
- ustalovací doba 90 min.
- rafinace Aluflux 2,3 kg/t
koksy
2x filtrační tkanina
sivex
- licí teplota 720° C
- homogenizace 480° C/12 h

b/ TABULKA 12.: Výsledné chemické složení

Tavba	Cu	Mg	Mn	Si	Fe
Množství přísad cm ³ /100 g	4,32	1,59	0,69	0,16	0,22

Zn	Ni	Ti	Pb	H ₂
0,02	0,03	0,01	0,01	0,15

c/ vlastnosti pásů 100 x 12 /tyč 10R, vzorek az /

Pasy mají strukturu ve středu nerekrytalizovanou, povrch

je do hloubky 0,5 mm a na bocích 3 mm hrubě rekrytalisovaný.

Nejdůležitější vlastnosti pásů:

- elektrická vodivost	$18,6 \cdot 10^6 \text{ S.m}^{-1}$
- rozsah síly	2 000 N
- rozsah deformace	2 %
- jmenovitá délka tyče	800 mm
- dolní bod pro modul	2 000 N
- horní bod pro modul	4 000 N
- rychlosť příčníku pro deformaci	$2 \% = 5 \text{ mm} \cdot \text{min}^{-1}$
	$2 \% = 20 \text{ mm} \cdot \text{min}^{-1}$

Naměřené průměrné hodnoty tyče 10R:

- pevnost Rm [MPa]	518,04 - 567,76
- meze Rp [MPa]	346,97 - 426,63
- 0,5 %	
10 %	362,16 - 429,09
20 %	371,73 - 431,83
- celková deformace [%]	17,32 - 20,70
- modul E [MPa]	75 299,9 - 75 225,5
- tažnost A [%]	16,4 - 20,2

6.3.2. Vzorek pro metalurgický výbrus

Ze zkušební tyče polotovaru byl vyříznut vzorek o velikosti 10 x 10 x 12 mm. Vzorek byl vložen do kroužku z PVC o Ø 30 mm a zalit dentakrylem. Po ztuhnutí dentakrylu byl proveden metalografický výbrus.

Postup metalografického výbrusu:

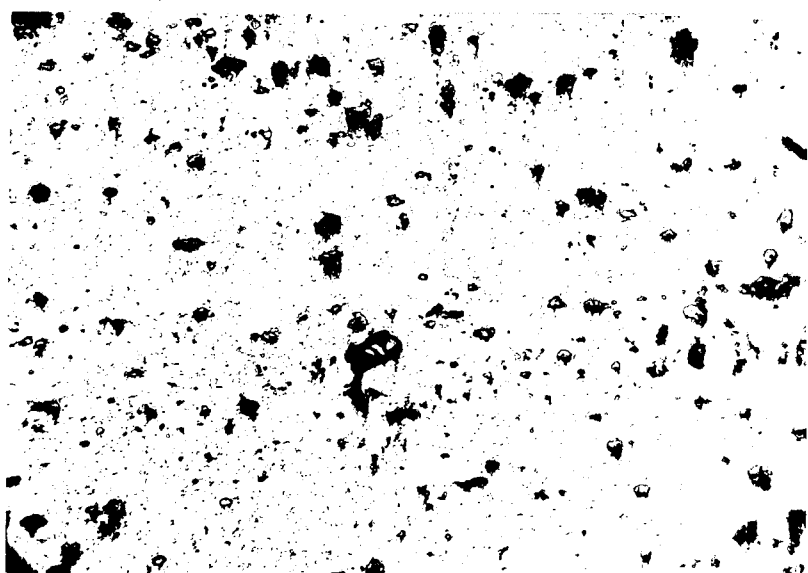
1. Broušení na metalografické brusce při zrnitosti brousicího papíru 222, 400 a 600.
2. Leštění na metalografické leštícce bylo provedeno na jele-nici, kdy leštícím mediem byla voda.

Broušení bylo provedeno tak, že vzorek byl broušen jedním směrem až všechny stopy od předchozího broušení byly překryty, potom byl vzorek otočen o 90° a tento postup byl

několikrát opakován. Broušení i leštění se provádělo přibližně 20 min.

Vyleštěný vzorek byl leptán různými leptadly:

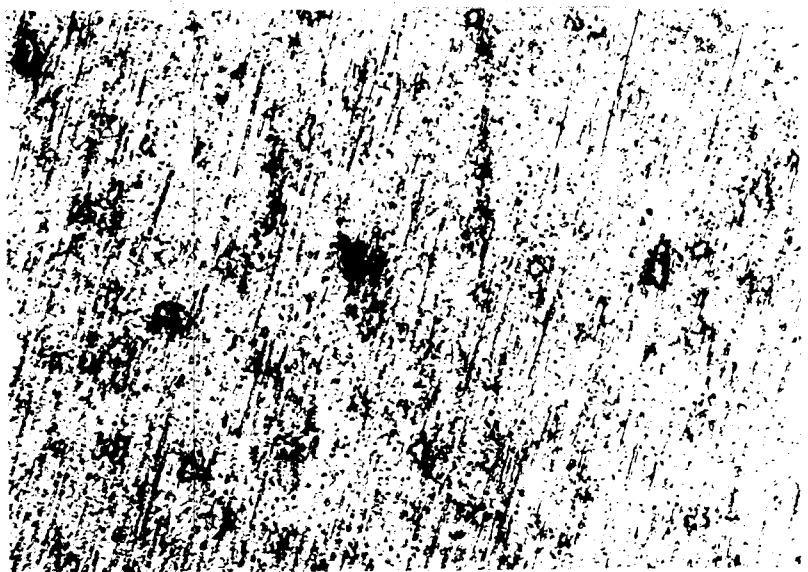
- A. $0,5 \text{ cm}^3$ kyseliny flurovodíkové + $99,5 \text{ cm}^3$ vody po dobu leptání 10 - 12 s.



Obr. 10 - Vzorek leptaný leptadlem A.

Roztok kyseliny flurovodíkové leptal základní matrici, která má jemnozrnou a rovnoměrnou strukturu bez známek vnitřních heterogenit /obr. 10/.

- B. 10 g hydroxidu sodného + 90 cm^3 vody při teplotě 70°C po dobu 4 - 5 s.



Obr. 11 - Vzorek leptaný leptadlem B.

Roztok hydroxidu sodného leptá přídavnou fází. Na snímku je znázorněn tvář a rozložení této fáze v základní matri-
ci /obr. 11/.

Fotografie má nižší kvalitu, protože vzorek měl horší
kvalitu vyleštění, přesto je vyvolaná struktura dobře
viditelná.

6.3.3. Měření mikrotvrdosti

Pro měření byl použit vzorek o rozměrech 7 x 4 x 25 mm.
Na vzorku byl proveden metalografický výbrus viz kap. 6.3.2.

Mikrotvrdost byla určena přístrojem FMT-3, který je
založen na Vickersově principu:

- vnikací těleso = jehlan o vrcholovém úhlu 136°
- hmotnost závaží je volitelná v rozsahu 2 - 200 g.

Přístroj PMT-3 /obr. 12/ je složen ze:

- stojanu
- otočného stolu
- zatěžovacího zařízení
- optické soustavy
- osvětlovací lampy, která byla napájena přes transformátor.

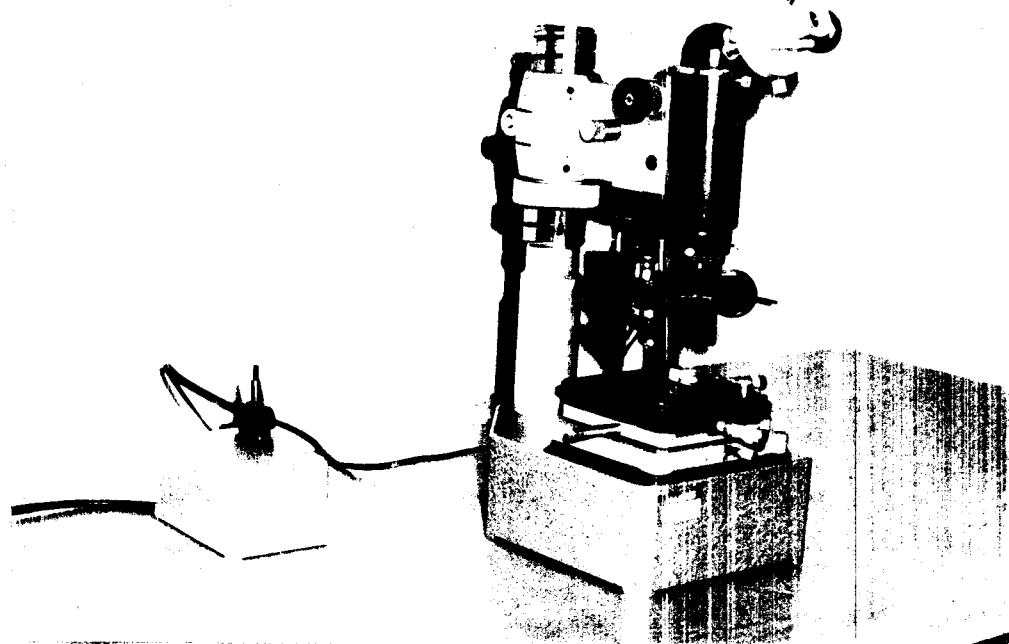
Při měření byl okulár z výbavy přístroje nahrazen okulárem "Zeiss-Neofot", jehož nitkovým křížem bylo možné měřenou diagonálu sevřít z obou stran současně. Použitá optika měla následující parametry:

- zvětšení objektivu	32,2	x
- zvětšení okuláru	15	x
- celkové zvětšení	483	x
- převodní konstanta	0,334	$\mu\text{m}/\text{dílek}$

Určení mikrotvrdoosti na přístroji PMT-3 bylo provedeno následujícím způsobem:

1. Součást byla vložena na stolek a na jejím povrchu bylo pomocí mikroskopu nalezeno místo pro vtisk.
2. Stolek byl otočen o 180° a tím bylo dosaženo vybrané místo pod ostrým vnikacím tělesa.
3. Vnikací těleso bylo spuštěno na povrch vzorku. Doba působení tělesa na povrch vzorku byla přibližně 10 s.
4. Po zvednutí vnikacího tělesa bylo otočeno stolkem do původní polohy.
5. Pomocí nitkového kříže a mikrometrické stupnice okuláru byl odečten počet dílků, který představoval velikost diagonály vtisku. Jestliže byly hrany vtisku deformovány, bylo nutné vtisk opakovat na jiném místě.
6. Velikost diagonály v dílcích byla přepočítána pomocí převodní konstanty na velikost diagonály v mikrometrech. Konstanta je odlišná pro různá zvětšení a byla určena z odměřené kontrolní stupnice.

Měření mikrotvrdosti bylo provedeno při zatížení 0,1962 N /hmotnost závaží 20 g/. Vtisky byly provedeny tak, aby byla dodržena zásada, že vzdálenost dvou sousedních vtisků musí činit nejméně dvojnásobek délky diagonály většího vtisku.



Obr. 12 - Přístroj PMT-3

Výsledkem měření mikrotvrdosti bylo získat průměrnou hodnotu mikrotvrdosti na povrchu polotovaru materiálu.

Mikrotvrdost se při zatížení 0,1962 N určí pomocí vztahu:

$$HV \cdot 0,02 = 188\ 991 \cdot \frac{0,1962}{V^2} \quad (2)$$

V velikost diagonály v μm

V = počet dílků . převodní konstanta

Vzhledem k tomu, že byly měřeny jen nedeformované vtisky, vyhodnocovala se jen jedna diagonální výška.

TABULKA 13.: Naměřené hodnoty mikrotvrdosti

Číslo měření	1	2	3	4	5	6	7	8	9	10
Počet dílků	60	64	62	57	61	60,5	64	68	66	60
HV . 0,02	112	98	105	124	108	100	98	88	93	112

Měřením bylo zjištěno, že průměrná hodnota mikrotvrdosti na povrchu zkoumaného materiálu odpovídá HV . 0,02 = 133,8.

6.4. Řezné podmínky

Frézování na stroji FNL 08 NC bylo provedeno sousledným i nesousledným způsobem při chlazení mlhou. Při obou způsobech byly použity tyto hodnoty řezných parametrů:

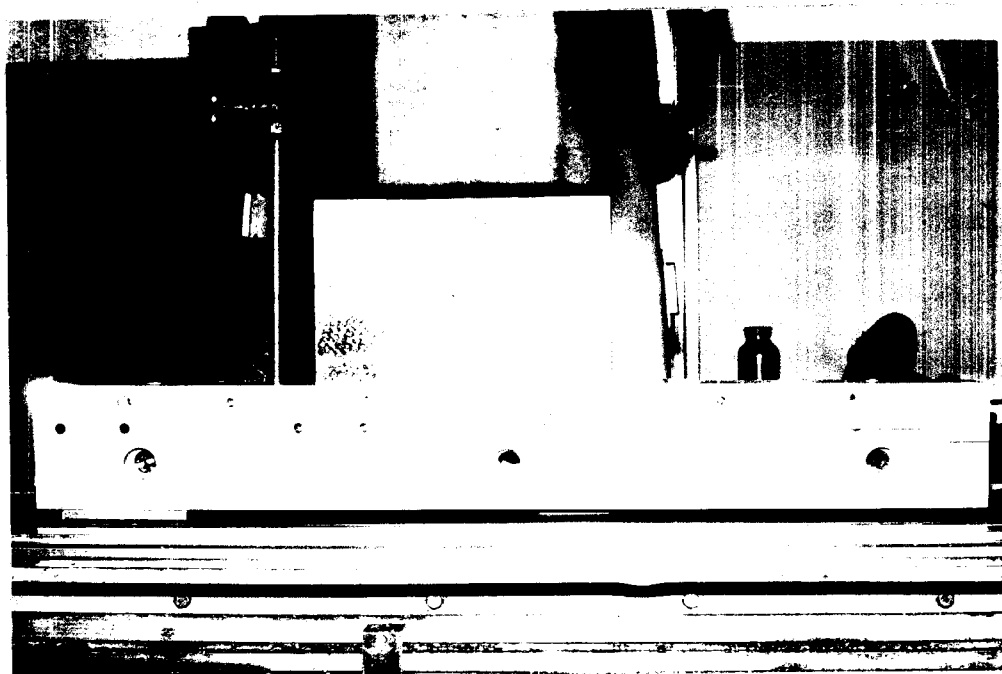
$$n = 3\ 000, 9\ 000 \text{ ot} \cdot \text{min}^{-1} / v = 462 \text{ m} \cdot \text{min}^{-1}, 1386 \text{ m} \cdot \text{min}^{-1}$$
$$s = 375, 750, 1\ 500 \text{ mm} \cdot \text{min}^{-1}$$
$$h = 0,5, 4 \text{ mm}$$

Přiřazení řezných podmínek k jednotlivým vzorkům je uvedeno v příloze č. 10.

6.5. Upnutí polotovaru

Při frézování na stroji FNL 08 NC byly vzorky ze zkoušebního materiálu upnuty v upínacím přípravku /příloha č. 1, obr. 13/.

/Vzhledem k zákazu fotografování v prostorách n. p.
Rudý Letov je přípravek na fotografii upnut na stůl
frézky FA2V a tvarový vzorek, který je upnut v přípravku,
slouží pouze pro dokreslení celkové situace /obr. 13/. Tento
tvarovaný vzorek /příloha č. 7/ bude po ofrézování vyhodno-
cován pomocí únavových zkoušek na ČVUT Praha./



Obr. 13 - Upínací přípravek

6.6. Vlastní frézování

Hlavním úkolem bylo obrobení na čisto vzorků krátkých a tvarových, přičemž tvarové vzorky měly sloužit pro únavové zkoušky a krátké vzorky pro kvalitativní hodnocení obrábění.

Na počátku vlastního řezného procesu se tělesa pro hloubku řezu 0,5 mm ohrubovala z obou stran, přičemž hloubka řezu hrubování byla 3,5 mm.

Samotný řezný proces probíhal podle naprogramovaného cyklu, který zajistil obrobení jedné strany těles, jež byla ofrézována různými řeznými podmínkami při konstantní hloubce řezu. Tělesa byla obráběna z obou stran. Nejprve byly obrobeny vzorky sousledným cyklem a potom nesousledným cyklem při stejných řezných podmínkách.

Dural vytváří hned po obrobení na povrchu obrobené plochy tenkou vrstvičkou Al_2O_3 , která chrání materiál před další korozí. Tento jev je v praxi sice výhodný, ale pro zkoumání morfologie povrchu bylo nutné zamezit vytvoření této vrstvičky. To bylo provedeno tak, že obrobený povrch byl hned po dokončení procesu obrábění natřen vrstvičkou oleje.

Vzhledem k technickým nedostatkům obráběcího stroje a časové tísni byly tvarové vzorky pouze ohrubovány.

6.7. Příprava vzorků

Při odebírání vzorků bylo nutné zvolit takový postup, při kterém nemohlo dojít ke změně struktury, ať již vlivem deformace nebo ohřevu.

Výroba zkušebních těles, která byla upnuta na upínacím přípravku, byla provedena tímto postupem:

- rozřezání tyčí o rozměru 100 x 12 x 800 mm dle odběrového plánu /viz příloha č. 9/ pilovým listem
- ofrézování těles na konečné rozměry:
 - a/ krátký vzorek 44 x 12 x 115 mm
 - b/ dlouhý vzorek 44 x 12 x 164 mm
- vyvrtání otvorů pro kolíky /Ø 12 H8/
a šrouby /Ø 8 H8/
na vrtacím přípravku /příloha č. 2/

- ofrézování dlouhých vzorků na vzorky tvarové /viz příloha č. 7/.

Vzhledem k technickým nedostatkům obráběcího stroje FNL 08 NC a časové tísni byly tvarové vzorky pouze ohrubovány.

Obroběné krátké vzorky byly dále děleny kotoučovou frézou dle odběrového plánu /viz příloha č. 9, list 4/.

6.8. Měření drsnosti povrchu

Drsnost povrchu byla měřena na vzorcích o rozměrech 7 x 4 x 35 mm. Pro měření bylo použito zařízení Hommel-Tester T 3 /NSR/. Toto zařízení obsahuje dvě základní jednotky s řadou sekcí a vlastní snímač s posuvným zařízením.

První základní jednotkou je měřicí zesilovač nosné frekvence TL, na který lze zapojit jak mikrospínač, tak i délkový měřicí snímač. Základní jednotka umožňuje volbu dvanácti měřicích rozsahů. Posuvová jednotka slouží k upnutí mikrosnímačů, které vede zvolenou konstantní rychlostí po hodnocené ploše.

K měření bylo použito relativního snímače TFB 300, který má kluznou část, pohybující se po povrchu obrobku, z níž vyčnívá diamantový hrot.

Naměřené hodnoty R_a , R_m v jednotlivých vzorcích jsou uvedeny v příloze č. 11.

6.9. Měření morfologie povrchu

Morfologie je nauka o tvarech /19/. Pod pojmem morfologie povrchu tedy uvažujeme takový způsob hodnocení kvality obrobeneho povrchu, který je orientovaný na posuzování tvarových odchylek ofrézovaného povrchu vzorků.

Morfologie povrchu byla měřena na vzorcích o rozměrech 12 x 4 x 16 mm. Pro měření byl použit velký, převrácený kamerový mikroskop pro snímkování NEOPHOT /obr. 14/, /pro zvětšení 60 x/, na kterém byl vzorek osvětlen šikmým světelným paprskem a elektronový rastrovací mikroskop BS 300 /pro zvětšení 2 000x, 10 000 x/.

Velký kamerový mikroskop Neophot je konstruován dle soustavy Le-Chatelierovy, což znamená, že stůl pro vzorky je umístěn nad optickým zařízením. Rovina stolu je rovnoběžná s rovinou vzorku, takže výbrus je bez jakékoliv úpravy kolmý k optické ose při uložení plochou výbrusu na stůl. Z toho vyplývá, že nezáleží na tloušťce vzorku.

Velký kamerový mikroskop Neophot je složen ze tří částí:

1. Optická zařízení

- křížový stůl je otáčivý a jeho deskou lze posunovat ve dvou vzájemně kolmých směrech
- stativ Neophotu
- iluminátor je upevněn na stativu a obsahuje hrany a zrcátka, která soustřeďují světelné paprsky, které procházejí objektivem a dopadají na vzorek a odtud je odrážejí do okuláru nebo do fotografického přístroje.

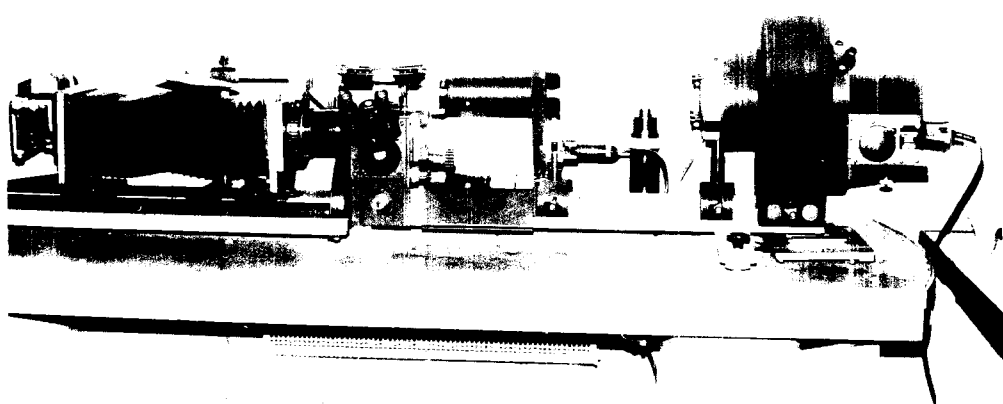
2. Zařízení osvětlení vzorku

- mikrosvětelné pomocné osvětlovací žárovky 6 V, 15 W, napájené střídavým proudem přes transformátor
- mikrofotografické osvětlení bylo složeno z uhlíkové obloukové lampy s hodinami, která byla zapojena přes odpory do sítě střídavého proudu a sběrače s kyvetou,

která obsahovala chladící kapalinu /destilovanou vodu/. Funkcí sběrače je soustředovat světelné paprsky obloukové lampy.

3. Zařízení pro fotografování

- fotografický přístroj Pentacon SIX
- roztažitelný měch, který spojoval fotografický přístroj s předním rámem
- přední rámeček, na kterém byla upevněna časová a momentní uzávěrka ve vlastním rámečku. Do uzávěrky byla našroubována zaostřovací příruba s fotoobjektivem.



Obr. 14 - Velký kamerový mikroskop NEOPHOT

Vyhodnocením vzorků byly získány fotografie, které jsou uvedeny v příloze č. 12.

Rastrovací elektronové mikroskopy se používají v textilním průmyslu, ve vědě a dokonce i v oblastech biologie a mediciny. Rastrem se nazývají mřížky pro strukturní zobrazení svazku elektronu.

Rastr je nejdůležitější součástí rastrovacích optických systémů, které mohou ve svém složení obsahovat velké množství drobných optických elementů v podobě čoček, hrancolů a zrcadel. Velkou předností rastrovacích elektronových mikroskopů je to, že jejich pomocí můžeme získat mnoho různých, doplňujících informací. REM dovoluje sledovat mikrorelief bez předchozí přípravy objektu, získat informace o chemickém složení hmoty, provést množství analýz atd. V nynější době je vytvořeno několik druhů REM, které se od sebe odlišují jak podle stavby, tak podle označení:

1. s žhavenou katodou
2. s autoemisní tryskou
3. emisí
4. rentgenové
5. kombinace předchozích

My jsme použili REM BS 300, jímž je vybavena KMF textilní fakulty na VŠST v Liberci.

Vzhledem k velkému vytížení REM byly zkoumány jen vybrané vzorky /A1, A4, A7, A10, B1, B4, B7, B10/, které byly obrobeny posuvovou rychlostí $s = 375 \text{ mm} \cdot \text{min}^{-1}$.

Výsledkem zkoumání byly fotografie, které jsou uvedeny v příloze č. 13.

7. VÝSLEDKY A VYHODNOCENÍ MĚŘENÍ

Na vypracovaných vzorcích byly měřeny tyto charakteristiky povrchové vrstvy:

- drsnost povrchu
- morfologie povrchu
- hloubka a stupeň zpevnění
- zbytková napětí v povrchové vrstvě.

7.1. Drsnost povrchu

Měřením byly zjištěny hodnoty, které jsou uvedeny v příloze č. 11. Pro vyhodnocení drsnosti povrchu slouží grafické závislosti R_a / R_m na posuvové rychlosti, jež jsou uvedeny na obr. 15 - 22. Z těchto závislostí vyplývá:

1. Rozsah příčné drsnosti povrchu pro sousledné frézování

$$R_a = 0,85 - 1,60 \text{ } \mu\text{m}$$

$$R_m = 4,5 - 10,2 \text{ } \mu\text{m}$$

2. Rozsah příčné drsnosti povrchu pro nesousledné frézování

$$R_a = 0,78 - 1,50 \text{ } \mu\text{m}$$

$$R_m = 4,5 - 10,3 \text{ } \mu\text{m}$$

3. Rozsah podélné drsnosti /vlnitosti/ povrchu pro sousledné frézování

$$R_a = 0,48 - 1,50 \text{ } \mu\text{m}$$

$$R_m = 1,60 - 6,90 \text{ } \mu\text{m}$$

4. Rozsah podélné drsnosti /vlnitosti/ povrchu pro nesousledné frézování

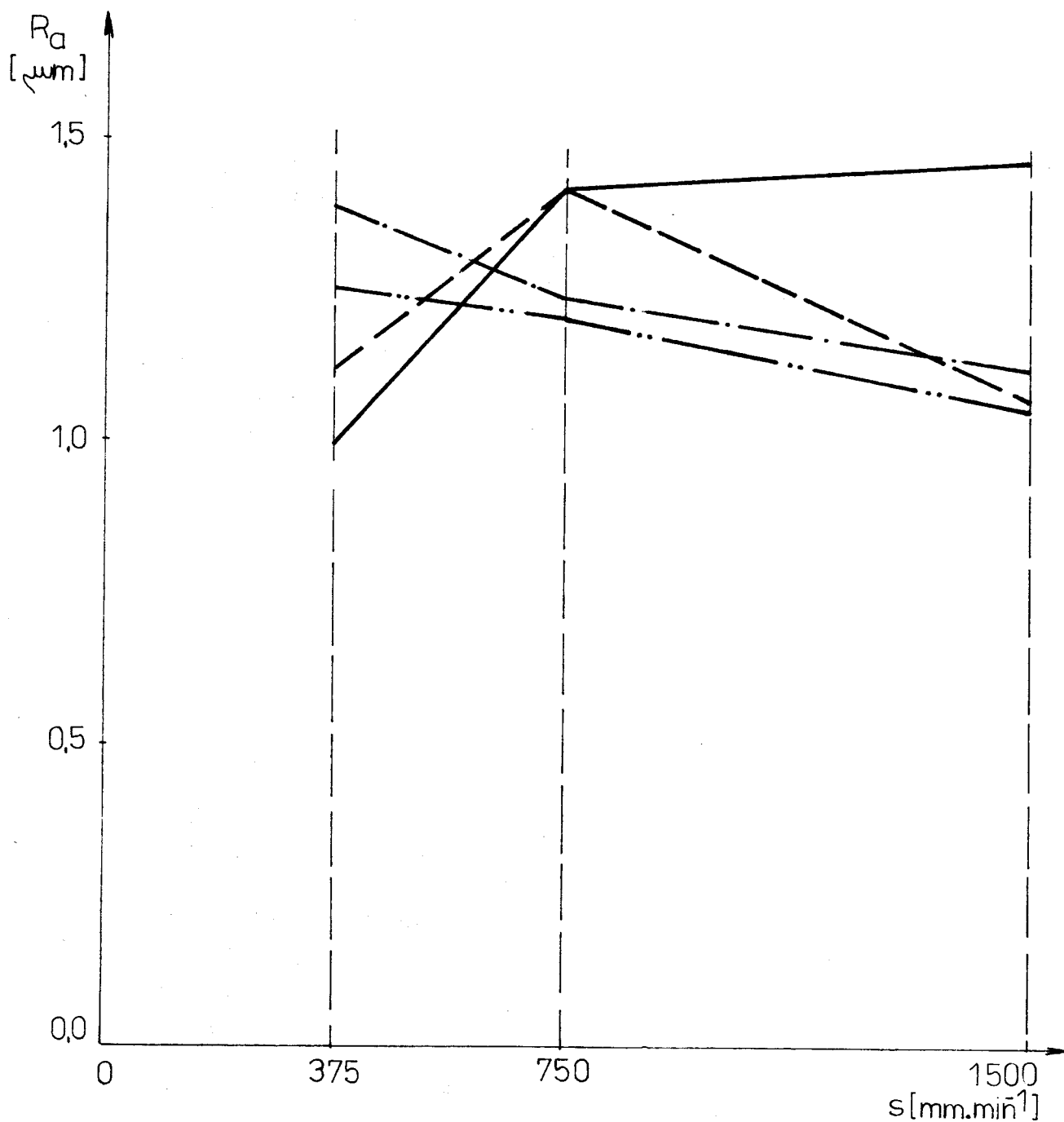
$$R_a = 0,20 - 1,70 \text{ } \mu\text{m}$$

$$R_m = 1,0 - 10,2 \text{ } \mu\text{m}$$

5. a/ pro příčnou drsnost povrchu / R_a i R_m / jsou hodnoty téměř shodné. Rozdíl je pouze při posuvu $s = 750 \text{ mm} \cdot \text{min}^{-1}$ pro sousledné frézování, kde jsou hodnoty R_z nižší o $0,12 - 0,45 \mu\text{m}$;

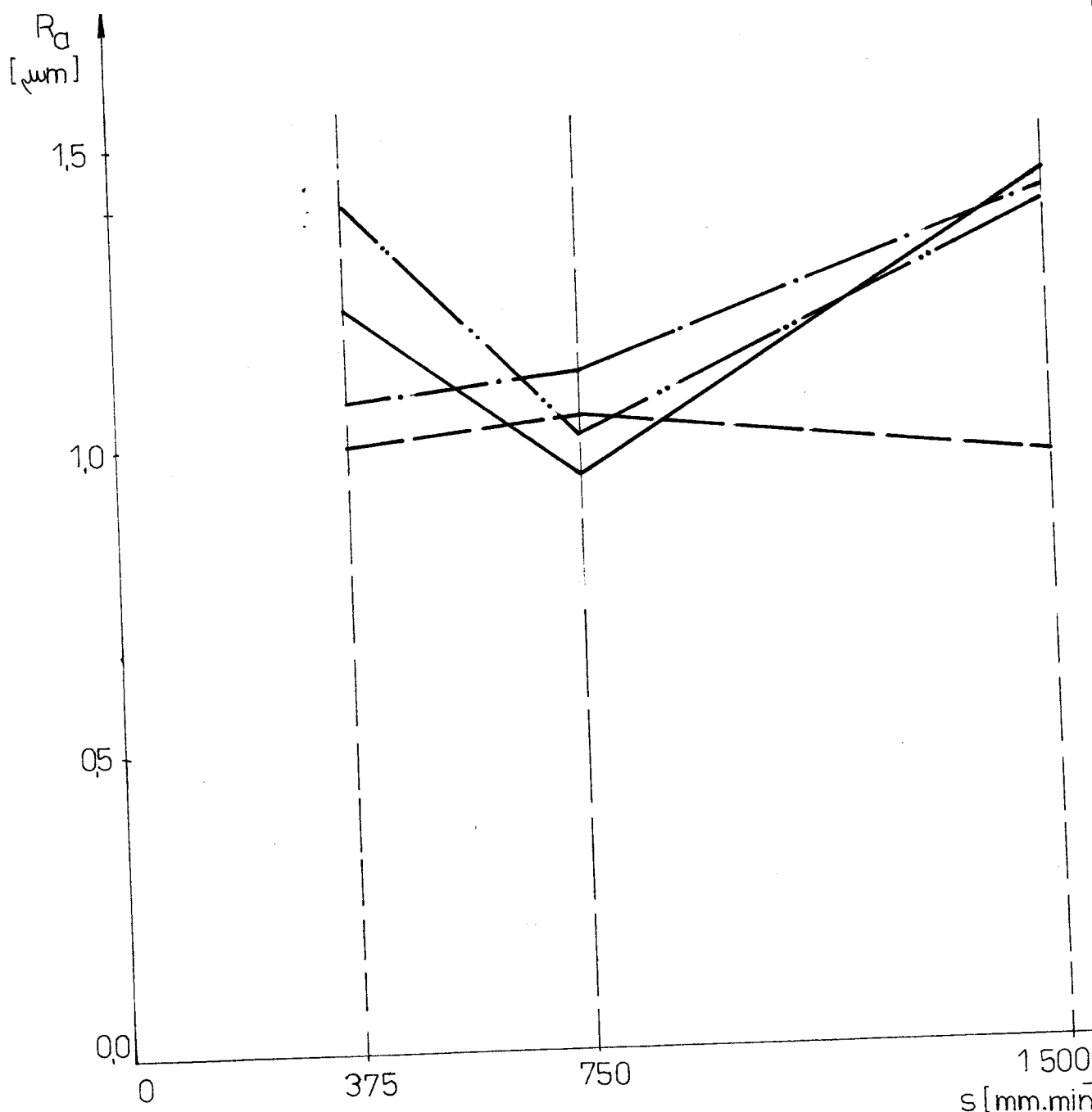
- b/ pro vlnitost povrchu jsou hodnoty R_a téměř shodné, avšak hodnoty R_m mají menší interval hodnot pro sousledné frézování.

————— $n = 3000 \text{ min}^{-1}$, $h = 0,5 \text{ mm}$
 - - - - $n = 9000 \text{ min}^{-1}$, $h = 0,5 \text{ mm}$
 - - - - $n = 3000 \text{ min}^{-1}$, $h = 4 \text{ mm}$
 - - - - $n = 9000 \text{ min}^{-1}$, $h = 4 \text{ mm}$



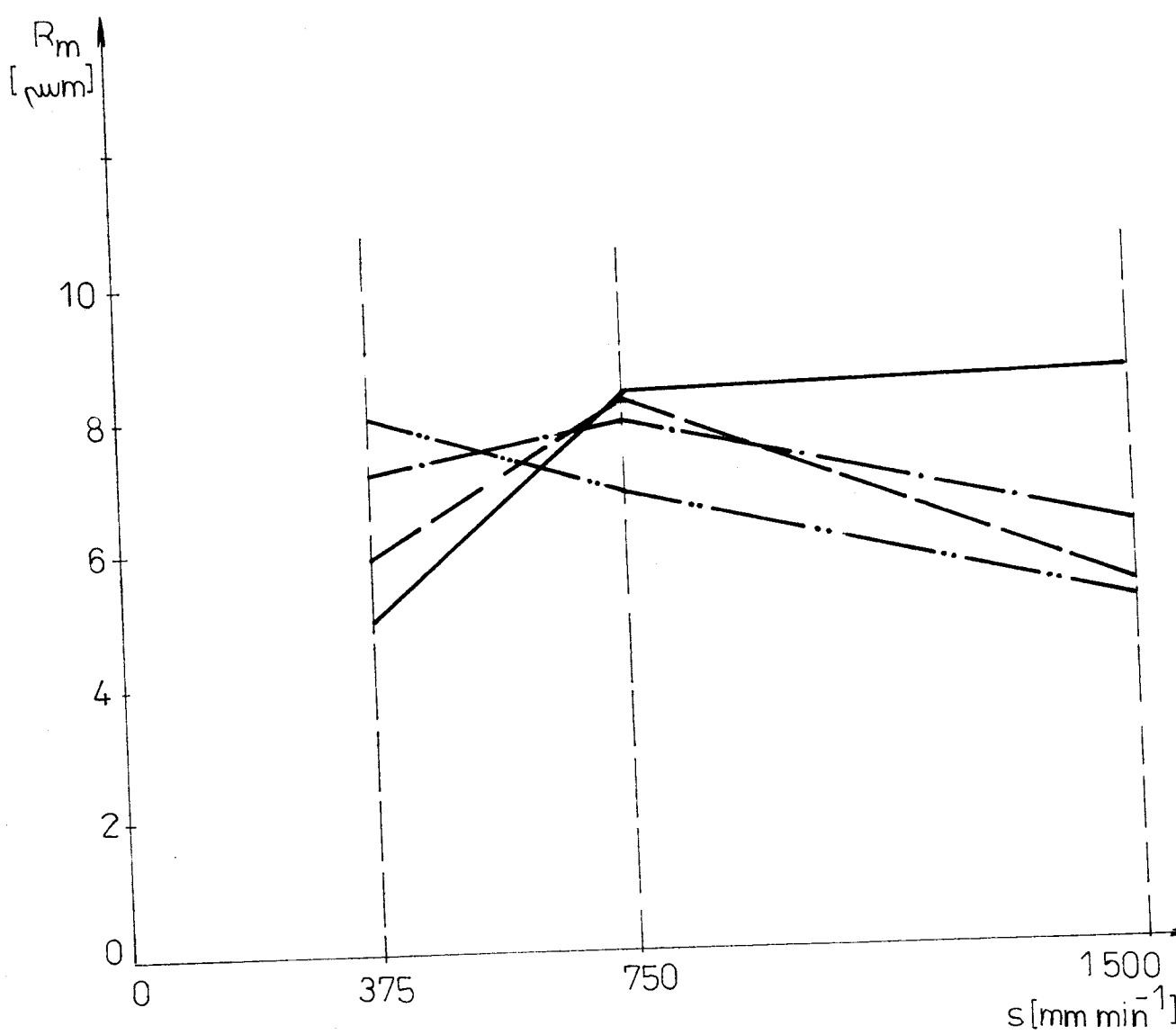
Obr. 15 - Závislost příčné Ra na posuvové rychlosti -
nesousledné frézování

————— $n = 3\ 000 \text{ min}^{-1}$, $h = 0,5 \text{ mm}$
 - - - - $n = 9\ 000 \text{ min}^{-1}$, $h = 0,5 \text{ mm}$
 - - - - $n = 3\ 000 \text{ min}^{-1}$, $h = 4 \text{ mm}$
 - - - - $n = 9\ 000 \text{ min}^{-1}$, $h = 4 \text{ mm}$



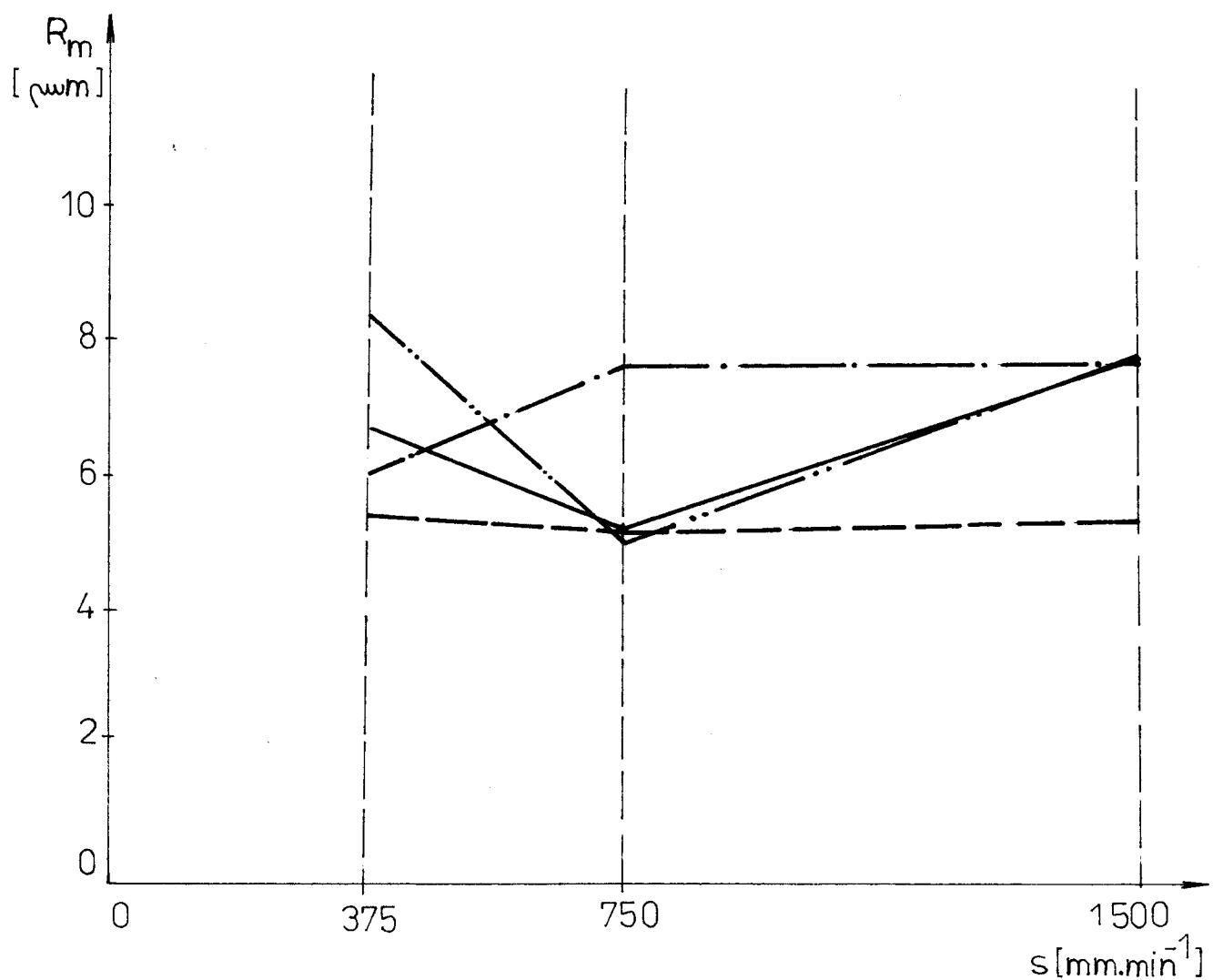
Obr. 16. - Závislost příčné R_a na posuvové rychlosti –
sousledné frézování

_____ $n = 3\ 000 \text{ min}^{-1}$, $h = 0,5 \text{ mm}$
 _____ $n = 9\ 000 \text{ min}^{-1}$, $h = 0,5 \text{ mm}$
 _____. $n = 3\ 000 \text{ min}^{-1}$, $h = 4 \text{ mm}$
 _____ $n = 9\ 000 \text{ min}^{-1}$, $h = 4 \text{ mm}$



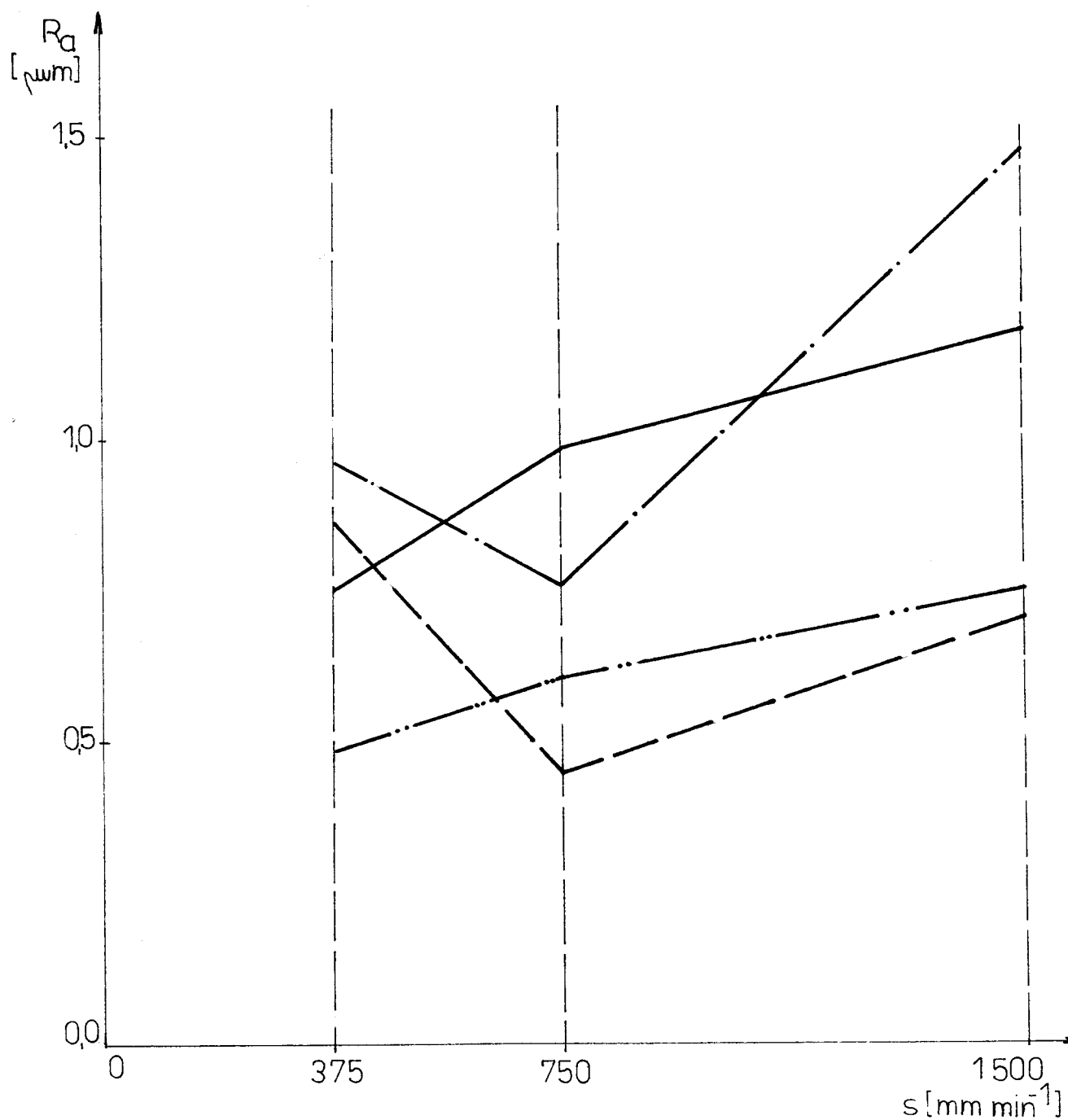
Obr. 17 - Závislost přečné R_m na posuvové rychlosti -
nesousledné frézování

————— $n = 3\ 000 \text{ min}^{-1}$, $h = 0,5 \text{ mm}$
 - - - - $n = 9\ 000 \text{ min}^{-1}$, $h = 0,5 \text{ mm}$
 - . - - $n = 3\ 000 \text{ min}^{-1}$, $h = 4 \text{ mm}$
 - - - - $n = 9\ 000 \text{ min}^{-1}$, $h = 4 \text{ mm}$



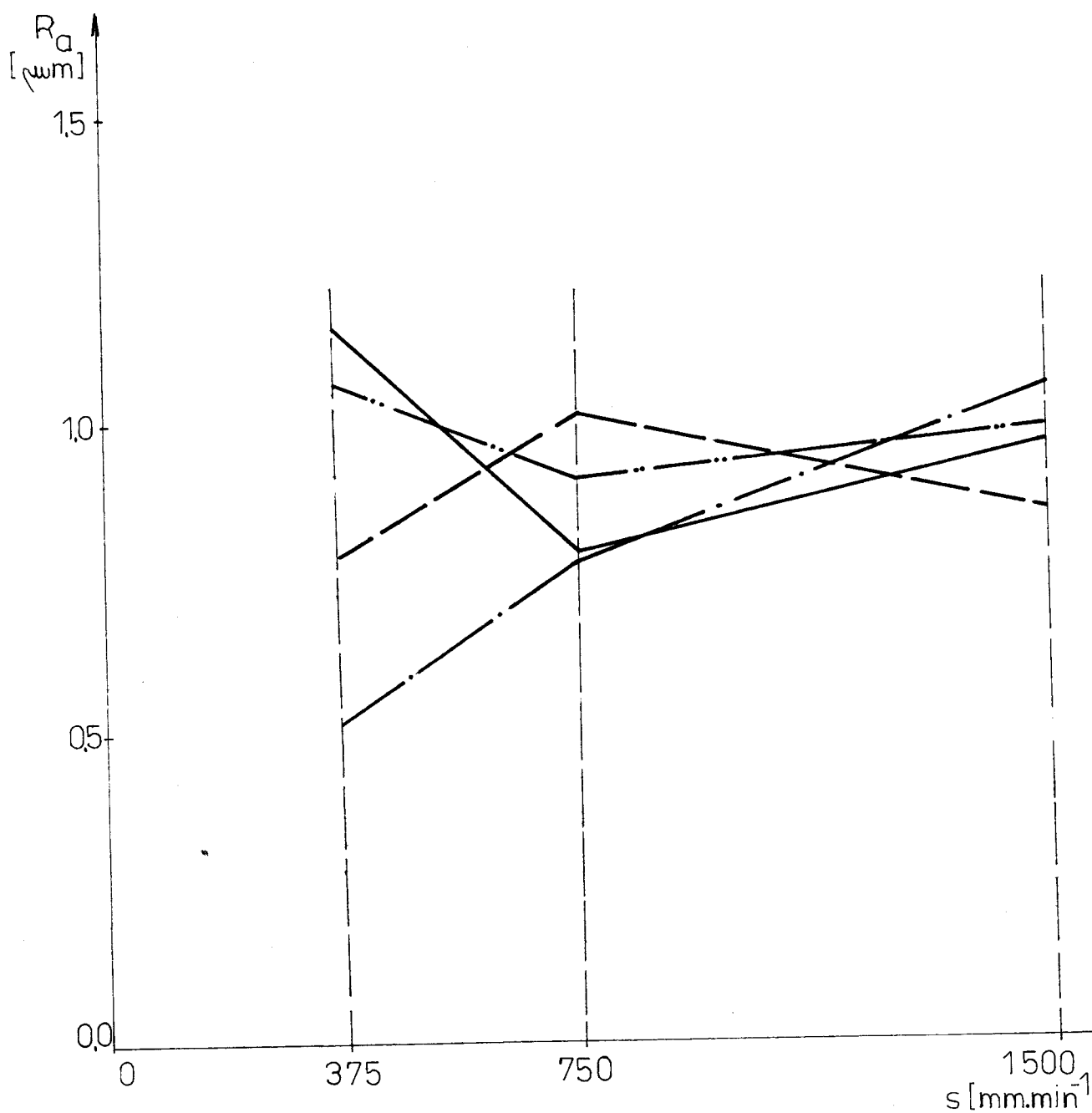
Obr. 18 - Závislost příčné R_m na posuvové rychlosti - sousledné frézování

—— $n = 3\ 000 \text{ min}^{-1}$, $h = 0,5 \text{ mm}$
 - - - $n = 9\ 000 \text{ min}^{-1}$, $h = 0,5 \text{ mm}$
 - · - $n = 3\ 000 \text{ min}^{-1}$, $h = 4 \text{ mm}$
 - · - $n = 9\ 000 \text{ min}^{-1}$, $h = 4 \text{ mm}$



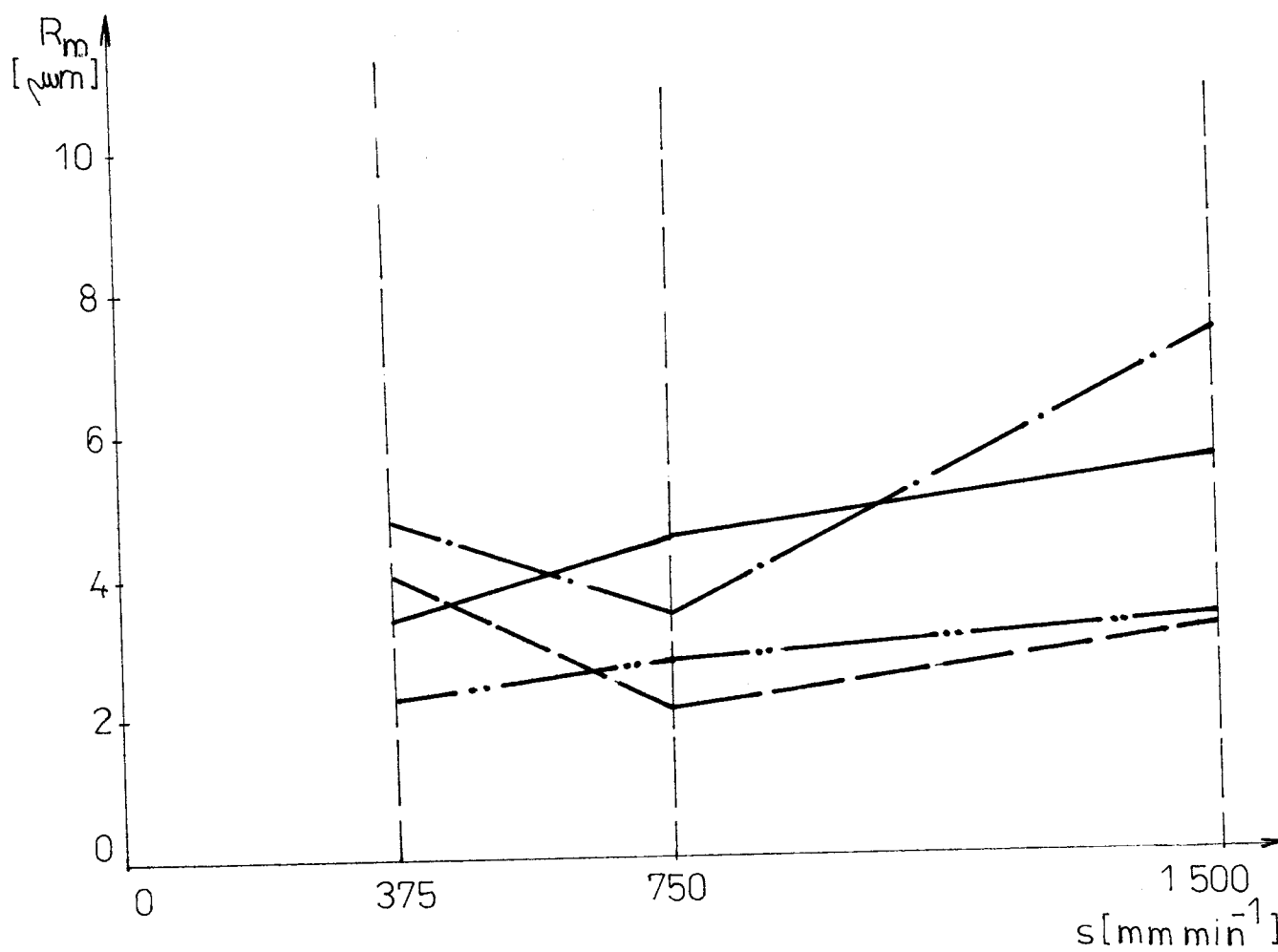
Obr. 19 - Závislost podélné R_a na posuvové rychlosti -
nesousledné frézování

————— $n = 3\ 000 \text{ min}^{-1}$, $h = 0,5 \text{ mm}$
 - - - - $n = 9\ 000 \text{ min}^{-1}$, $h = 0,5 \text{ mm}$
 ————— $n = 3\ 000 \text{ min}^{-1}$, $h = 4 \text{ mm}$
 - - - - $n = 9\ 000 \text{ min}^{-1}$, $h = 4 \text{ mm}$



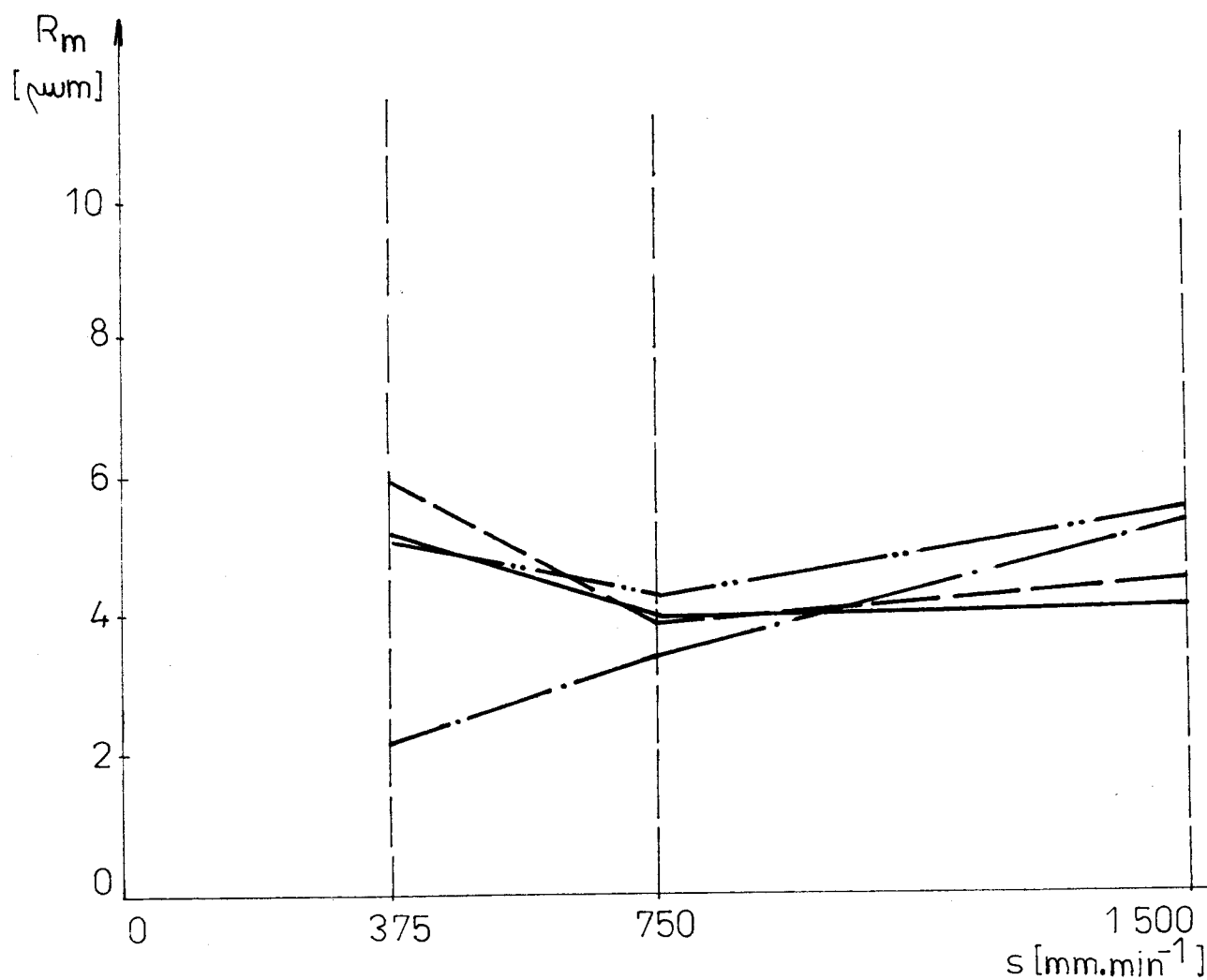
Obr. 20 - Závislost podélné Ra na posuvové rychlosti -
sousledné frézování

————— $n = 3\ 000 \text{ min}^{-1}$, $h = 0,5 \text{ mm}$
 - - - - $n = 9\ 000 \text{ min}^{-1}$, $h = 0,5 \text{ mm}$
 - - - - $n = 3\ 000 \text{ min}^{-1}$, $h = 4 \text{ mm}$
 - - - - $n = 9\ 000 \text{ min}^{-1}$, $h = 4 \text{ mm}$



Obr. 21 - Závislost podélné R_m na posuvové rychlosti –
nesousledné frézování

_____ $n = 3\ 000 \text{ min}^{-1}$, $h = 0,5 \text{ mm}$
 _____ $n = 9\ 000 \text{ min}^{-1}$, $h = 0,5 \text{ mm}$
 _____. ____ $n = 3\ 000 \text{ min}^{-1}$, $h = 4 \text{ mm}$
 _____. ____ $n = 9\ 000 \text{ min}^{-1}$, $h = 4 \text{ mm}$



Obr. 22 - Závislost podélné R_m na posuvové rychlosti - sousledné frézování

6. Řezné podmínky nejkvalitnějšího povrchu z hlediska drsnosti povrchu:

a/ pro sousledné frézování - příčná drsnost Ra

$$h = 0,5 \text{ mm}$$

$$n = 3\ 000 \text{ min}^{-1}$$

$$s = 750 \text{ mm} \cdot \text{min}^{-1}$$

- příčná drsnost Rm

$$h = 4 \text{ mm}$$

$$n = 9\ 000 \text{ min}^{-1}$$

$$s = 750 \text{ mm} \cdot \text{min}^{-1}$$

b/ pro nesousledné frézování je příčná drsnost Ra i Rm minimální při těchto řezných podmínkách:

$$h = 0,5 \text{ mm}$$

$$n = 3\ 000 \text{ min}^{-1}$$

$$s = 375 \text{ mm} \cdot \text{min}^{-1}$$

c/ pro sousledné frézování je podélná drsnost /vlnitost/ Ra i Rm minimální při těchto řezných podmínkách:

$$h = 4 \text{ mm}$$

$$n = 9\ 000 \text{ min}^{-1}$$

$$s = 375 \text{ mm} \cdot \text{min}^{-1}$$

d/ pro nesousledné frézování je podélná drsnost Ra i Rm minimální při těchto řezných podmínkách:

$$h = 4 \text{ mm}$$

$$n = 9\ 000 \text{ min}^{-1}$$

$$s = 375 \text{ mm} \cdot \text{min}^{-1}$$

7.2. Morfologie povrchu

Morfologie je nauka o tvarech /19/. Pod pojmem morfologie povrchu tedy uvažujeme takový způsob hodnocení kvality obroběného povrchu, který je orientován na posuzování tvarových odchylek ofrézovaného povrchu vzorků.

Výsledkem hodnocení morfologie povrchu byly fotografie, které jsou uvedeny v příloze č. 12 /pro mikroskop Neophot/ a č. 13 /pro REM/. Přiřazení řezných podmínek k vzorkům je uvedeno v příloze č. 10.

Pro hodnocení morfologie povrchu byla zvolena tato kritéria:

- vzdálenost stop po obrábění
- barevné odstíny jednotlivých stop.

Pro hodnocení morfologie povrchu na velkém, kamerovém mikroskopu Neophot při zvětšení 60x a šikmém osvětlení můžeme vysledovat tyto závěry:

1. Porovnáváme vzorky o stejné hloubce řezu a stejných otáčkách pro sousedné frézování

a/ $n = 3\ 000\ min^{-1}$, $h = 0,5\ mm$ /A1 - A3/ z fotografií vyplývá, že vzorek A1 má stopy po obrábění jemné a relativně blízko u sebe. Vzhledem k rovnoramennosti rozložení tmavých a světlých stop na fotografii bylo usouzeno, že jednotlivé stopy mají různou hloubku. Vzorek A3 a A1 mají povrch srovnatelný, ale povrch vzorku A1 se jeví kvalitnější. Vzorek A2 má širší stopy po obrábění a vzhledem k tomu, že hloubka jednotlivých stop se jeví přibližně stejná, bylo usouzeno, že povrch vzorku A2 je kvalitnější než u vzorků A1 a A3;

b/ $n = 9\ 000\ min^{-1}$, $h = 0,5\ mm$ /A4 - A6/ ... již při prvním pohledu na fotografii těchto vzorků bylo zřetelně vidět, že vzorek A4 má z těchto tří vzorků nejkvalitnější povrch;

c/ $n = 3\ 000\ min^{-1}$, $h = 4\ mm$ /A7 - A9/ při hlubším prozkoumání bylo dosaženo závěru, že vzorek A8 má v této skupině vzorků nejdokonalejší povrch, poněvadž stopy po obrábění jsou jemné a hloubka těchto stop se jeví oproti ostatním vzorkům /A7, A9/ v nejmenším intervalu;

d/ $n = 9\ 000 \text{ min}^{-1}$, $h = 4 \text{ mm}$ /A10 - A12/ u těchto vzorků je patrné, že vzorky A10 a A11 mají stejnou vzdálenost a hloubku stop po obrobení. Tím bylo dosaženo závěru, že oba tyto vzorky mají kvalitnější povrch než vzorek A12.

2. Porovnáváme vzorky o stejných otáčkách pro sousledné frézování

a/ $n = 3\ 000 \text{ min}^{-1}$... při porovnávání dvojice A1 a A7, A2 a A8, A3 a A9 bylo vidět z fotografií, že u vzorků, které byly obrobeny při vyšší hloubce řezu, se zvýšil rozdíl hloubky jednotlivých stop po obrábění. Nejkvalitnější se jeví povrch vzorku A2.

b/ $n = 9\ 000 \text{ min}^{-1}$... také při porovnání dvojic A4 a A10, A5 a A11, A6 a A12 bylo vidět, že vzorky, které byly obrobeny při vyšší hloubce řezu, mají vyšší rozdíl hloubky jednotlivých stop po obrábění. Nejzřetelněji to bylo znatelné na dvojici A6 a A12.

3. Porovnání vzorků, které byly obrobeny sousledným frézováním.

Jako vzorky s nejkvalitnějším povrchem se jeví vzorky A2 a A4, které mají téměř shodnou rozteč stop a hloubka těchto stop se jeví přibližně shodná k ostatnímu povrchu obroběného materiálu.

4. Porovnávání vzorků o stejné hloubce řezu a otáčkách pro nesousledné frézování

a/ $n = 3\ 000 \text{ min}^{-1}$, $h = 0,5 \text{ mm}$ /B1 - B3/ ... při podrobnějším prohlédnutí vzorků bylo zřetelně vidět, že nejkvalitnější povrch z těchto tří vzorků má vzorek B1;

b/ $h = 9\ 000 \text{ min}^{-1}$, $h = 0,5 \text{ mm}$ /B4 - B6/ ... vzorky B4 a B5 mají přibližně stejnou rozteč a hloubku stop po obrobení, tudíž i stejnou kvalitu obroběné plochy, která je kvalitnější oproti vzorku B6;

c/ $n = 3\ 000\ min^{-1}$, $h = 4\ mm$ /B7 - B9/ ... vzorky mají přibližně stejnou rozteč a hloubku jednotlivých stop po obrábění. Rozdíl hloubky jednotlivých stop je značný, proto bylo usouzeno, že se ječná o méně kvalitně obrobený povrch, přičemž nejlepší se jeví povrch vzorku B7;

d/ $n = 9\ 000\ min^{-1}$, $h = 4\ mm$ /B10 - B12/ ... již při prvním pohledu na tyto vzorky je vidět, že nejkvalitnější vzorek z hlediska rozdílnosti hloubky stop po obrobení je vzorek B11.

5. Porovnáváme vzorky o stejných otáčkách pro nesousledné frézování

a/ $n = 3\ 000\ min^{-1}$... při porovnání dvojic vzorků B1 a B7, B2 a B8, B3 a B9 bylo vidět, že u vzorků, které byly obrobeny při vyšší hloubce řezu, se zvýšil rozdíl hloubky jednotlivých stop po obrábění. Na vzorcích B3, B8, B9 byla zřetelně viditelná vlnitost povrchu, která se na fotografii projevila světlými příčnými pruhy;

b/ $n = 9\ 000\ min^{-1}$... při porovnání dvojic vzorků B4 a B10, B5 a B11, B6 a B12 bylo vidět, že u vzorků, které byly obrobeny při vyšší hloubce řezu, se zvýšil rozdíl hloubky jednotlivých stop po obrábění. Na vzorcích je patrná vlnitost povrchu materiálu. Nejkvalitněji obrobený povrch se jeví u vzorku B11.

6. Porovnání vzorků, které byly obrobeny nesousleďným frézováním

Jako nejkvalitněji obrobený vzorek se jeví vzorek B1.

7. Porovnání vzorků obrobených sousledným a nesousleďným frézováním

Jestliže porovnáváme oba způsoby frézování z hlediska morfologie povrchu, pak nutně dojdeme k závěru, že pro slitinu AlCu4Mg1 je povrch obrobeného materiálu kvalitnější při sousledném frézování, především z hlediska vlnitosti obrobeného povrchu.

Pro hodnocení morfologie povrchu na REM při zvětšení 2 000x, 10 000x, můžeme vysledovat tyto závěry:

1. Sousledné frézování - z fotografií je přímo vidět směr obrábění
 - a/ $n = 3\ 000\ min^{-1}$ - povrch obrobeného materiálu je značně potrhaný;
 - b/ $n = 9\ 000\ min^{-1}$ - povrch, který je ofrézovaný těmito otáčkami, je také potrhaný, ale tyto "trhlinky" jsou z hlediska rozložení a hloubky trhlin menší, než u vzorků obrobených otáčkami $n = 3\ 000\ min^{-1}$. U těchto vzorků jsou ve stopách po obrobění kulovité části, které nemohou být prozkoumány, protože zvětšení REM na toto prozkoumání nestačí.
2. Nesousledné frézování - z fotografií není přímo vidět směr obrábění
 - a/ $h = 0,5\ mm$ - obrobený povrch materiálu je potrhaný pouze ojediněle. Ve stopách po obrábění jsou též kulovité části;
 - b/ $h = 4\ mm, n = 3\ 000\ min^{-1}$ - tento povrch materiálu se jeví jako nejkvalitnější jak z hlediska trhlin, tak z hlediska šířky a hloubky stop po obrábění;
 - c/ $h = 4\ mm, n = 9\ 000\ min^{-1}$ - povrch obrobený těmito řeznými rychlostmi je ojediněle potrhaný, ale hlavně zde došlo k jevu, že oddělený materiál byl jakoby naplácnut na obrobený povrch.
3. Porovnání sousledného a nesousledného frézování
Z hlediska pozorování morfologie na REM se jeví jako kvalitnější způsob obrábění nesousledné frézování. Povrch tímto způsobem obrobený má jemnější stopy po obrábění a ojediněle potrhaný povrch. Jako vzorek s nejlépe obroběným povrchem se jeví vzorek A7 / $n = 3\ 000\ min^{-1}, h = 4\ mm, s = 375\ mm \cdot min^{-1}$.

7.3. Zpevnění povrchové vrstvy a zbytkové pnutí

Měření zbytkových pnutí bylo realizováno v zařízeních katedry obrábění a montáže VŠST Liberec.

Výsledky tohoto měření jsou uvedeny v diplomové práci Pavla Sládkovského : " Vliv řezných podmínek při válcovém frézování Al - slitin na napjatost a zpevnění povrchové vrstvy po obrábění." , která byla vypracována v roce 1987 na VŠST v Liberci.

8. ZÁVĚR

Úkolem této diplomové práce bylo:

1. Průzkum současného stavu řešené problematiky
2. Obrobiteľnosť hliníkových slitin
3. Určení metodiky zkoušek pro zkoumání povrchových vrstev obrobků ze slitin hliníku
4. Vyhodnocovanie morfologie povrchu.

V průzkumu současného stavu řešení problematiky jsem zjistila, že problematiku hodnocení morfologie povrchu u Al - slitin nikdo podrobně nezkoumal.

Obrobiteľnosť hliníkových slitin je závislá především na chemickém složení těchto slitin. Velmi důležitou otázkou je volba řezných podmínek a obráběcího stroje, na kterém doporučené hodnoty řezných podmínek dosahujeme. Problematicu volby řezných podmínek jsem studovala z dostupné literatury a na základě této studie a zkoušek, které byly provedeny v roce 1986, byly zvoleny tyto hodnoty:

$$\begin{aligned} n &= 3\ 000; \quad 9\ 000 \text{ ot}.\text{min}^{-1} \\ s &= 375, \quad 750, \quad 1\ 500 \text{ mm}.\text{min}^{-1} \\ h &= 0,5; \quad 4 \text{ mm} \end{aligned}$$

Přiřazení řezných podmínek k jednotlivým vzorkům je uvedeno v příloze č. 10.

Příprava vzorků se prováděla dle odběrového plánu /příloha č. 9/.

Vlastní frézování vzorků bylo provedeno v n. p. Rudý Letov v Praze na frézce FNL OS NC, která se používá pro frézování hliníkových slitin vysokými řeznými rychlostmi.

Hlavním úkolem této diplomové práce bylo měření a vyhodnocení morfologie povrchu a drsnosti povrchu Al - slitin.

Pro měření drsnosti povrchu slitiny AlCu4Mgl byl použit přístroj HOMMEL TESTIR T3, který má volitelnou délku měrného intervalu. Protože rozteč podélné drsnosti u některých vzorků je až 1,6 mm byl interval podélné drsnosti volen 6,3 mm a příčné drsnosti 2 mm. Naměřené hodnoty podélné a příčné drsnosti jsou uvedeny v příloze č. 11.

Při hodnocení morfologie povrchu slitiny AlCu4Mgl na mikroskopu NEOPHOT jsem vyfotografovala všech dvacet čtyři vzorků. Fotografie těchto vzorků neumožňují v dostatečné míře vyhodnocení odlišnosti morfologie povrchu. Z těchto fotografií můžeme usuzovat pouze na kvalitu povrchu z hlediska příčné drsnosti, u některých vzorků i z hlediska podélné drsnosti. Posuzování morfologie povrchu na těchto fotografiích není vhodné, protože se dosahuje zvětšení, které je pro porovnání vlnitosti moc velké a pro porovnání morfologie povrchu moc malé.

Závěry, které plynou z měření na mikroskopu NEOPHOT jsou měřením na REM zcela vyvráceny.

Při hodnocení morfologie povrchu slitiny AlCu4Mgl na rastrovacím elektronovém mikroskopu jsme pozorovali jen vybrané vzorky /A1, A4, A7, A10, B1, B4, B7, B10/, které byly zkoumány bod po bodu měřeného vzorku. Místa, která byla charakteristická pro celý vzorek, jsme vyfotografovali. Při tomto měření se skutečně zkoumá morfologie povrchu a na první pohled je z tchoto hodnocení vidět, co za tvary olchyly na obroběném povrchu jsou.

Výsledkem pozorování bylo, že nesousledné frézování je z hlediska hodnocení morfologie povrchu lepší, než sousledné frézování. Avšak zůstává zde problém: "Co jsou kulovité tvary?" Jak bylo uvedeno v předchozích kapitolách, REM není schopen dosáhnout takových zvětšení, aby chom zjistili tuto skutečnost.

Na tuto otázku může odpovědět pouze analytický mikroskop, který vlastní například Akademie věd Praha. My jsme mohli pouze vyslovit hypotézy, které udávají, čím jsou kulovité tvary vytvořeny:

- flíčky po odpaření mlhy,
- vzhledem k vysokým rychlostem /tlakům/ mohlo dojít k místnímu natavení jedné z fází AlCu₄Mg₁
- nečistoty na povrchu materiálu.

Pro další měření bych doporučovala:

1. Zvětšit interval měření drsnosti, z toho vyplývá měření drsnosti povrchu na větších vzorcích.
2. Morfologii povrchu pozorovat:
 - a/ pouhým okem nebo za pomoci lupy o zvětšení 5x - 10x;
 - b/ pomocí REM při zvětšeních, která byla použita /2 000x, 10 000x/;
 - c/ pomocí analytického mikroskopu vyřešit problematiku kulovitých částí.

Tato diplomová práce je součástí státního úkolu a bude tudíž problematika vyhodnocování morfologie povrchu a drsnosti povrchu dále zkoumána.

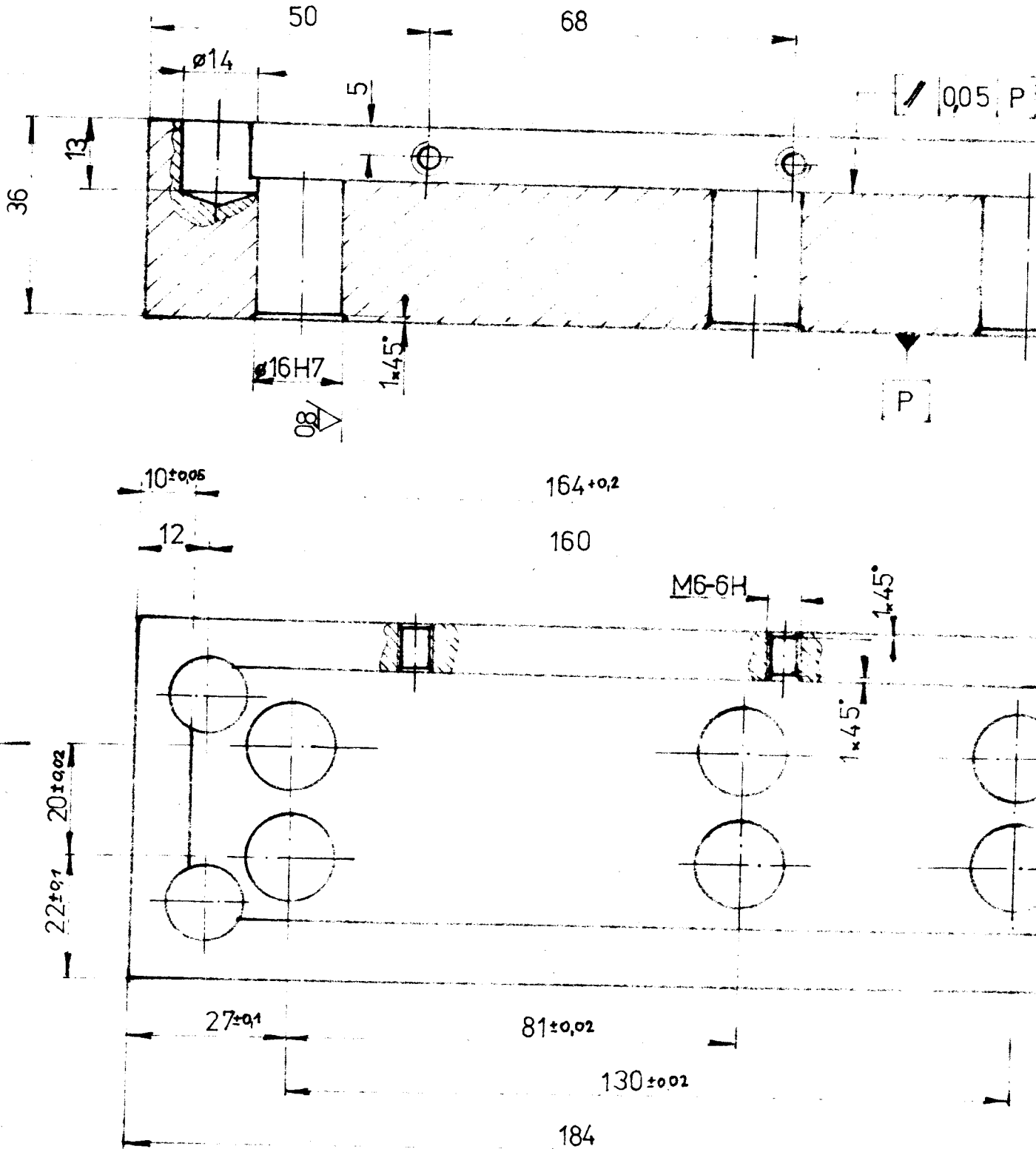
Závěrem bych chtěla poděkovat pracovníkům KOM VŠST Liberec, zvláště vedoucímu diplomové práce Ing. J. Jercákovi, za odborné rady a cenné připomínky k diplomové práci a s. Z. Heligarové za pomoc při realizaci experimentální části. Dále bych chtěla poděkovat Ing. J. Staňkovi, CSc, pracovníkovi KMP VŠST Liberec za pomoc při realizaci experimentální části a Doc. Ing. J. Horynevi, CSc, za odborné rady.

Na závěr bych chtěla poděkovat pracovníkům n. p. Rudý Letov za umožnění obrobení vzorků, zvláště pak Ing. Zvěřinovi.

9. POUŽITÁ LITERATURA

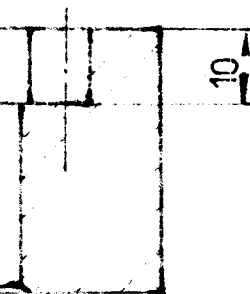
- /1/ Kolektiv: Príručka o kliníku, Praha, SNTL, 1969
- /2/ Roček, V.: Príručka obrábění, Praha, SNTL, 1973
- /3/ Autor neuveden: Revue de L'Aluminium, Principaux facteurs d'usinage, 1982, č. 521, s. 419 - 422
- /4/ Budá, J. - Békéš, J.: Teoretické základy obrábania kovov, SNTL - ALFA, 1977
- /5/ Schmdeckel, D., Arnold, W., Scherer, J.: VDI-Z, 122, 1980, s. 243
- /6/ Bobek, V.: Frézování Al - slitin frézami a vyměnitelnými břitovými destičkami ze slinutých karbidů /Diplomová práce/, Liberec, 1981, VŠST, Fakulta strojní
- /7/ Kahles, J., F., McGel, F., J.: American Mechanist, 1979, s. 115
- /8/ Nielsen, H., Haufmagel, W., Cahoulis, G.: Aluminium využije splavy, Moskva, 1979
- /9/ Aliminium - Aluminyj, Moskva, 1972
- /10/ Věda a technika v zahraničí, 21, 1985, č. 17, s. 66
- /11/ Jakobson, M., O.: Šerochoratost, naklep i ostatočnyje naprjaženija pri mehaničeskoj obrabotke, 1956
- /12/ Rohmann, W.: Industrie anzeiger, 106, 1984, č. 87, s. 59
- /13/ Mašín, I.: Obrábění Al - slitin válcovým frézováním /Diplomová práce/ Liberec, 1986, VŠST, Fakulta strojní
- /14/ Dráb, V.: Technologie I, VŠST, Liberec, 1985
- /15/ Přikryl, Z., Musílková, R.: Teorie obrábění, SNTL - ALFA, Praha, 1982
- /16/ Nikl, I.: Vznik a měření zbytkových pnutí, SVCČ, VŠST, Liberec, 1983
- /17/ Novák, A.: I 144 - VL 338 - 73, VÚVL, Brno
- /18/ Gvozdover, R., S., Komolovoj, L., F.: Rastrovač elektronnaja mikroskopija i rentgenovskij mikroanaliz, perevod s anglicko, Moskva, Mir, 1987
- /19/ Klimeš, L.: Slovník cizích slov, SPM, Praha 1981

- /20/ Kvapil, R., Průšek, A., Jersák, J.: Vliv podmínek obrábění na stav povrchu při čelním a válcovém frézování Al - slitin, výzkumná zpráva, VŠST Liberec, 1986
- /21/ Sladkovský, P.: Vliv řezných podmínek při válcovém frézování Al - slitin na napjatost a zpevnění povrchové vrstvy po obrábění /Diplomová práce/, Liberec, 1987, VŠST, Fakulta strojní



32 (V)

C-C



12

40

10

44.5

C

64

1 70x40x188

ČSN425522 11373.0

001

SLADKOVSKÝ *Radek*

1:1

19.2.1987

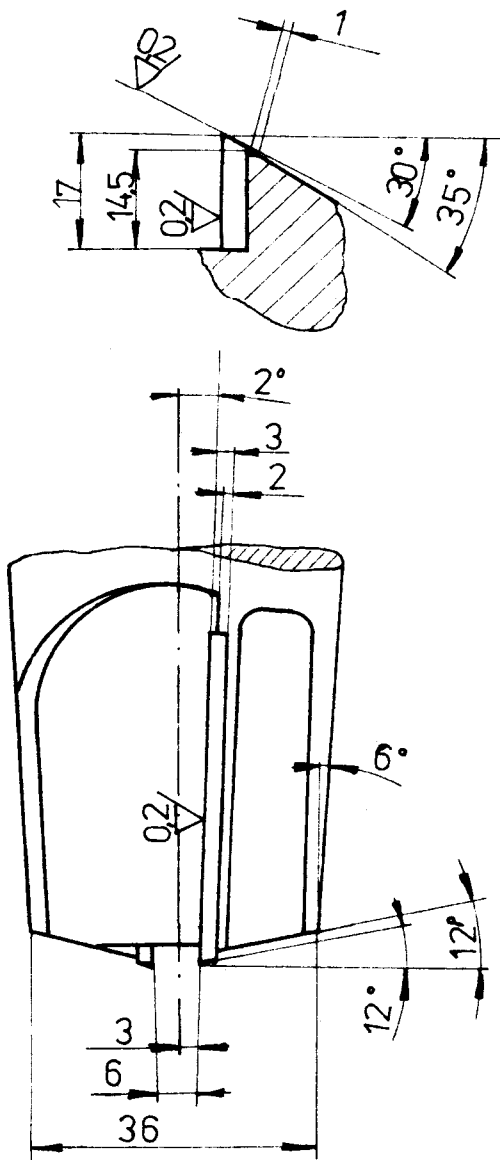
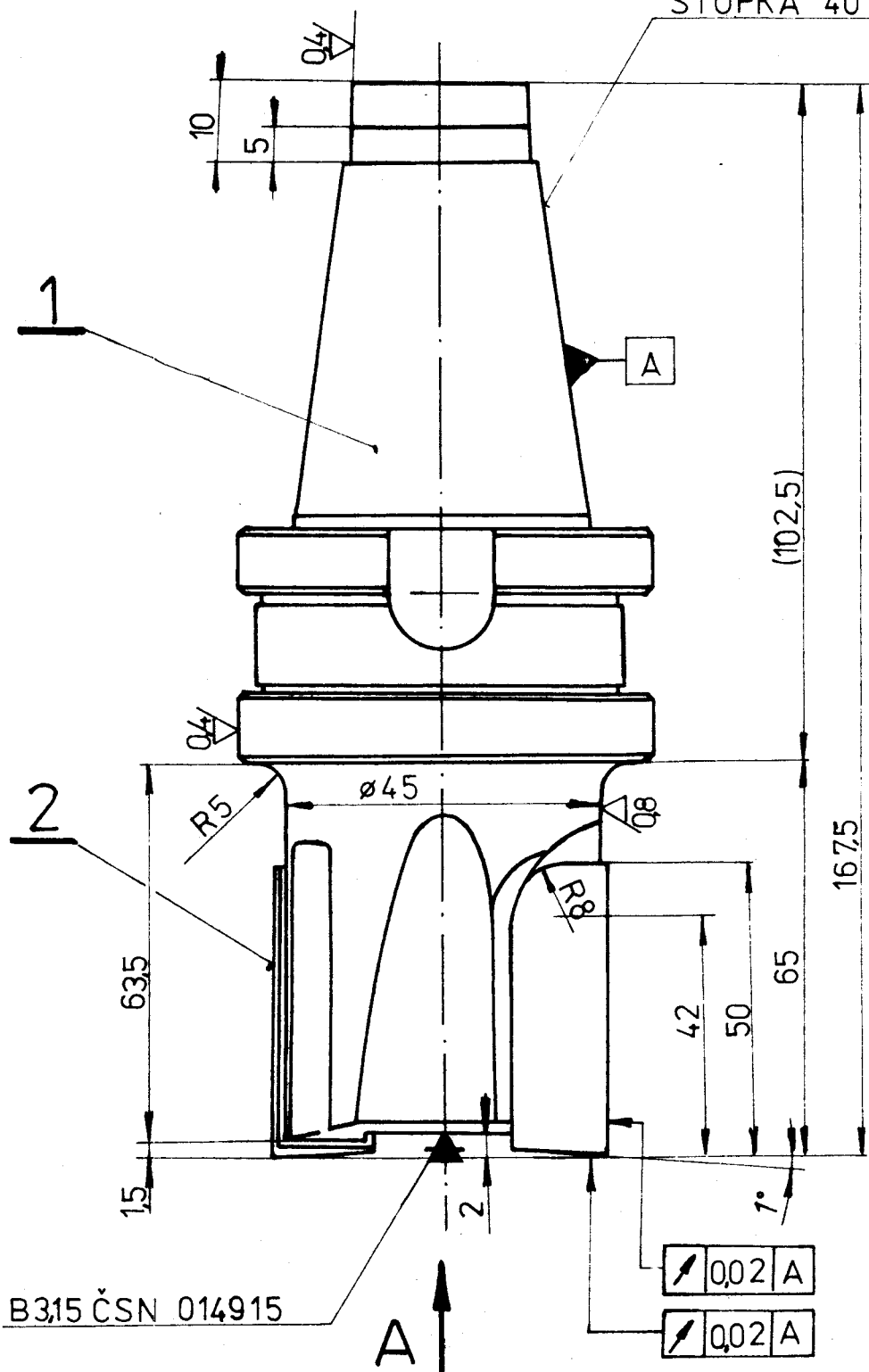
VŠST

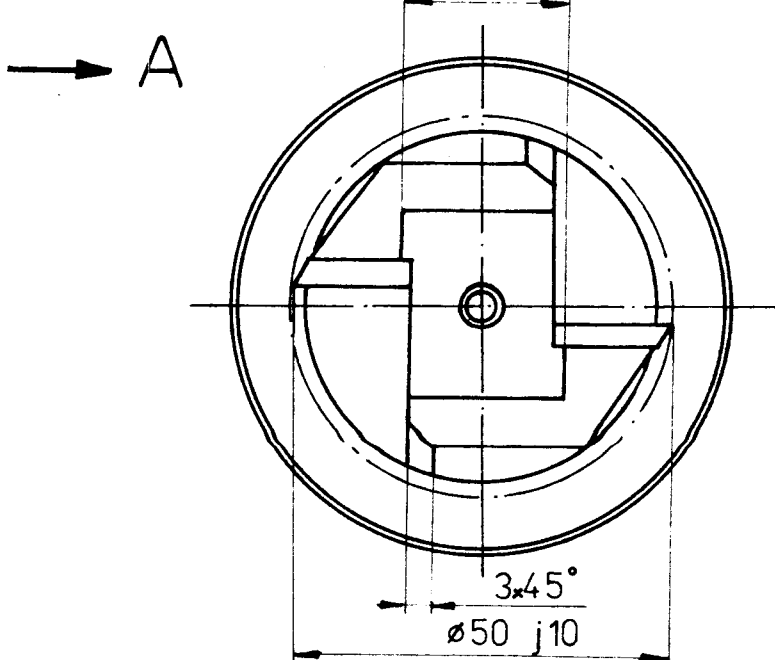
LIBEREC

VRTACÍ
PŘÍPRAVEK

3-KOM-0M-475-02

STOPKA 40 PNL 0221





32 ✓ (✓)

2	DESTIČKA		K40					4-PD-0880-623	2
1	ø63x183	ČSN425510	11700.0		001				1

SLADKOVSKÝ *Sackenbrey*

1:1

19.2.1987

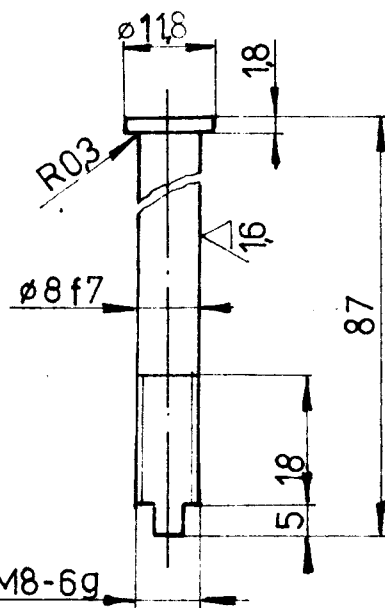
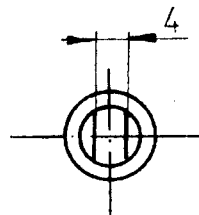
VŠST

LIBEREC

50x50 PNL 2355

3-KOM-0M-475-03

32/(\checkmark)



22 Ø12,90

ČSN 426530

15230.0

022

SLADKOVSKÝ *Kackovský*

1:1

19.2.1987

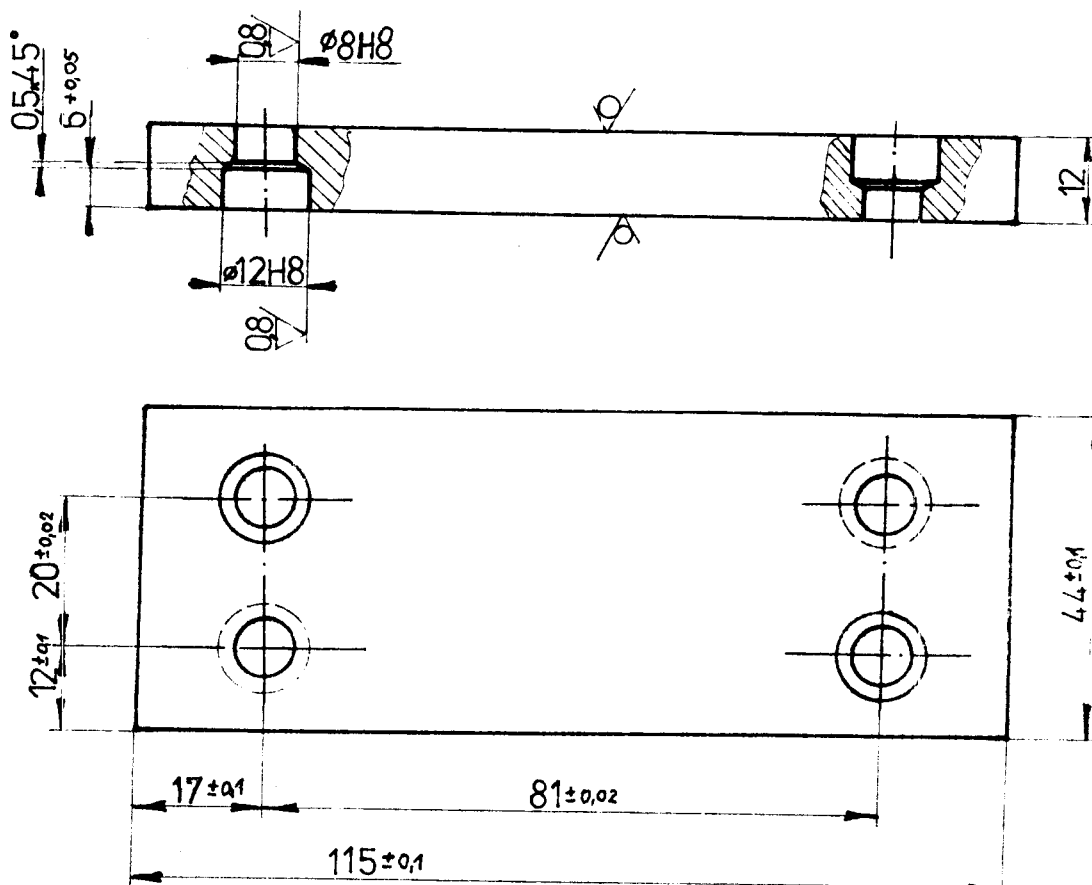
VŠST

LIBEREC

ŠROUB

4-KOM-0M-475-04

16
✓(✓, ✓)



OTVORY VRTAT V PŘÍPRAVKU Č.V. 3-KOM-OM-475-02

38 : 118x46x12

VÁLC.PLECH/424202

812

SLADKOVSKÝ *Sládeček*

1:1

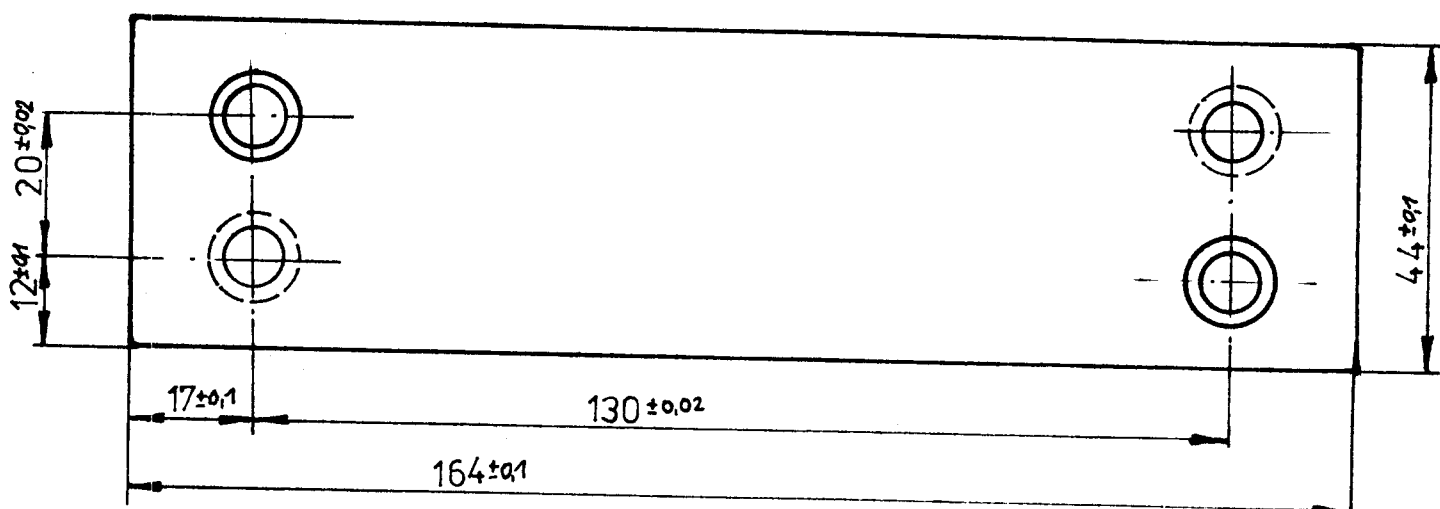
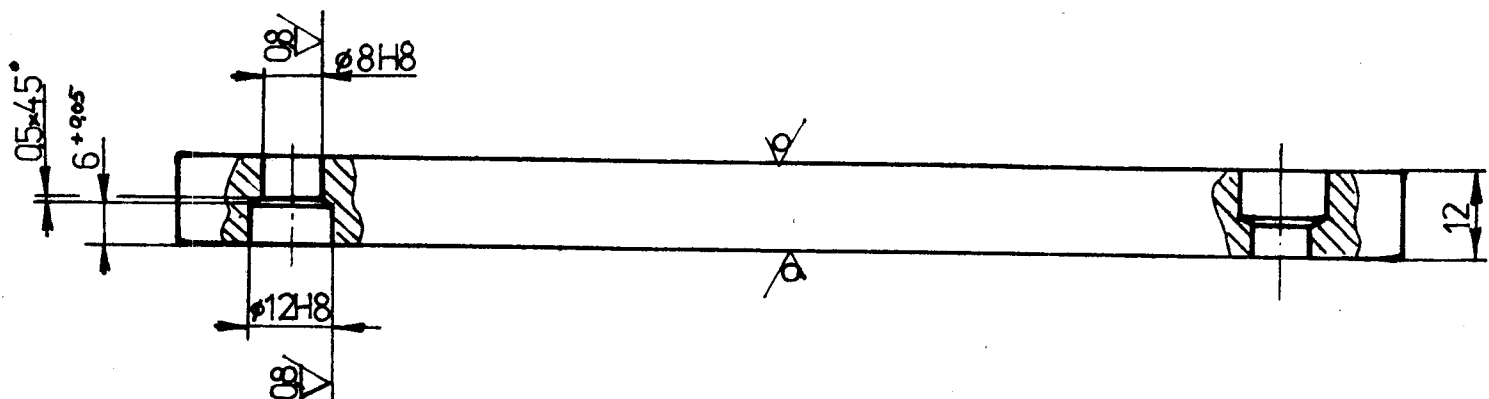
19.2.1987

VŠST
LIBEREC

KRÁTKÝ
VZOREK

4-KOM-OM-475-05

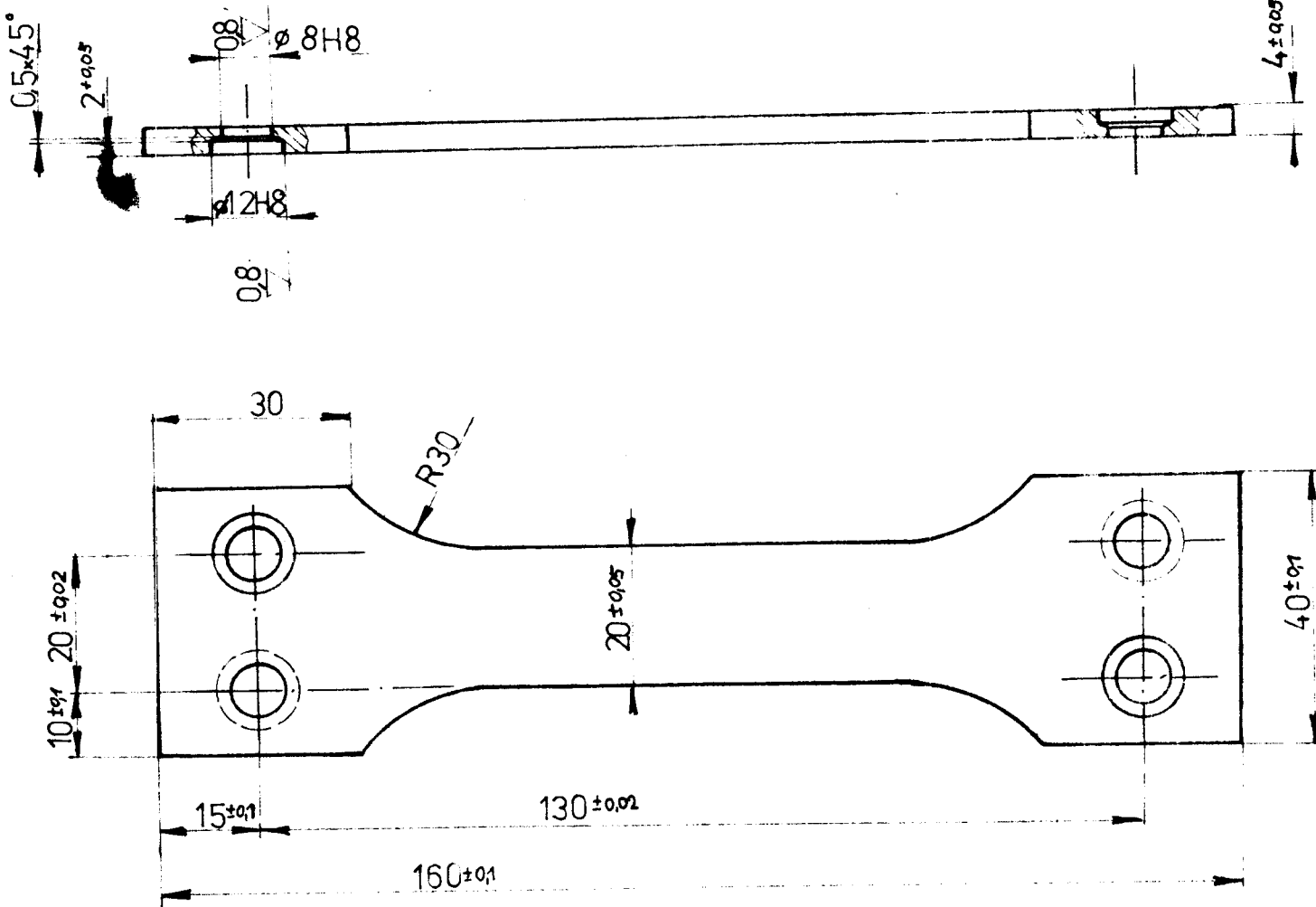
16 (✓, ✓)



OTVORY VRTAT V PRÍPRAVKU Č.V. 3-KOM-0M-475-02

72	166×46×12	VÁLC. PLECH	424202	812			
SLADKOVSKÝ	<i>Radek Benáček</i>						
1:1							
			19.2.1987				
VŠST	DLOUHÝ						
LIBEREC	VZOREK						
Příloha č. 6				4-KOM-0M-475-06			

16 ✓ (✓)



OTVORY VRTAT V PŘÍPRAVKU Č.V.3-KOM-0M-475-02

72 164x44x12

VÁLC.PLECH 424 202

812

SLADKOVSKÝ *Klauder*

1:1

19.2.1987

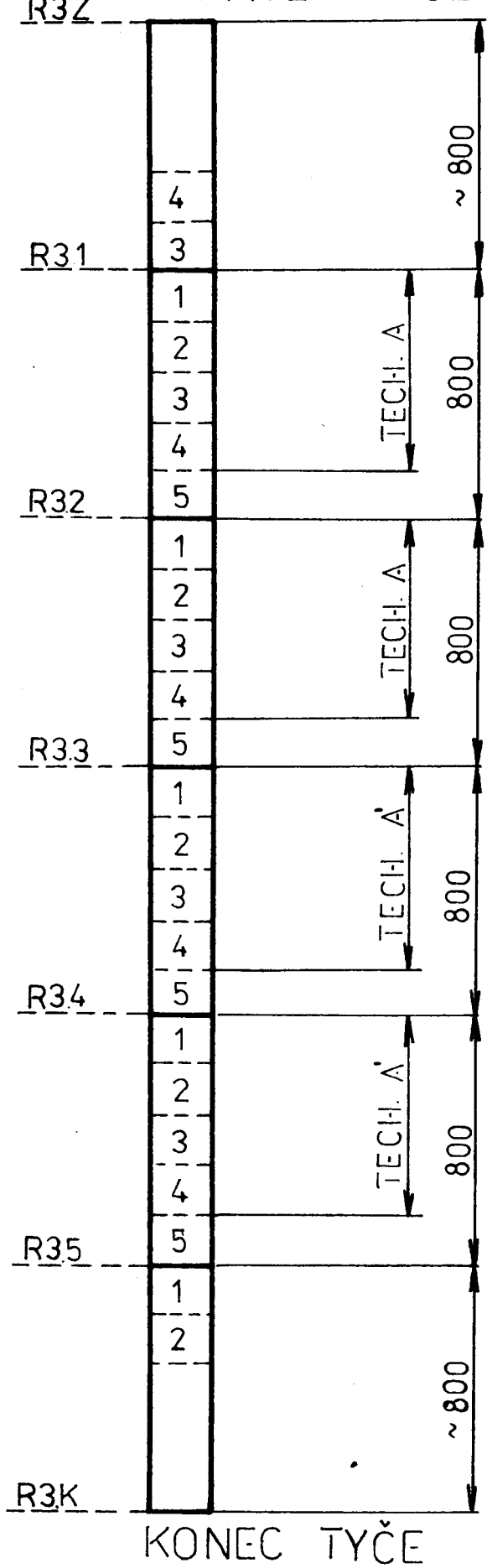
VŠST
LIBEREC

TVAROVÝ
VZOREK

4-KOM-0M-475-07

ODBĚROVÝ PLÁN

ZAČÁTEK TYČE



TECHNOLOGIE:

A - R 3.1
R 3.2

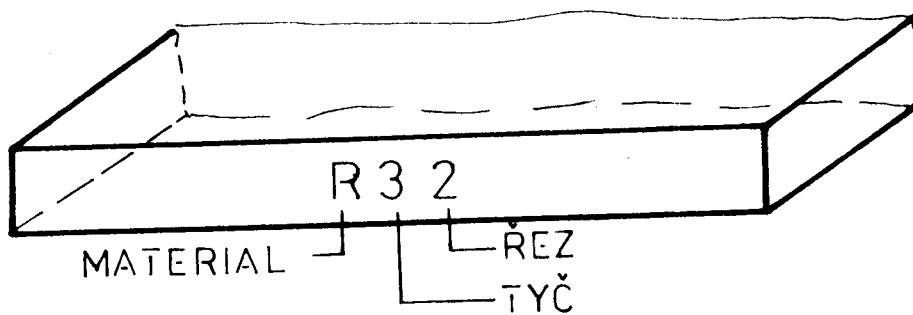
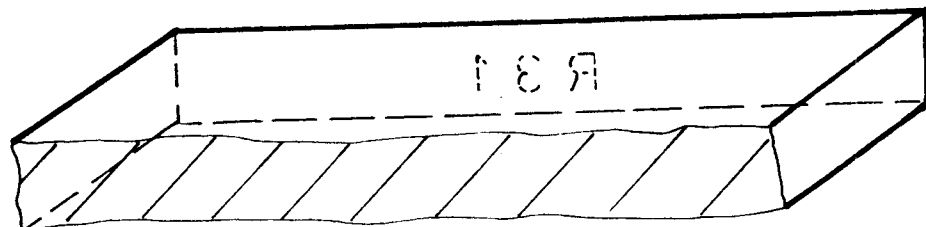
A' - R 3.3
R 3.4

B - R 4.1
R 4.2

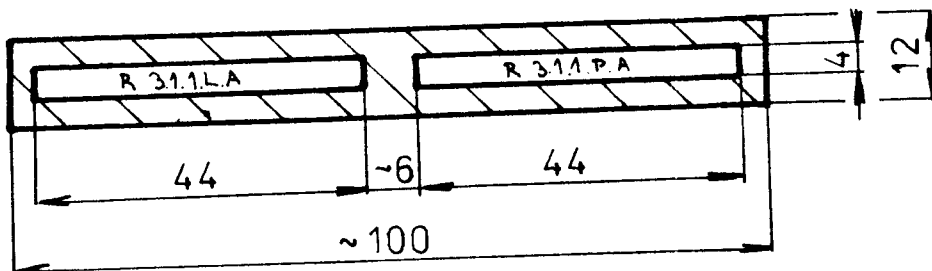
B' - R 4.3
R 4.4

DATUM: 12. 3. 1987
VYPRACOVÁL: TOMÁŠKOVÁ
LISTŮ: 7 LIST: 1
Příloha č. 9

TĚLESA PRO ÚNAVOVÉ ZKOUŠKY



ODBĚR A OZNAČENÍ TĚLES:



R 31.1.L.A - TECHNOLOGIE 1A,B/

POLOHA ŘEZU Z POHLEDU OD ZAČÁTKU TYČE

POLOHA PODÉL TYČE

ŘEZ

TYČ

MATERIAL TYČE

KONEČNÝ TVAR TĚLESA:

NÁZEV VÝKRESU: TVAROVÝ VZOREK

ČÍSLO VÝKRESU: 4-KOM-0M-475-07

DATUM: 12.3. 1987

VYPRACOVAL: TOMÁŠKOVÁ

LISTŮ: 7 LIST: 2.

SEZNAM TĚLES PRO ÚNAVOVÉ ZKOUŠKY

R 3.1.1.L.A ... 1	R 3.1.1.P.A ... 2
R 3.1.2.L.A ... 3	R 3.1.2.P.A ... 4
R 3.1.3.L.A ... 5	R 3.1.3.P.A ... 6
R 3.1.4.L.A ... 7	R 3.1.4.P.A ... 8
R 3.2.1.L.A ... 9	R 3.2.1.P.A ... 10
R 3.2.2.L.A ... 11	R 3.2.2.P.A ... 12
R 3.2.3.L.A ... 13	R 3.2.3.P.A ... 14
R 3.2.4.L.A ... 15	R 3.2.4.P.A ... 16
R 3.3.1.L.A ... 17	R 3.3.1.P.A ... 18
R 3.3.2.L.A ... 19	R 3.3.2.P.A ... 20
R 3.3.3.L.A ... 21	R 3.3.3.P.A ... 22
R 3.3.4.L.A ... 23	R 3.3.4.P.A ... 24
R 3.4.1.L.A ... 25	R 3.4.1.P.A ... 26
R 3.4.2.L.A ... 27	R 3.4.2.P.A ... 28
R 3.4.3.L.A ... 29	R 3.4.3.P.A ... 30
R 3.4.4.L.A ... 31	R 3.4.4.P.A ... 32
R 4.1.1.L.B	R 4.1.1.P.B
R 4.1.2.L.B	R 4.1.2.P.B
R 4.1.3.L.B	R 4.1.3.P.B
R 4.1.4.L.B	R 4.1.4.P.B
R 4.2.1.L.B	R 4.2.1.P.B
R 4.2.2.L.B	R 4.2.2.P.B
R 4.2.3.L.B	R 4.2.3.P.B
R 4.2.4.L.B	R 4.2.4.P.B
R 4.3.1.L.B	R 4.3.1.P.B
R 4.3.2.L.B	R 4.3.2.P.B
R 4.3.3.L.B	R 4.3.3.P.B
R 4.3.4.L.B	R 4.3.4.P.B
R 4.4.1.L.B	R 4.4.1.P.B
R 4.4.2.L.B	R 4.4.2.P.B
R 4.4.3.L.B	R 4.4.3.P.B
R 4.4.4.L.B	

NÁHRADY TĚLECA :

R 5.4.1.L	R 5.4.1.P
R 5.4.2.L	R 5.4.2.P
R 5.4.3.L	R 5.4.3.P
R 5.4.4.L	R 5.4.4.P

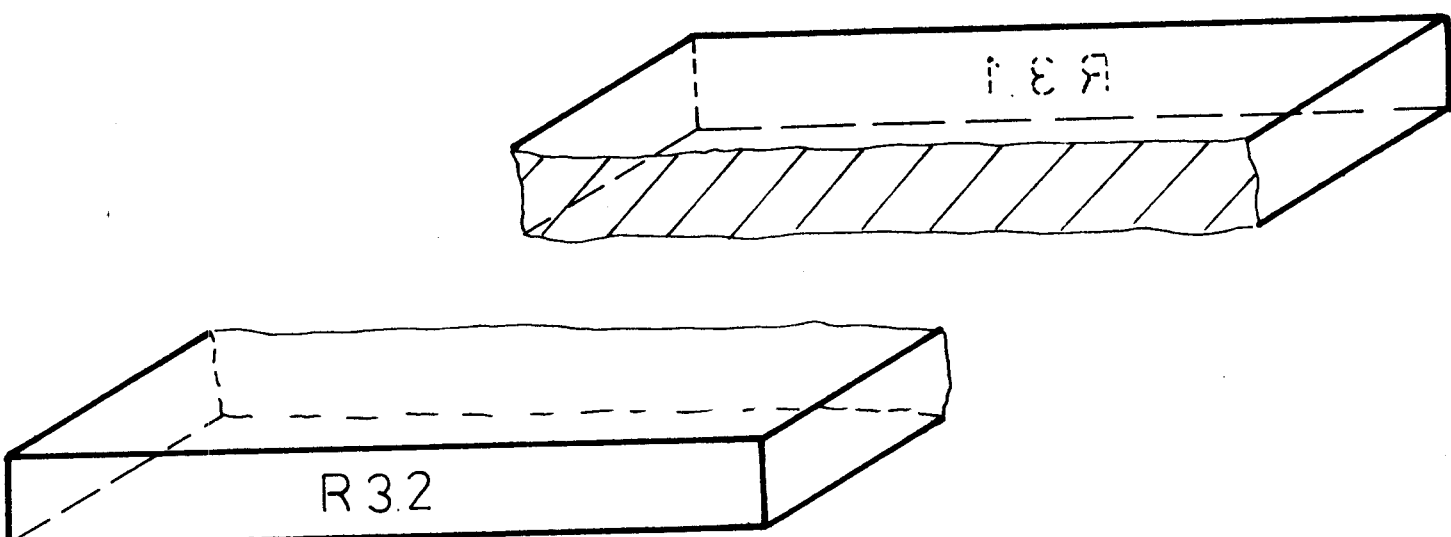
DATUM: 12.3. 1987

VYPRACOVAL: TOMÁŠKOVÁ

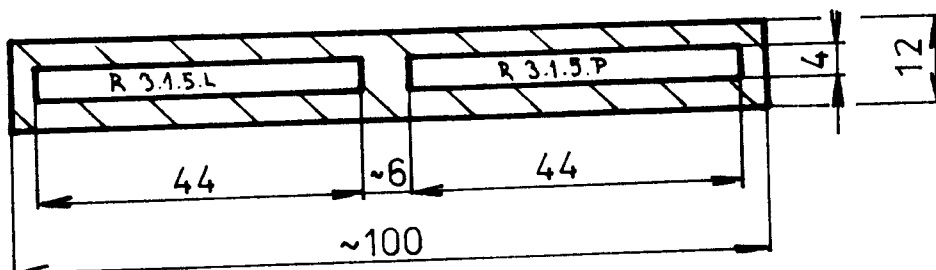
LÍSTÚ: 7 LIST: 3.

Příloha č. 9

TĚLESA PRO KVALITATIVNÍ HODNOCENÍ OBRABĚNÍ



ODBĚR A OZNAČENÍ TĚLES:



R 3.1.5.L

POLOHA ŘEZU Z POHLEDU OD ZAČÁTKU TYČE

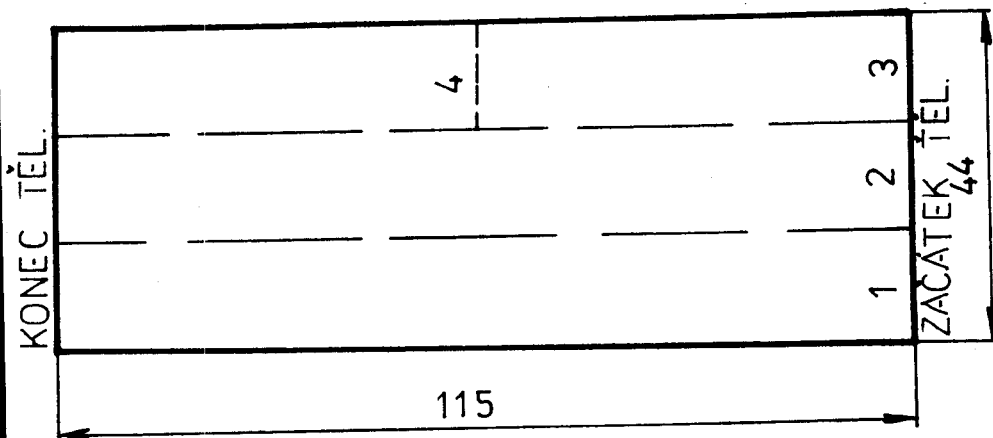
POLOHA PODÉL TYČE

ŘEZ

TYČ

MATERIAL TYČE

ROZDĚLENÍ TĚLESA PRO ZKOUŠKY:



1 R 3.1.5.LA

2 R 3.1.5.LB

3 R 3.1.5.LC1

4 R 3.1.5.LC2

DATUM: 12.3. 1987

VYPRACOVÁL: TOMÁŠKOVÁ

LISTŮ: 7 LIST: 4.

Příloha č. 9

SEZNAM TĚLES PRO KVALITATIVNÍ HODNOCENÍ OBRÁBĚNÍ:

1. TĚLESA PRO ZKOUŠKY V ROCE 1987 - 1988 :

R 3.Z.3.L.B	R 3.Z.3.P.B
R 3.Z.4.L.B	R 3.Z.4.P.B
R 3.1.5.L.B	R 3.1.5.P.B
R 3.2.5.L.B	R 3.2.5.P.B
R 3.3.5.L.B	R 3.3.5.P.B
R 3.4.5.L.B	R 3.4.5.P.B
R 3.5.1.L.B	R 3.5.1.P.B
R 3.5.2.L.B	R 3.5.2.L.B
R 4.Z.3.L.B	R 4.Z.3.P.B
R 4.Z.4.L.B	R 4.Z.4.P.B
R 4.1.5.L.B	R 4.1.5.P.B
R 4.2.5.L.B	R 4.2.5.P.B
R 4.3.5.L.B	R 4.3.5.P.B
R 4.4.5.L.B	R 4.4.5.P.B
R 4.5.1.L.B	R 4.5.1.P.B
R 4.5.2.L.E	R 4.5.2.P.B
R 6.2.1.L.B	R 6.2.1.P.B
R 6.2.2.L.E	R 6.2.2.P.B

2. TĚLESA PRO HODNOCENÍ MORFOLOGIE POKRŠHU :

R 3.Z.3.L.C2	R 3.Z.3.P.C2
R 3.Z.4.L.C2	R 3.Z.4.P.C2
R 3.1.5.L.C2	R 3.1.5.P.C2
R 3.2.5.L.C2	R 3.2.5.P.C2
R 3.3.5.L.C2	R 3.3.5.P.C2
R 3.4.5.L.C2	R 3.4.5.P.C2
R 3.5.1.L.C2	R 3.5.1.P.C2
R 3.5.2.L.C2	R 3.5.2.P.C2
R 4.Z.3.L.C2	R 4.Z.3.P.C2
R 4.Z.4.L.C2	R 4.Z.4.P.C2
R 4.1.5.L.C2	R 4.1.5.P.C2
R 4.2.5.L.C2	R 4.2.5.P.C2
R 4.3.5.L.C2	R 4.3.5.P.C2
R 4.4.5.L.C2	R 4.4.5.P.C2
R 4.5.1.L.C2	R 4.5.1.P.C2
R 4.5.2.L.C2	R 4.5.2.P.C2
R 6.2.1.L.C2	R 6.2.1.P.C2
R 6.2.2.L.C2	R 6.2.2.P.C2

DATUM: 12.3. 1987

VYPRACOVÁL: TOMÁŠKOV

LISTŮ: 7 LIST: 5.

Příloha č. 9

SEZNAM TĚLES PRO KVALITATIVNÍ HODNOCENÍ OBRÁBĚNÍ:

3. TĚLESA PRO HODNOCENÍ POVERCHOVÝCH PRUTŮ :

R 3.2.3.L.A	R 3.2.3.P.A
R 3.2.4.L.A	R 3.2.4.P.A
R 3.1.5.L.A	R 3.1.5.P.A
R 3.2.5.L.A	R 3.2.5.P.A
R 3.3.5.L.A	R 3.3.5.P.A
R 3.4.5.L.A	R 3.4.5.P.A
R 3.5.1.L.A	R 3.5.1.P.A
R 3.5.2.L.A	R 3.5.2.P.A
R 4.2.3.L.A	R 4.2.3.P.A
R 4.2.4.L.A	R 4.2.4.P.A
R 4.1.5.L.A	R 4.1.5.P.A
R 4.2.5.L.A	R 4.2.5.P.A
R 4.3.5.L.A	R 4.3.5.P.A
R 4.4.5.L.A	R 4.4.5.P.A
R 4.5.1.L.A	R 4.5.1.P.A
R 4.5.2.L.A	R 4.5.2.P.A
R 6.2.1.L.A	R 6.2.1.P.A
R 6.2.2.L.A	R 6.2.2.P.A

4. TĚLESA PRO MĚŘENÍ MIKROTVRDOSTI :

R 3.2.3.L.C1	R 3.2.3.P.C1
R 3.2.4.L.C1	R 3.2.4.P.C1
R 3.1.5.L.C1	R 3.1.5.P.C1
R 3.2.5.L.C1	R 3.2.5.P.C1
R 3.3.5.L.C1	R 3.3.5.P.C1
R 3.4.5.L.C1	R 3.4.5.P.C1
R 3.5.1.L.C1	R 3.5.1.P.C1
R 3.5.2.L.C1	R 3.5.2.P.C1
R 4.2.3.L.C1	R 4.2.3.P.C1
R 4.2.4.L.C1	R 4.2.4.P.C1
R 4.1.5.L.C1	R 4.1.5.P.C1
R 4.2.5.L.C1	R 4.2.5.P.C1
R 4.3.5.L.C1	R 4.3.5.P.C1
R 4.4.5.L.C1	R 4.4.5.P.C1
R 4.5.1.L.C1	R 4.5.1.P.C1
R 4.5.2.L.C1	R 4.5.2.P.C1
R 6.2.1.L.C1	R 6.2.1.P.C1
R 6.2.2.L.C1	R 6.2.2.P.C1

DATUM: 12.3. 1987

VYPRACOVÁL: TOMÁŠKOV

LÍSTÚ: 7 LÍST: 6.

SEZNAM TĚLES PRO KVALITATIVNÍ HODNOCENÍ OBRÁBĚNÍ:

5. JEDNUDŠŠÍ OZNAČENÍ TĚLES :

R 3.2.3.L . . . A1
R 3.2.4.L . . . A3
R 3.1.5.L . . . A5
R 3.4.5.L . . . A7
R 3.5.1.L . . . A9
R 3.5.2.L . . . A11

R 3.2.3.P . . . A2
R 3.2.4.P . . . A4
R 3.1.5.P . . . A6
R 3.4.5.P . . . A8
R 3.5.1.P . . . A10
R 3.5.2.P . . . A12

R 4.2.3.L . . . B1
R 4.2.4.L . . . B3
R 4.1.5.L . . . B5
R 4.4.5.L . . . B7
R 4.5.1.L . . . B9
R 4.5.2.L . . . B11

R 4.2.3.P . . . B2
R 4.2.4.P . . . B4
R 4.1.5.P . . . B6
R 4.4.5.P . . . B8
R 4.5.1.P . . . B10
R 4.5.2.P . . . B12

DATUM: 12.3. 1987
VYPRACOVÁL: TOMÁŠKOVÁ
LISTŮ: 7 LIST: 7

Vnorky krátké /pro kvalitativní hodnocení obrábění/

A-sousledně frézováno					B-nesousledně frézováno				
č.	h /mm/	v -1 /m.min/	s -1 /mm.min/	s _z /mm/	č.	h /mm/	v -1 /m.min/	s -1 /mm.min/	s _z /mm/
A1	0,5	462	375	0,06	31	0,5	375	0,06	
A2			750	0,13	34		462	750	0,13
A3			1500	0,25	35		1500	0,25	
A4		1506	375	0,02	34		375	0,02	
A5			750	0,04	35		1506	750	0,04
A6			1500	0,06	36		1506	1500	0,06
A7	4,0	462	375	0,06	37	4,0	375	0,06	
A8			750	0,13	38		462	750	0,13
A9			1500	0,25	39		1500	0,25	
A10		1506	375	0,02	310		375	0,02	
A11			750	0,04	311		1506	0,04	
A12			1500	0,06	312		1500	0,06	

Vnorky krátké /pro kvalitativní hodnocení/

sousledně frézované				
č.	h /mm/	v -1 /m.min/	s -1 /mm.min/	s _z /mm/
1-15	0,5	462	375	0,06
17-34	4,0	1506	1500	0,06

Tabulka naměřených hodnot příčné drsnosti povrchu /Ra, Rm/

	Ra				Rm			
	číslo měření				číslo měření			
	1	2	3	4	1	2	3	4
A 1	1,20	1,26	1,20	1,20	6,6	7,5	5,2	7,5
A 2	0,95	0,9	0,95	0,95	5,0	4,9	5,4	5,6
A 3	1,35	1,48	1,48	1,42	7,4	8,0	8,0	7,6
A 4	0,92	1,20	0,92	0,94	5,6	6,0	4,6	5,3
A 5	0,96	0,96	1,06	1,18	4,9	5,1	5,0	5,7
A 6	0,90	1,04	0,95	0,94	5,3	5,8	5,6	5,1
A 7	1,10	1,10	1,05	1,02	6,0	5,5	6,1	6,7
A 8	1,15	1,12	1,10	1,12	7,9	7,4	7,6	7,7
A 9	1,42	1,43	1,35	1,38	8,0	8,0	7,1	7,6
A10	1,30	1,20	1,60	1,48	7,0	6,9	10,2	9,3
A11	1,10	1,15	0,85	0,94	5,4	5,5	4,5	4,7
A12	1,48	1,40	1,30	1,35	9,8	7,5	6,7	7,0
B 1	0,96	0,95	0,98	1,05	5,1	5,0	5,0	4,9
B 2	1,40	1,42	1,38	1,45	8,2	8,2	8,3	8,6
B 3	1,40	1,50	1,49	1,50	7,9	9,0	9,0	8,3
B 4	1,18	1,00	1,10	1,15	5,6	6,0	5,9	6,2
B 5	1,22	1,25	1,48	1,7	7,6	7,8	9,0	8,7
B 6	1,25	1,05	1,00	0,96	5,8	5,2	5,3	5,1
B 7	1,30	1,35	1,36	1,50	6,9	7,1	7,1	7,7
B 8	1,18	1,18	1,28	1,26	8,1	7,2	8,2	8,0
B 9	1,08	1,10	1,12	1,18	5,5	5,9	6,6	6,6
B10	1,25	1,22	1,42	1,10	7,6	7,3	10,3	6,5
B11	1,22	1,22	1,15	1,22	6,9	6,9	6,3	7,1
B12	0,78	1,05	1,20	1,15	4,5	4,6	5,7	5,5

Tabulka naměřených hodnot podélné drsnosti povrchu /vlnitosti/
Ra, Rm

	Ra				Rm			
	číslo měření				číslo měření			
	1	2	3	4	1	2	3	4
A 1	1,50	0,95	1,10	1,05	5,7	4,4	5,2	5,1
A 2	0,75	0,92	0,65	0,84	3,4	4,9	3,5	4,0
A 3	0,72	1,18	0,92	1,00	3,1	4,6	4,4	4,5
A 4	1,18	0,95	0,92	1,16	6,9	5,6	5,3	6,0
A 5	1,16	0,98	0,80	1,10	5,0	1,6	3,4	5,6
A 6	1,12	0,78	0,60	0,90	4,8	3,8	3,2	6,0
A 7	0,50	0,50	0,60	0,48	2,0	2,1	2,9	2,0
A 8	0,65	0,75	0,98	0,70	2,9	3,6	3,8	3,2
A 9	0,92	0,92	1,25	1,14	3,8	4,5	6,8	6,0
A10	1,12	1,00	1,10	1,02	4,7	4,6	5,7	5,4
A11	0,82	0,92	1,02	0,88	3,8	4,1	4,3	5,0
A12	0,90	0,90	1,05	1,12	4,4	5,7	6,0	5,9
B 1	0,63	1,10	0,50	0,80	2,6	4,6	2,7	3,8
B 2	0,98	0,98	1,15	0,84	3,4	4,4	5,8	4,5
B 3	1,40	1,20	1,02	1,10	6,5	5,8	5,2	4,8
B 4	0,88	0,85	0,88	0,82	4,8	3,6	3,9	3,3
B 5	0,70	0,60	0,20	0,30	3,1	2,9	1,0	1,0
B 6	0,62	0,75	0,58	0,85	3,1	3,5	2,4	3,6
B 7	0,98	0,95	1,08	0,84	4,6	5,8	4,8	3,5
B 8	1,10	0,90	0,40	0,65	5,7	3,7	1,6	2,6
B 9	1,42	1,50	1,70	1,30	6,2	7,2	10,2	5,6
B10	0,46	0,45	0,46	0,60	2,1	2,2	1,8	2,8
B11	0,70	0,45	0,60	0,63	3,1	1,7	3,5	2,7
B12	0,72	0,75	0,93	0,58	3,4	2,8	4,0	3,0

Příloha č. 11 b/



vzorek A 1



vzorek A 2



vzorek A 3

Měřítko na mikroskopu NEOPHOT

